

ระบบควบคุมลูกบอลบนแผ่นระนาบ

BALL ON PLATE CONTROL SYSTEM



ปริญญานิพนธ์นี้เป็นส่วนหนึ่งของการศึกษาตามหลักสูตรปริญญาวิศวกรรมศาสตรบัณฑิต

สาขาวิชาวิศวกรรมแมคคาทรอนิกส์

คณะวิศวกรรมศาสตร์

สถาบันเทคโนโลยีพระจอมเกล้าเจ้าคุณทหารลาดกระบัง

ปีการศึกษา 2557

ระบบควบคุมลูกบอลบนแผ่นระนาบ

BALL ON PLATE CONTROL SYSTEM



ปริญญานิพนธ์นี้เป็นส่วนหนึ่งของการศึกษาตามหลักสูตรปริญญาวิศวกรรมศาสตรบัณฑิต

สาขาวิชาวิศวกรรมแมคคาทรอนิกส์

คณะวิศวกรรมศาสตร์

สถาบันเทคโนโลยีพระจอมเกล้าเจ้าคุณทหารลาดกระบัง

เอกสารนี้เป็นเอกสารที่สงวนไว้สำหรับการใช้งานเพื่อการศึกษาเท่านั้น ไม่อนุญาตให้นำไปใช้ประโยชน์ด้านการค้า
ไม่ว่ากรณีใดๆ ทั้งสิ้น อีกทั้งห้ามมิให้ดัดแปลงเนื้อหา และต้องอ้างอิงถึงเจ้าของเอกสารทุกครั้งที่มีการนำไปใช้

ปีการศึกษา 2557

BALL ON PLATE CONTROL SYSTEM



THIS THESIS IS SUBMITTED IN PARTIAL FULFILLMENT
OF THE REQUIREMENTS FOR THE DEGREE OF
BACHELOR OF ENGINEERING IN MECHATRONICS ENGINEERING
FACULTY OF ENGINEERING
KING MONGKUT'S INSTITUTE OF TECHNOLOGY LADKRABANG

เอกสารนี้เป็นเอกสารที่สงวนไว้สำหรับการใช้งานเพื่อการศึกษาเท่านั้น ไม่อนุญาตให้นำไปใช้ประโยชน์ด้านการค้า
ไม่ว่ากรณีใดๆ ทั้งสิ้น อีกทั้งห้ามมิให้ดัดแปลงเนื้อหา และต้องอ้างอิงถึงเจ้าของเอกสารทุกครั้งที่มีการนำไปใช้

ACADEMIC YEAR 2014



เอกสารนี้เป็นเอกสารที่สงวนไว้สำหรับการใช้งานเพื่อการศึกษาเท่านั้น ไม่อนุญาตให้นำไปใช้ประโยชน์ด้านการค้า
ไม่ว่ากรณีใดๆ ทั้งสิ้น อีกทั้งห้ามมิให้ดัดแปลงเนื้อหา และต้องอ้างอิงถึงเจ้าของเอกสารทุกครั้งที่มีการนำไปใช้

ปริญญาานิพนธ์ปีการศึกษา 2557

ภาควิชาวิศวกรรมการวัดและควบคุม คณะวิศวกรรมศาสตร์

สถาบันเทคโนโลยีพระจอมเกล้าเจ้าคุณทหารลาดกระบัง

เรื่อง ระบบควบคุมลูกบอลบนแผ่นระนาบ

BALL ON PLATE CONTROL SYSTEM

ผู้จัดทำ

นายภาสกร ไทรศักดิ์สิทธิ์ 54010998

นายภูบดี ไชยกาล 54011003

นายอภิสร วจนภาพร 54011498

.....อาจารย์ที่ปรึกษา
(ผู้ช่วยศาสตราจารย์สมิตร พนาอุดมทรัพย์)

.....อาจารย์ที่ปรึกษา
(รองศาสตราจารย์ ดร.เกียรติศักดิ์ คมวัชระ)

เอกสารนี้เป็นเอกสารที่สงวนไว้สำหรับการใช้งานเพื่อการศึกษาเท่านั้น ไม่อนุญาตให้นำไปใช้ประโยชน์ด้านการค้า
ไม่ว่ากรณีใดๆ ทั้งสิ้น อีกทั้งห้ามมิให้ดัดแปลงเนื้อหา และต้องอ้างอิงถึงเจ้าของเอกสารทุกครั้งที่มีการนำไปใช้

ระบบควบคุมตำแหน่งลูกบอลบนระนาบ

โดย

นายภาสกร ไทรศักดิ์สิทธิ์ 54010998

นายภูบตี ไชยกาล 54011003

นายอภิสร วณาพร 54011498

อาจารย์ที่ปรึกษา

ผู้ช่วยศาสตราจารย์สุมิตร พนาอุดมทรัพย์

รองศาสตราจารย์ดร. เกียรติศักดิ์ คมวัชระ

ปีการศึกษา 2557

บทคัดย่อ

ปริญญานิพนธ์ฉบับนี้จัดทำเพื่อศึกษาทฤษฎีในการออกแบบการควบคุมตำแหน่งของลูกบอลบนระนาบ โดยใช้กล้องดิจิตอลในการรับสัญญาณภาพ เพื่อนำมาประมวลผลในคอมพิวเตอร์ผ่านโปรแกรมด้านการประมวลผลภาพ ทำให้รักษาตำแหน่งของลูกบอลบนระนาบได้ จุดหมายของโครงการนี้คือการบังคับให้ลูกบอลมีตำแหน่งที่ต้องการ โดยมีเซอร์โวมอเตอร์เป็นตัวควบคุมระนาบ

ขั้นตอนดำเนินการ ได้แก่ ออกแบบโครงสร้างกลไกทางแมคคานิกส์ที่จำเป็นสำหรับการควบคุมระนาบโดยใช้เซอร์โวมอเตอร์ จากนั้นศึกษาโปรแกรมรับค่าภาพด้วยกล้องดิจิตอล และการใช้โปรแกรมในการประมวลผลภาพ และนำไปควบคุมตำแหน่งของลูกบอลบนระนาบ ศึกษาทฤษฎีเกี่ยวกับระบบการเคลื่อนที่ของลูกบอลเพื่อนำไปใช้ในการควบคุมตำแหน่งของลูกบอลบนระนาบให้แม่นยำ และวิเคราะห์ค่าความผิดพลาดต่างๆ ที่มีผลทำให้สมการคลาดเคลื่อนจากตำแหน่งที่ควรจะเป็น พร้อมทั้งปรับแต่งสมการจนทำให้ค่าความผิดพลาดอยู่ในระบบที่ยอมรับได้

เอกสารนี้เป็นเอกสารที่สงวนไว้สำหรับการใช้งานเพื่อการศึกษาเท่านั้น ไม่อนุญาตให้นำไปใช้ประโยชน์ด้านการค้าไม่ว่ากรณีใดๆ ทั้งสิ้น อีกทั้งห้ามมิให้ตัดแปลงเนื้อหา และต้องอ้างอิงถึงเจ้าของเอกสารทุกครั้งที่มีการนำไปใช้

BALL ON PLATE CONTROL SYSTEM

By

Mr.Pasakorn Saisaksit 54010998

Mr.Phubodee Chaiyakan 54011003

Mr.Apisorn Wajanaporn 54011498

Advisors

Asst.Prof. Sumit Panaaudomsap

Assoc.Prof.Dr. Kiatisuk Komwatchara

Academic Year 2014

ABSTRACT

This thesis is produced for researching about theory related to controlling ball position on the plate. By using digital camera for receiving picture signal then, processing that signal with image processing program in computer, using this method, the position of the ball on the plate can be controlled. The objective of this project is to control position of the ball on the plate with servo motors controlling the angle of the surface, plate.

There are several procedures must be completed. First, design mechanical structure which is necessary for controlling the plate using servo motors. Second, find and study program that can receive the picture signal from digital camera and, image processing program which use to process the image by transforming picture signal into certain parameters to control position of the ball on plate. Finally, study in-depth mechanism equation required to improve positioning to be more accurately and calculate difference between equation from theory and real use equation then, mathematically analyze and formulize new equation until the result will be in range with acceptable margin of error.

เอกสารนี้เป็นเอกสารที่สงวนไว้สำหรับการใช้งานเพื่อการศึกษาเท่านั้น ไม่อนุญาตให้นำไปใช้ประโยชน์ด้านการค้า
ไม่ว่ากรณีใดๆ ทั้งสิ้น อีกทั้งห้ามมิให้ดัดแปลงเนื้อหา และต้องอ้างอิงถึงเจ้าของเอกสารทุกครั้งที่มีการนำไปใช้

กิตติกรรมประกาศ

การจัดทำปฏิญานพันธบัตรฉบับนี้ สามารถสำเร็จลุล่วงไปได้ด้วยดี โดยเฉพาะอาจารย์ที่ปรึกษา ผศ. สุมิตร พนาอุดมทรัพย์ และรศ.ดร. เกียรติศักดิ์ คมวัชระ ที่ได้ให้คำแนะนำอันเป็นประโยชน์ที่การทดลองค้นคว้านี้ พร้อมทั้งจัดสถานที่การค้นคว้า และอุปกรณ์ในการทำการทดลองบางส่วนที่จำเป็นต่อโครงการ ผู้จัดทำรู้สึกยินดีอย่างยิ่งและขอกราบขอบคุณอย่างสูง

ขอขอบคุณชมรมโรบอทที่เอื้อเฟื้อเครื่องมือที่ขาดแคลน และสถานที่ทำการทดลอง

ขอบคุณรุ่นพี่ที่ให้คำปรึกษา และเพื่อนๆ ที่คอยให้คำติชม ให้กำลังใจ และติดตามผลงานเป็นอย่างดีรวมทั้งคอยไต่ถามความเป็นไปอยู่เสมอ

และขอขอบคุณบิดา มารดา ครอบครัว และญาติ ที่คอยให้กำลังใจ มอบแรงกระตุ้นในการทำงาน ตลอดจนให้คำปรึกษาในยามต้องการ และสนับสนุนงบประมาณ อุปกรณ์ที่ขาดเหลือยามจำเป็น ผู้จัดทำรู้สึกซาบซึ้งอย่างมากที่ได้รับการช่วยเหลือจนสามารถสำเร็จโครงการได้



ผู้จัดทำ

นายภาสกร

นายภูบดี

นายอภิสร

ไพรัชศักดิ์สิทธิ์

ไชยกาล

วจนพร

เอกสารนี้เป็นเอกสารที่สงวนไว้สำหรับการใช้งานเพื่อการศึกษาเท่านั้น ไม่อนุญาตให้นำไปใช้ประโยชน์ด้านการค้าไม่ว่ากรณีใดๆ ทั้งสิ้น อีกทั้งห้ามมิให้ตัดแปลงเนื้อหา และต้องอ้างอิงถึงเจ้าของเอกสารทุกครั้งที่มีการนำไปใช้

สารบัญ

	หน้า
บทคัดย่อภาษาไทย	I
บทคัดย่อภาษาอังกฤษ	II
กิตติกรรมประกาศ	III
สารบัญ	IV
สารบัญรูป	VII
สารบัญตาราง	IX
บทที่ 1 บทนำ	1
1.1 ความเป็นมา และความสำคัญของปัญหา	1
1.2 วัตถุประสงค์ของโครงการ	1
1.3 ขอบเขตของโครงการ	2
1.4 ประโยชน์ที่คาดว่าจะได้รับ	2
บทที่ 2 ทฤษฎีที่เกี่ยวข้อง	3
2.1 เซอร์โวมอเตอร์ (Servo Moter)	3
2.1.1 ส่วนประกอบภายนอกของเซอร์โวมอเตอร์	4
2.1.2 ส่วนประกอบภายในของเซอร์โวมอเตอร์	5
2.1.3 หลักการทำงานของเซอร์โวมอเตอร์	5
2.2 กล้องดิจิทัล	6
2.2.1 Camera Sensor	6
2.2.1.1 CCD	6
2.2.1.2 CMOS	7
2.3 ไมโครคอนโทรลเลอร์ (Microcontroller)	8
2.3.1 ชุดโมดูลบอร์ดไมโครคอนโทรลเลอร์ Arduino รุ่น Arduino MEGA 2560 R3	9
2.3.2 คุณสมบัติของบอร์ดไมโครคอนโทรลเลอร์	10
2.4 ระบบควบคุม (Control Systems)	11
2.4.1 ระบบควบคุมแบบป้อนกลับ (Feedback Control Systems)	12
2.4.1.1 องค์ประกอบพื้นฐานของระบบควบคุมแบบป้อนกลับ	12
2.4.2 การควบคุมแบบ PID	13
2.4.2.1 สัดส่วน Proportional Control Action (P - Action)	14
2.4.2.2 ปริพันธ์ Integral Control Action (I-Action)	15

เอกสารนี้เป็นเอกสารที่สงวนไว้สำหรับการใช้งานเพื่อการศึกษาเท่านั้น ไม่อนุญาตให้นำไปใช้ประโยชน์ด้านการค้า
ไม่ว่ากรณีใดๆ ทั้งสิ้น อีกทั้งห้ามมิให้ดัดแปลงเนื้อหา และต้องอ้างอิงถึงเจ้าของเอกสารทุกครั้งที่มีการนำไปใช้

สารบัญ(ต่อ)

	หน้า
2.4.2.3 อนุพันธ์ Derivative Control Action (D-Action)	16
2.4.2.4 ผลการตอบสนองของระบบ	19
2.5 การส่งผ่านข้อมูลแบบอนุกรม (Serial Transimission)	20
2.5.1 การสื่อสารแบบอะซิงโครนัส (Asynchronous Transmission)	21
2.5.2 การสื่อสารแบบซิงโครนัส (Synchronous Transmission)	22
2.6 Image Processing	24
2.6.1 OpenCV	25
2.6.2 รูปแบบสีแบบอาร์จีบี (RGB)	26
2.6.3 รูปแบบสีแบบระดับสีเทา (Gray Scale)	26
2.6.4 ระบบสี HSV	27
2.6.5 การแปลงภาพแบบ RGB ไปสู่ ภาพแบบระดับสีเทา	28
2.6.6 การแปลงระบบสี RGB เป็น HSV	28
2.7 แบบจำลองทางคณิตศาสตร์ของระบบควบคุมตำแหน่งลูกบอลบนระนาบ	29
บทที่ 3 หลักการออกแบบ	33
3.1 โครงสร้างทางกายภาพของระบบ	34
3.1.1 ลูกบอล	34
3.1.2 กล้อง	35
3.1.3 เซอร์โวมอเตอร์	35
3.2 คอมพิวเตอร์	35
3.2.1 การประมวลผลภาพ	36
3.2.2 ตัวควบคุม PID	37
3.2.2.1 Ultimate Method	37
3.2.3 การคำนวณมุมของเซอร์โวมอเตอร์	39
3.2.4 การส่งค่าผ่านพอร์ตอนุกรม	39
3.3 ไมโครคอนโทรลเลอร์	40
บทที่ 4 ผลการทดลอง	43
4.1 การระบุตำแหน่งลูกบอลด้วยกล้อง	43
4.2 การควบคุมตำแหน่งลูกบอลด้วยตัวควบคุม PID	45
4.2.1 การจำลองการควบคุมตำแหน่งลูกบอลด้วยโปรแกรม Simulation	45

เอกสารนี้เป็นเอกสารที่สงวนไว้สำหรับการใช้งานเพื่อการศึกษาเท่านั้น ไม่อนุญาตให้นำไปใช้ประโยชน์ด้านการค้า
ไม่ว่ากรณีใดๆ ทั้งสิ้น อีกทั้งห้ามมิให้ดัดแปลงเนื้อหา และต้องอ้างอิงถึงเจ้าของเอกสารทุกครั้งที่มีการนำไปใช้

สารบัญ(ต่อ)

	หน้า
4.2.2 ปรับตัวควบคุมด้วยวิธี Ultimate Method	48
4.2.3 การควบคุมตำแหน่งลูกบอลในระบบจริง	51
4.2.3.1 การทดลองแบบแยกแกน	51
4.2.3.2 การทดลองแบบทั้งสองแกนพร้อมกัน	55
4.3 การปรับปรุงระบบ	57
บทที่ 5 วิจัยรณั และสรุปลผล	59
5.1 สรุปลผลการทดลอง	59
5.2 ปัญหาลที่พบ	60
5.3 แนวทางการแก้ไล และข้อเสนอแนะ	60
เอกสารอ้างอิง	61
ภาคผนวก	63
ภาคผนวก ก โปรแกรมการประมวลผล และควบคุมตำแหน่งลูกบอลบนระนาบ	64
ภาคผนวก ข รายละเอียดการใช้งานคำสั่งต่างๆ ของไลบรารี OpenCV ที่ใช้ในโปรแกรมประมวลผล	78
ภาคผนวก ค เอกสารคู่มืออุปกรณ์ต่างๆ	88
ภาคผนวก ง ตารางรหัสแอสกี	90

สารบัญรูป

รูปที่	หน้า
2.1 เซอร์โวมอเตอร์	3
2.2 ส่วนประกอบภายนอกของเซอร์โวมอเตอร์	4
2.3 ส่วนประกอบภายในของเซอร์โวมอเตอร์	5
2.4 Timing Diagram ของ Control Pulse	6
2.5 การทำงานของ CCD Sensor	7
2.6 การทำงานของ CMOS Sensor	7
2.7 ชุดโมดูลบอร์ดไมโครคอนโทรลเลอร์ Arduino MEGA 2560 R3	10
2.8 องค์ประกอบพื้นฐานของระบบควบคุมแบบป้อนกลับ	12
2.9 กราฟ PV ต่อเวลา K_p กำหนดเป็น 3 ค่า (K_p และ K_d คงที่)	14
2.10 กราฟ PV ต่อเวลา K_i กำหนดเป็น 3 ค่า (K_p และ K_d คงที่)	15
2.11 กราฟ PV ต่อเวลา สำหรับ K_d 3 ค่า (K_p และ K_i คงที่)	16
2.12 ส่วนประกอบของระบบควบคุมอัตโนมัติ	18
2.13 พารามิเตอร์ต่างๆ ที่ใช้กำหนดคุณสมบัติเฉพาะของการตอบสนองของระบบ	19
2.14 การส่งข้อมูลแบบอนุกรม	21
2.15 การสื่อสารแบบอะซิงโครนัสที่ไม่ได้ใช้พาร์ตีบิต	22
2.16 การสื่อสารแบบอะซิงโครนัสที่ใช้พาร์ตีบิต	22
2.17 การสื่อสารแบบซิงโครนัส	23
2.18 ตัวอย่างการสื่อสารแบบซิงโครนัส	23
2.19 ตัวอย่างการใช้อักขระซิง 2 ตัวในการสื่อสารแบบซิงโครนัส	24
2.20 การตัดแฉวของบิตออกเป็นกลุ่มๆ ละ 8 บิต	24
2.21 หลักการทำงานของ Image Processing	24
2.22 Logo ของ OpenCV	26
2.23 สีแบบ RGB	26
2.24 สีแบบระดับสีเทา	27
2.25 การบอกค่าสีในระดับ HSV	28
2.26 จำลองการเคลื่อนที่ของลูกบอลบนแผ่นระนาบ	28
3.1 การทำงานของระบบควบคุมตำแหน่งบนระนาบ	33
3.2 โครงสร้างของระบบควบคุมตำแหน่งลูกบอลบนระนาบ	34
3.3 ขั้นตอนการประมวลผลภาพเพื่อระบุตำแหน่งของลูกบอลบนระนาบ	36

เอกสารนี้เป็นเอกสารที่สงวนไว้สำหรับการใช้งานเพื่อการศึกษาเท่านั้น ไม่อนุญาตให้นำไปใช้ประโยชน์ด้านการค้า
ไม่ว่ากรณีใดๆ ทั้งสิ้น อีกทั้งห้ามมิให้ดัดแปลงเนื้อหา และต้องอ้างอิงถึงเจ้าของเอกสารทุกครั้งที่มีการนำไปใช้

สารบัญรูป(ต่อ)

รูปที่	หน้า
3.4 กราฟผลตอบสนองของระบบวงปิดเมื่อใช้ Ultimate Gain	38
3.5 ความสัมพันธ์ระหว่างมุมของระนาบ และมุมของเซอร์โวมอเตอร์	39
3.6 โพล์ซาร์ตการทำงานของส่วนโปรแกรมคอมพิวเตอร์	41
3.7 โพล์ซาร์ตการทำงานของส่วนไมโครคอนโทรลเลอร์	42
4.1 การจัดแสงในลักษณะต่างๆ และผลที่ได้จากการประมวลผลภาพ	43
4.2 เกิดการรบกวนจากจุดขาว และจุดดำ	44
4.3 ผลของการประมวลผลภาพระหว่างภาพที่ปรับปรุงคุณภาพแล้ว	44
4.4 แบบจำลองของระบบด้วยโปรแกรม Matlab/Simulink (พิจารณาใน 1 แกน)	46
4.5 ผลตอบสนองของระบบวงเปิด	46
4.6 มุมของระนาบเมื่อควบคุมด้วยระบบวงเปิด	47
4.7 ผลตอบสนองของระบบวงปิด	47
4.8 มุมของระนาบเมื่อควบคุมด้วยระบบวงปิด	48
4.9 ผลตอบสนองของระบบที่ใช้ตัวควบคุม PID ที่ปรับแต่งด้วยวิธี Ultimate Method	49
4.10 มุมของระนาบเมื่อใช้ตัวควบคุม PID ที่ปรับแต่งด้วยวิธี Ultimate Method	49
4.11 ผลตอบสนองของระบบเมื่อทำการปรับตัวควบคุมเพื่อให้ได้สมรรถนะที่ดีขึ้น	50
4.12 มุมของระนาบจากผลตอบสนองในรูปที่ 4.10	50
4.13 ผลตอบสนองของระบบจริงแบบแยกแกนโดยใช้ค่าที่ได้จากการจำลองการเคลื่อนที่โดยโปรแกรม Matlab	52
4.14 ผลตอบสนองของระบบจริงแบบแยกแกน โดยใช้ค่าที่ได้จากการปรับแต่งเอง	54
4.15 ผลตอบสนองของระบบจริงแบบทำงานพร้อมกันทั้งสองแกนโดยใช้ค่าตัวควบคุมจากการทดลองแบบแยกแกน	56
4.16 ผลตอบสนองของระบบจริงแบบทำงานพร้อมกันทั้งสองแกน หลังจากปรับปรุงระบบแล้ว	58

สารบัญตาราง

ตารางที่	หน้า
2.1 แสดงการเปรียบเทียบคุณสมบัติระหว่าง CCD & CMOS Sensor	8
2.2 ผลกระทบของค่าเกินในตัวควบคุมแบบ PID ต่อการตอบสนองของระบบ	20
2.3 ตัวแปร และค่าคงตัวในแบบจำลองระบบควบคุมตำแหน่งลูกบอลบนระนาบ	30
3.1 การกำหนดค่าต่างๆ ของตัวควบคุมจากวิธีการของผลตอบสนองของระบบวงปิดด้วยวิธี Ultimate Method	38



เอกสารนี้เป็นเอกสารที่สงวนไว้สำหรับการใช้งานเพื่อการศึกษาเท่านั้น ไม่อนุญาตให้นำไปใช้ประโยชน์ด้านการค้า
ไม่ว่ากรณีใดๆ ทั้งสิ้น อีกทั้งห้ามมิให้ดัดแปลงเนื้อหา^{IX} และต้องอ้างอิงถึงเจ้าของเอกสารทุกครั้งที่มีการนำไปใช้

สารบัญ

	หน้า
บทคัดย่อภาษาไทย	I
บทคัดย่อภาษาอังกฤษ	II
กิตติกรรมประกาศ	III
สารบัญ	IV
สารบัญรูป	VII
สารบัญตาราง	IX
บทที่ 1 บทนำ	1
1.1 ความเป็นมา และความสำคัญของปัญหา	1
1.2 วัตถุประสงค์ของโครงการ	1
1.3 ขอบเขตของโครงการ	2
1.4 ประโยชน์ที่คาดว่าจะได้รับ	2
บทที่ 2 ทฤษฎีที่เกี่ยวข้อง	3
2.1 เซอร์โวมอเตอร์ (Servo Moter)	3
2.1.1 ส่วนประกอบภายนอกของเซอร์โวมอเตอร์	4
2.1.2 ส่วนประกอบภายในของเซอร์โวมอเตอร์	5
2.1.3 หลักการทำงานของเซอร์โวมอเตอร์	5
2.2 กล้องดิจิทัล	6
2.2.1 Camera Sensor	6
2.2.1.1 CCD	6
2.2.1.2 CMOS	7
2.3 ไมโครคอนโทรลเลอร์ (Microcontroller)	8
2.3.1 ชุดโมดูลบอร์ดไมโครคอนโทรลเลอร์ Arduino รุ่น Arduino MEGA 2560 R3	9
2.3.2 คุณสมบัติของบอร์ดไมโครคอนโทรลเลอร์	10
2.4 ระบบควบคุม (Control Systems)	11
2.4.1 ระบบควบคุมแบบป้อนกลับ (Feedback Control Systems)	12
2.4.1.1 องค์ประกอบพื้นฐานของระบบควบคุมแบบป้อนกลับ	12
2.4.2 การควบคุมแบบ PID	13
2.4.2.1 สัดส่วน Proportional Control Action (P - Action)	14
2.4.2.2 ปริพันธ์ Integral Control Action (I-Action)	15

เอกสารนี้เป็นเอกสารที่สงวนไว้สำหรับการใช้งานเพื่อการศึกษาเท่านั้น ไม่อนุญาตให้นำไปใช้ประโยชน์ด้านการค้า
ไม่ว่ากรณีใดๆ ทั้งสิ้น อีกทั้งห้ามมิให้ดัดแปลงเนื้อหา และต้องอ้างอิงถึงเจ้าของเอกสารทุกครั้งที่มีการนำไปใช้

สารบัญ(ต่อ)

	หน้า
2.4.2.3 อนุพันธ์ Derivative Control Action (D-Action)	16
2.4.2.4 ผลการตอบสนองของระบบ	19
2.5 การส่งผ่านข้อมูลแบบอนุกรม (Serial Transimission)	20
2.5.1 การสื่อสารแบบอะซิงโครนัส (Asynchronous Transmission)	21
2.5.2 การสื่อสารแบบซิงโครนัส (Synchronous Transmission)	22
2.6 Image Processing	24
2.6.1 OpenCV	25
2.6.2 รูปแบบสีแบบอาร์จีบี (RGB)	26
2.6.3 รูปแบบสีแบบระดับสีเทา (Gray Scale)	26
2.6.4 ระบบสี HSV	27
2.6.5 การแปลงภาพแบบ RGB ไปสู่ ภาพแบบระดับสีเทา	28
2.6.6 การแปลงระบบสี RGB เป็น HSV	28
2.7 แบบจำลองทางคณิตศาสตร์ของระบบควบคุมตำแหน่งลูกบอลบนระนาบ	29
บทที่ 3 หลักการออกแบบ	33
3.1 โครงสร้างทางกายภาพของระบบ	34
3.1.1 ลูกบอล	34
3.1.2 กล้อง	35
3.1.3 เซอร์โวมอเตอร์	35
3.2 คอมพิวเตอร์	35
3.2.1 การประมวลผลภาพ	36
3.2.2 ตัวควบคุม PID	37
3.2.2.1 Ultimate Method	37
3.2.3 การคำนวณมุมของเซอร์โวมอเตอร์	39
3.2.4 การส่งค่าผ่านพอร์ตอนุกรม	39
3.3 ไมโครคอนโทรลเลอร์	40
บทที่ 4 ผลการทดลอง	43
4.1 การระบุตำแหน่งลูกบอลด้วยกล้อง	43
4.2 การควบคุมตำแหน่งลูกบอลด้วยตัวควบคุม PID	45
4.2.1 การจำลองการควบคุมตำแหน่งลูกบอลด้วยโปรแกรม Simulation	45

เอกสารนี้เป็นเอกสารที่สงวนไว้สำหรับการใช้งานเพื่อการศึกษาเท่านั้น ไม่อนุญาตให้นำไปใช้ประโยชน์ด้านการค้า
ไม่ว่ากรณีใดๆ ทั้งสิ้น อีกทั้งห้ามมิให้ดัดแปลงเนื้อหา และต้องอ้างอิงถึงเจ้าของเอกสารทุกครั้งที่มีการนำไปใช้

สารบัญ(ต่อ)

	หน้า
4.2.2 ปรับตัวควบคุมด้วยวิธี Ultimate Method	48
4.2.3 การควบคุมตำแหน่งลูกบอลในระบบจริง	51
4.2.3.1 การทดลองแบบแยกแกน	51
4.2.3.2 การทดลองแบบทั้งสองแกนพร้อมกัน	55
4.3 การปรับปรุงระบบ	57
บทที่ 5 วิจัยรณ และสรุปลผล	59
5.1 สรุปลผลการทดลอง	59
5.2 ปัญหาคที่พบ	60
5.3 แนวทางการแก้ไข และข้อเสนอแนะ	60
เอกสารอ้างอิง	61
ภาคผนวก	63
ภาคผนวก ก โปรแกรมการประมวลผล และควบคุมตำแหน่งลูกบอลบนระนาบ	64
ภาคผนวก ข รายละเอียดการใช้งานคำสั่งต่างๆ ของไลบรารี OpenCV ที่ใช้ในโปรแกรมประมวลผล	78
ภาคผนวก ค เอกสารคู่มืออุปกรณ์ต่างๆ	88
ภาคผนวก ง ตารางรหัสแอสกี	90

สารบัญรูป

รูปที่	หน้า
2.1 เซอร์โวมอเตอร์	3
2.2 ส่วนประกอบภายนอกของเซอร์โวมอเตอร์	4
2.3 ส่วนประกอบภายในของเซอร์โวมอเตอร์	5
2.4 Timing Diagram ของ Control Pulse	6
2.5 การทำงานของ CCD Sensor	7
2.6 การทำงานของ CMOS Sensor	7
2.7 ชุดโมดูลบอร์ดไมโครคอนโทรลเลอร์ Arduino MEGA 2560 R3	10
2.8 องค์ประกอบพื้นฐานของระบบควบคุมแบบป้อนกลับ	12
2.9 กราฟ PV ต่อเวลา K_p กำหนดเป็น 3 ค่า (K_i และ K_d คงที่)	14
2.10 กราฟ PV ต่อเวลา K_i กำหนดเป็น 3 ค่า (K_p และ K_d คงที่)	15
2.11 กราฟ PV ต่อเวลา สำหรับ K_d 3 ค่า (K_p และ K_i คงที่)	16
2.12 ส่วนประกอบของระบบควบคุมอัตโนมัติ	18
2.13 พารามิเตอร์ต่างๆ ที่ใช้กำหนดคุณสมบัติเฉพาะของการตอบสนองของระบบ	19
2.14 การส่งข้อมูลแบบอนุกรม	21
2.15 การสื่อสารแบบอะซิงโครนัสที่ไม่ได้ใช้พาริตีบิต	22
2.16 การสื่อสารแบบอะซิงโครนัสที่ใช้พาริตีบิต	22
2.17 การสื่อสารแบบซิงโครนัส	23
2.18 ตัวอย่างการสื่อสารแบบซิงโครนัส	23
2.19 ตัวอย่างการใช้อักขระซิง 2 ตัวในการสื่อสารแบบซิงโครนัส	24
2.20 การตัดแฉวของบิตออกเป็นกลุ่มๆ ละ 8 บิต	24
2.21 หลักการทำงานของ Image Processing	24
2.22 Logo ของ OpenCV	26
2.23 สีแบบ RGB	26
2.24 สีแบบระดับสีเทา	27
2.25 การบอกค่าสีในระดับ HSV	28
2.26 จำลองการเคลื่อนที่ของลูกบอลบนแผ่นระนาบ	28
3.1 การทำงานของระบบควบคุมตำแหน่งบนระนาบ	33
3.2 โครงสร้างของระบบควบคุมตำแหน่งลูกบอลบนระนาบ	34
3.3 ขั้นตอนการประมวลผลภาพเพื่อระบุตำแหน่งของลูกบอลบนระนาบ	36

เอกสารนี้เป็นเอกสารที่สงวนไว้สำหรับการใช้งานเพื่อการศึกษาเท่านั้น ไม่อนุญาตให้นำไปใช้ประโยชน์ด้านการค้า
ไม่ว่ากรณีใดๆ ทั้งสิ้น อีกทั้งห้ามมิให้ดัดแปลงเนื้อหา และต้องอ้างอิงถึงเจ้าของเอกสารทุกครั้งที่มีการนำไปใช้

สารบัญรูป(ต่อ)

รูปที่	หน้า
3.4 กราฟผลตอบสนองของระบบวงปิดเมื่อใช้ Ultimate Gain	38
3.5 ความสัมพันธ์ระหว่างมุมของระนาบ และมุมของเซอร์โวมอเตอร์	39
3.6 โพล์ชาร์ตการทำงานของส่วนโปรแกรมคอมพิวเตอร์	41
3.7 โพล์ชาร์ตการทำงานของส่วนไมโครคอนโทรลเลอร์	42
4.1 การจัดแสงในลักษณะต่างๆ และผลที่ได้จากการประมวลผลภาพ	43
4.2 เกิดการรบกวนจากจุดขาว และจุดดำ	44
4.3 ผลของการประมวลผลภาพระหว่างภาพที่ปรับปรุงคุณภาพแล้ว	44
4.4 แบบจำลองของระบบด้วยโปรแกรม Matlab/Simulink (พิจารณาใน 1 แกน)	46
4.5 ผลตอบสนองของระบบวงเปิด	46
4.6 มุมของระนาบเมื่อควบคุมด้วยระบบวงเปิด	47
4.7 ผลตอบสนองของระบบวงปิด	47
4.8 มุมของระนาบเมื่อควบคุมด้วยระบบวงปิด	48
4.9 ผลตอบสนองของระบบที่ใช้ตัวควบคุม PID ที่ปรับแต่งด้วยวิธี Ultimate Method	49
4.10 มุมของระนาบเมื่อใช้ตัวควบคุม PID ที่ปรับแต่งด้วยวิธี Ultimate Method	49
4.11 ผลตอบสนองของระบบเมื่อทำการปรับตัวควบคุมเพื่อให้ได้สมรรถนะที่ดีขึ้น	50
4.12 มุมของระนาบจากผลตอบสนองในรูปที่ 4.10	50
4.13 ผลตอบสนองของระบบจริงแบบแยกแกนโดยใช้ค่าที่ได้จากการจำลองการเคลื่อนที่โดยโปรแกรม Matlab	52
4.14 ผลตอบสนองของระบบจริงแบบแยกแกน โดยใช้ค่าที่ได้จากการปรับแต่งเอง	54
4.15 ผลตอบสนองของระบบจริงแบบทำงานพร้อมกันทั้งสองแกนโดยใช้ค่าตัวควบคุมจากการทดลองแบบแยกแกน	56
4.16 ผลตอบสนองของระบบจริงแบบทำงานพร้อมกันทั้งสองแกน หลังจากปรับปรุงระบบแล้ว	58

สารบัญตาราง

ตารางที่	หน้า
2.1 แสดงการเปรียบเทียบคุณสมบัติระหว่าง CCD & CMOS Sensor	8
2.2 ผลกระทบของค่าเกินในตัวควบคุมแบบ PID ต่อการตอบสนองของระบบ	20
2.3 ตัวแปร และค่าคงตัวในแบบจำลองระบบควบคุมตำแหน่งลูกบอลบนระนาบ	30
3.1 การกำหนดค่าต่างๆ ของตัวควบคุมจากวิธีการของผลตอบสนองของระบบวงปิดด้วยวิธี Ultimate Method	38



เอกสารนี้เป็นเอกสารที่สงวนไว้สำหรับการใช้งานเพื่อการศึกษาเท่านั้น ไม่อนุญาตให้นำไปใช้ประโยชน์ด้านการค้า
ไม่ว่ากรณีใดๆ ทั้งสิ้น อีกทั้งห้ามมิให้ดัดแปลงเนื้อหา และต้องอ้างอิงถึงเจ้าของเอกสารทุกครั้งที่มีการนำไปใช้

บทที่ 1

บทนำ

1.1 ความเป็นมา และความสำคัญของปัญหา

การประเมินคุณภาพของเครื่องจักรนั้นมักจะพิจารณาจากหลายๆ องค์ประกอบ โดยหลักๆ คือ พิจารณาที่ประสิทธิภาพ และความแม่นยำของชิ้นงานที่ได้ ในยุคก่อนที่เทคโนโลยีดิจิทัลยังไม่ได้รับการพัฒนาเช่นปัจจุบัน เครื่องจักรที่มีคุณภาพดีมักถูกสร้างขึ้นด้วยกลที่ซับซ้อน และต้องมีผู้ใช้งานที่มีความเชี่ยวชาญสูง จึงจะสามารถสร้างชิ้นงานที่มีคุณภาพดีได้ ภายหลังจากเข้าสู่ยุคดิจิทัล คอมพิวเตอร์ถูกพัฒนาจนมีประสิทธิภาพมากขึ้น และเข้ามามีส่วนช่วยในการควบคุมเครื่องจักร ทำให้เครื่องจักรที่มีโครงสร้างไม่ซับซ้อนสามารถทำงานที่ซับซ้อนได้ ชิ้นงานที่มีคุณภาพสูงจึงถูกผลิตได้ในจำนวนที่มากขึ้นแต่ใช้เวลาน้อยลง และสามารถได้โดยอัตโนมัติโดยไม่จำเป็นต้องใช้ช่างที่ชำนาญเฉพาะทางก็ได้ ดังนั้นจะเห็นได้ว่าระบบควบคุมมีความสำคัญในการพัฒนาเครื่องจักรต่างๆ เป็นอย่างยิ่ง การนำความรู้ด้านทฤษฎีการควบคุมมาประยุกต์ใช้ให้เชี่ยวชาญจึงเรื่องที่น่าสนใจอย่างยิ่ง

ปริญญานิพนธ์จัดทำขึ้นโดยการสร้างโมเดลที่มีโครงสร้างง่าย ๆ ขึ้นมาโมเดลหนึ่ง เพื่อแสดงการประยุกต์ใช้ระบบควบคุมให้เห็นได้ชัดเจน รวมถึงยังมีการใช้เทคโนโลยี Image Processing มาใช้ในการตรวจวัดตำแหน่งของวัตถุเป้าหมาย โดยเหตุผลที่ใช้เทคโนโลยี Image Processing เนื่องจากมีความสนใจในเทคโนโลยีนี้เป็นพิเศษ เพราะสามารถสร้างอุปกรณ์การตรวจวัดที่มีความละเอียดสูงในโดยไม่ต้องใช้อุปกรณ์หรือวงจรอิเล็กทรอนิกส์ที่ซับซ้อน และสามารถประยุกต์ใช้งานได้หลากหลาย รวมทั้งกล้องที่มีคุณภาพสูงในปัจจุบันมีราคาที่ถูก จึงทำให้สามารถพัฒนาได้สะดวก และหลากหลาย

คาดหวังว่าจะสามารถนำความรู้ด้านระบบควบคุมมาประยุกต์ร่วมกับเทคโนโลยี Image Processing ได้อย่างมีประสิทธิภาพ ซึ่งจะทำให้เกิดความเชี่ยวชาญในการประยุกต์ใช้ทฤษฎีทางระบบควบคุม และนำไปสู่การพัฒนาอุปกรณ์ เครื่องจักร รวมถึงระบบอื่นๆ ต่อไปในภายภาคหน้า

1.2 วัตถุประสงค์ของโครงการ

1. เพื่อศึกษาทฤษฎีการควบคุมต่างๆ
2. เพื่อศึกษาเทคโนโลยี Image Processing
3. เพื่อประยุกต์ใช้ทฤษฎีการควบคุม

เอกสารนี้เป็นเอกสารที่สงวนไว้สำหรับการใช้งานเพื่อการศึกษาเท่านั้น ไม่อนุญาตให้นำไปใช้ประโยชน์ด้านการค้าไม่ว่ากรณีใดๆ ทั้งสิ้น อีกทั้งห้ามมิให้ดัดแปลงเนื้อหา และต้องอ้างอิงถึงเจ้าของเอกสารทุกครั้งที่มีการนำไปใช้

4. เพื่อประยุกต์ใช้เทคโนโลยี Image Processing ร่วมกับระบบควบคุมที่ออกแบบ

1.3 ขอบเขตของโครงการ

1. สร้างระบบที่สามารถปรับเอียงตัวเองเพื่อควบคุมตำแหน่งของลูกบอลที่อยู่บนระนาบ
2. ใช้ Image Processing ในการตรวจจับตำแหน่งของลูกบอลได้อย่างแม่นยำ
3. สามารถควบคุมลูกบอลให้เคลื่อนที่ตามเส้นทางที่ต้องการได้

1.4 ประโยชน์ที่คาดว่าจะได้รับ

1. สามารถนำความรู้ด้านทฤษฎีการควบคุมไปใช้ประยุกต์กับอุปกรณ์หรือระบบอื่นๆ ได้
2. พัฒนาทักษะด้านการประยุกต์ใช้ทฤษฎีระบบควบคุม และ Image Processing
3. สร้างอุปกรณ์ตัวอย่างที่แสดงการประยุกต์ใช้ความรู้ทฤษฎีทางระบบควบคุม และ Image Processing ที่สามารถเห็นภาพได้ชัดเจน และเข้าใจได้ง่าย



เอกสารนี้เป็นเอกสารที่สงวนไว้สำหรับการใช้งานเพื่อการศึกษาเท่านั้น ไม่อนุญาตให้นำไปใช้ประโยชน์ด้านการค้า ไม่ว่ากรณีใดๆ ทั้งสิ้น อีกทั้งห้ามมิให้ดัดแปลงเนื้อหา และต้องอ้างอิงถึงเจ้าของเอกสารทุกครั้งที่มีการนำไปใช้

บทที่ 2 ทฤษฎีที่เกี่ยวข้อง

2.1 เซอร์โวมอเตอร์ (Servo Moter)

เซอร์โวมอเตอร์คือ มอเตอร์ไฟตรงขนาดเล็กที่ถูกประกบเข้ากับส่วนประกอบต่างๆ ได้แก่ ชุดเกียร์ทดชุดวงจรถวลตำแหน่งการหมุนไว้ในโมดูลเดียวกัน โดยมีสายต่อใช้งาน 3 เส้น คือ V+ GND และ Control Line ซึ่งเป็นสายควบคุมที่ทำให้มอเตอร์หมุนซ้ายขวาโดยใช้สายสัญญาณ PWM เป็นตัวควบคุม ส่วนแรงเคลื่อน V+ ที่ป้อนให้ขับเซอร์โวมอเตอร์อยู่ที่ประมาณ 4 โวลต์ ถึง 6 โวลต์ เซอร์โวมอเตอร์มีข้อดีคือมีขนาดเล็ก น้ำหนักเบา แต่ให้แรงบิดสูง และกินพลังงานน้อย ใช้ระดับสัญญาณควบคุมแบบ TTL Level ต่อโดยตรงกับไมโครคอนโทรลเลอร์ได้เลยโดยไม่ต้องมีวงจรขับ

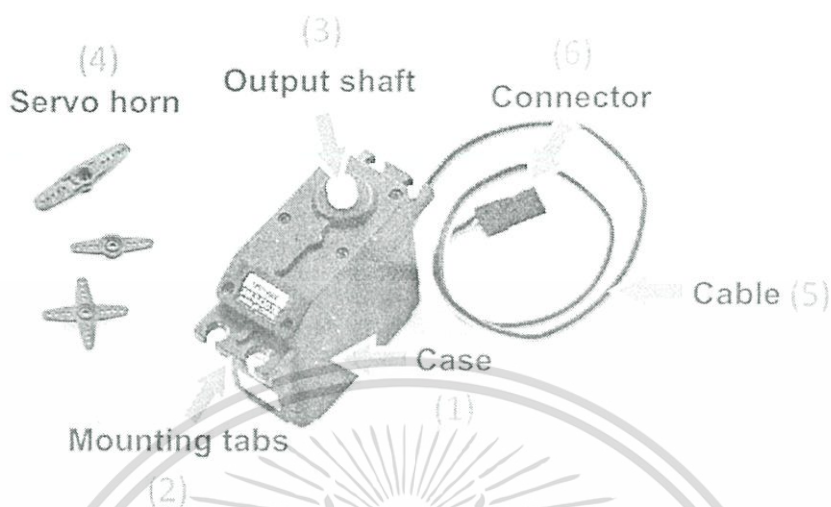


รูปที่ 2.1 เซอร์โวมอเตอร์

เซอร์โวมอเตอร์แบบนี้จะมีวงจรถวลอยู่ในตัวการควบคุมตำแหน่งการหมุนโดยทั่วไปจะมีช่วงประมาณ 180 องศา ถึง 210 องศา

เอกสารนี้เป็นเอกสารที่สงวนไว้สำหรับการใช้งานเพื่อการศึกษาเท่านั้น ไม่อนุญาตให้นำไปใช้ประโยชน์ด้านการค้าไม่ว่ากรณีใดๆ ทั้งสิ้น อีกทั้งห้ามมิให้ดัดแปลงเนื้อหา และต้องอ้างอิงถึงเจ้าของเอกสารทุกครั้งที่มีการนำไปใช้

2.1.1 ส่วนประกอบภายนอกของเซอร์โวมอเตอร์

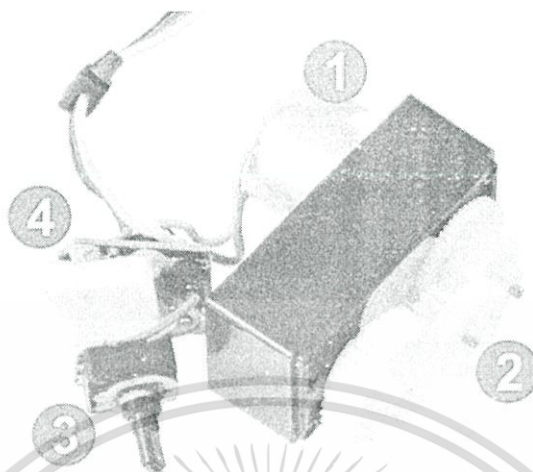


รูปที่ 2.2 ส่วนประกอบภายนอกของเซอร์โวมอเตอร์

1. Case ตัวถัง หรือกรอบของตัวเซอร์โวมอเตอร์
2. Mounting Tab ส่วนจับยึดตัวเซอร์โวมอเตอร์กับชิ้นงาน
3. Output Shaft เฟลาส่งกำลัง
4. Servo Horns ส่วนเชื่อมต่อกับ Output Shaft เพื่อสร้างกลไก
5. Cable สายเชื่อมต่อเพื่อจ่ายไฟฟ้า และควบคุมเซอร์โวมอเตอร์จะประกอบด้วยสายไฟ 3 เส้น และ ในเซอร์โวมอเตอร์จะมีสีของสายแตกต่างกันไปดังนี้
 - สายสีแดง คือ ไฟเลี้ยง (4.8 - 6V)
 - สายสีดำ หรือน้ำตาล คือ กราวด์
 - สายสีเหลือง (ส้ม ขาว หรือฟ้า) คือ สายส่งสัญญาณพัลส์ควบคุม (3-5 โวลต์)
6. Connector จุดเชื่อมต่อสายไฟ

เอกสารนี้เป็นเอกสารที่สงวนไว้สำหรับการใช้งานเพื่อการศึกษาเท่านั้น ไม่อนุญาตให้นำไปใช้ประโยชน์ด้านการค้า ไม่ว่ากรณีใดๆ ทั้งสิ้น อีกทั้งห้ามมิให้ดัดแปลงเนื้อหา และต้องอ้างอิงถึงเจ้าของเอกสารทุกครั้งที่มีการนำไปใช้

2.1.2 ส่วนประกอบภายในของเซอร์โวมอเตอร์



รูปที่ 2.3 ส่วนประกอบภายในของเซอร์โวมอเตอร์

1. Motor เป็นส่วนของตัวมอเตอร์
2. Gear Train หรือ Gearbox เป็นชุดเกียร์ทดแรง
3. Position Sensor เป็นเซนเซอร์ตรวจจับตำแหน่งเพื่อหาค่าองศาในการหมุน
4. Electronic Control System เป็นส่วนที่ควบคุม และประมวลผล

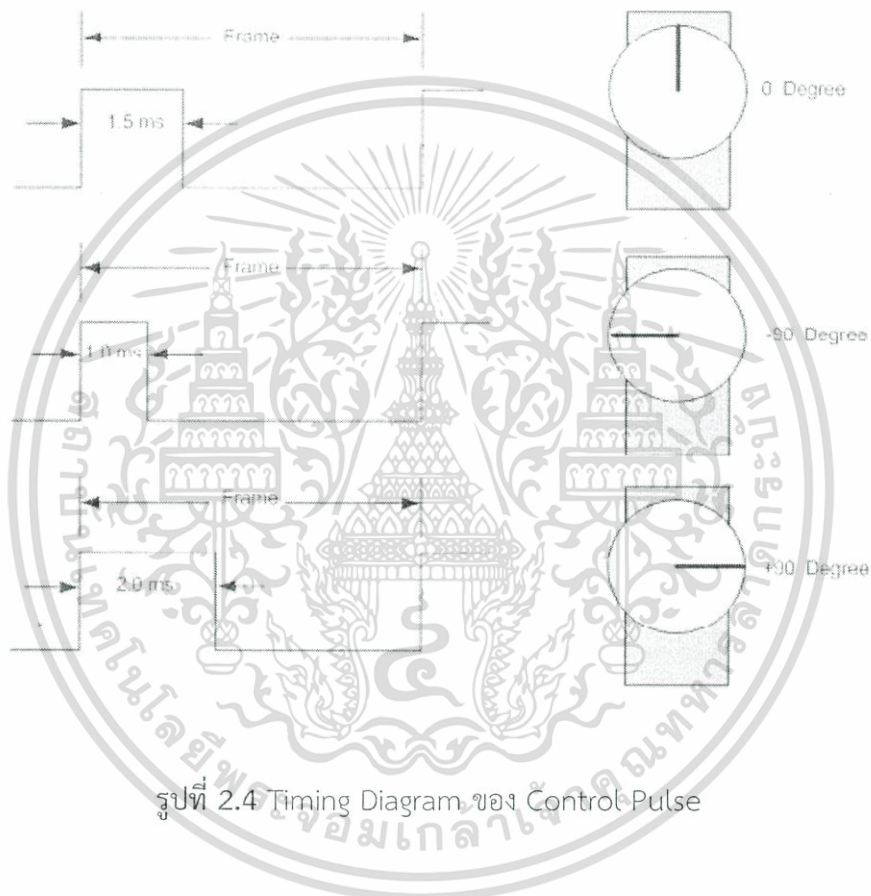
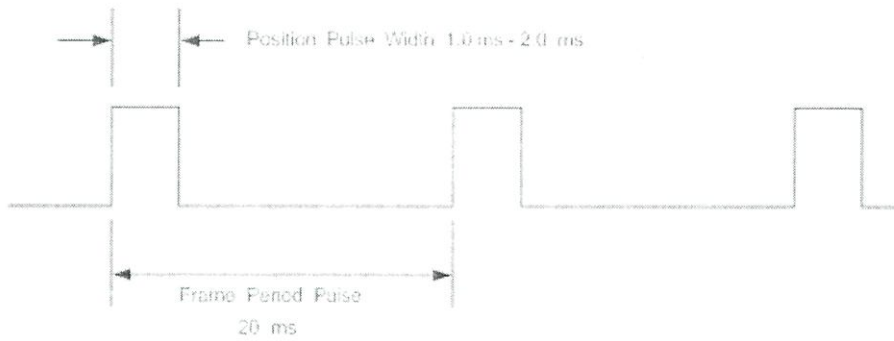
2.1.3 หลักการทำงานของเซอร์โวมอเตอร์

การควบคุมตำแหน่งการหมุนของเซอร์โวมอเตอร์ ทำได้โดยการป้อนสัญญาณความกว้างพัลส์เข้าที่ขา Control Line ตำแหน่ง และทิศทางการหมุนของแกนเอาต์พุตจะขึ้นอยู่กับความกว้างของพัลส์สัญญาณควบคุมจะประกอบด้วย

- Frame Period Pulse เป็นสัญญาณพัลส์ต่อเนื่องโดยจะเริ่มต้นห่างกันทุกๆ 20 ms ตลอดเวลาเพื่อรักษาตำแหน่งการหมุนเอาไว้

- Position Pulse Width เป็นค่าความกว้างของยอดพัลส์ของ Frame Period Pulse ใช้เป็นค่าควบคุมตำแหน่ง และทิศทางการหมุน โดยจะมีค่าอยู่ระหว่าง 1.0 ms - 2.0 ms โดยจะมีจุดอ้างอิง 3 จุดที่สามารถควบคุม และรักษาตำแหน่งตั้งแต่ 0 - 180 องศา ตามรูปที่ 2.4

เอกสารนี้เป็นเอกสารที่สงวนไว้สำหรับการใช้งานเพื่อการศึกษาเท่านั้น ไม่อนุญาตให้นำไปใช้ประโยชน์ด้านการค้าไม่ว่ากรณีใดๆ ทั้งสิ้น อีกทั้งห้ามมิให้ดัดแปลงเนื้อหา และต้องอ้างอิงถึงเจ้าของเอกสารทุกครั้งที่มีการนำไปใช้



รูปที่ 2.4 Timing Diagram ของ Control Pulse

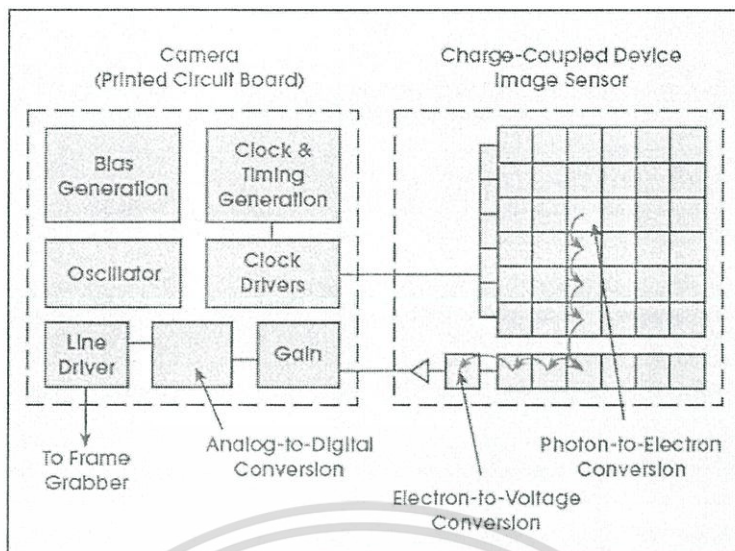
2.2 กล้องดิจิทัล

2.2.1 Camera Sensor

2.2.1.1 CCD

CCD ย่อมาจาก Charge Coupled Device เป็นเซนเซอร์ที่ทำงานโดยส่วนที่เป็นเซนเซอร์แต่ละพิกเซล (Pixel) จะทำหน้าที่รับแสง และเปลี่ยนค่าแสงเป็นสัญญาณอนาล็อก ส่งเข้าสู่วงจรเปลี่ยนค่าอนาล็อกเป็นสัญญาณดิจิทัลอีกที ซึ่งการรับแสงเป็นไปได้อย่างเต็มที่โดยไม่ต้องเสียพื้นที่ในการแปลงสัญญาณ ซึ่งตัวแปลงสัญญาณอยู่แยกกันทำให้สัญญาณรบกวนเกิดน้อย แต่ก็มีข้อเสียในด้านความร้อนและเปลืองพลังงาน

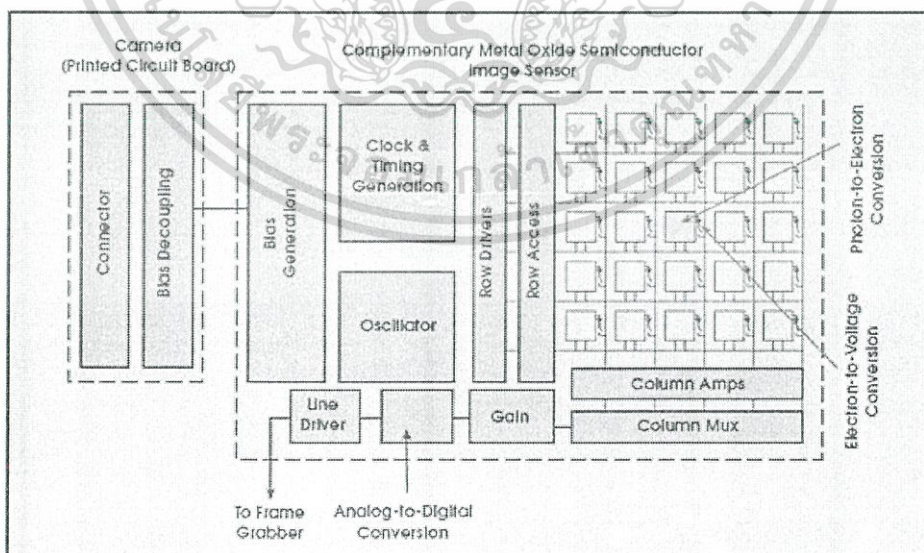
เอกสารนี้เป็นเอกสารที่สงวนไว้สำหรับการใช้งานเพื่อการศึกษาเท่านั้น ไม่อนุญาตให้นำไปใช้ประโยชน์ด้านการค้าไม่ว่ากรณีใดๆ ทั้งสิ้น อีกทั้งห้ามมิให้ดัดแปลงเนื้อหา และต้องอ้างอิงถึงเจ้าของเอกสารทุกครั้งที่มีการนำไปใช้



รูปที่ 2.5 การทำงานของ CCD Sensor

2.2.1.2 CMOS

CMOS ย่อมาจาก Complementary Metal Oxide Semiconductor เป็นเซนเซอร์ที่มีลักษณะการทำงานโดยแต่ละพิกเซลจะมีวงจรย่อยๆ เปลี่ยนค่าแสงที่เข้ามาเป็นสัญญาณดิจิทัลในทันทีไม่ต้องส่งออกไปแปลงเหมือน CCD



รูปที่ 2.6 การทำงานของ CMOS Sensor

เอกสารนี้เป็นเอกสารที่สงวนไว้สำหรับการใช้งานเพื่อการศึกษาเท่านั้น ไม่อนุญาตให้นำไปใช้ประโยชน์ด้านการค้า ไม่ว่าจะกรณีใดๆ ทั้งสิ้น อีกทั้งห้ามมิให้ดัดแปลงเนื้อหา และต้องอ้างอิงถึงเจ้าของเอกสารทุกครั้งที่มีการนำไปใช้

CMOS ทำจากซิลิคอนทั่วไปเช่นเดียวกับอุปกรณ์ไฟฟ้าทั่วไปทำให้ราคาถูกกว่า CCD ด้วย CMOS ต้องมีพื้นที่ในการแปลงค่าสัญญาณในตัวทำให้พื้นที่ในการรับแสงนั้นสูญเสียไป ดังนั้นการแก้ปัญหาหนึ่งคือ ได้เพิ่มขนาดเซนเซอร์ CMOS ให้มีขนาดที่ใหญ่ขึ้นเพื่อเพิ่มปริมาณพื้นที่รับแสงให้ดีขึ้น

ตารางที่ 2.1 แสดงการเปรียบเทียบคุณสมบัติระหว่าง CCD & CMOS Sensor

	CCD	CMOS
Signal Out of Pixel	Electron Packet	Voltage
Signal Out of Chip	Voltage (Analog)	Bits (Digital)
Signal Out of Camera	Bits (Digital)	Bits (Digital)
Fill Factor	High	Moderate
Amplifier Mismatch	N/A	Moderate
System Noise	Low	Moderate to High
System Complexity	High	Low
Sensor Complexity	Low	High
Camera Components	PCB + Multiple Chips + Lens	Chip + Lens
Responsibility	Moderate	Slightly Better
Dynamic Range	High	Moderate
Uniformity	High	Low to Moderate
Uniform Shuttering	Fast, Common	Poor
Speed	Moderate to High	Higher
Windowing	Limited	Extensive
Antiblooming	High to None	High
Biasing and Clocking	Multiple, Higher Voltage	Single, Low-Voltage

ถ้าเปรียบเทียบตารางด้านบนจะพบว่า CCD ให้คุณภาพที่ดีกว่า แต่กระบวนการผลิต และการนำไปใช้งานจะซับซ้อนกว่า กินพลังงานมากกว่า ซึ่งทำให้ CCD จะมีราคาแพงกว่า CMOS โดยทั่วไป

สรุปคือ CMOS จะมีตัวรับแสง และแปลงสัญญาณในแต่ละพิกเซลเลย ส่วน CCD ตัวรับแสงจะรับแสงอย่างเดียว และจะส่งค่าที่ได้ออกมาให้วงจรที่มีหน้าที่แปลงสัญญาณอีกทีสมัยก่อน CMOS มักนำไปใช้กับกล้องดิจิทัลในระดับล่าง เพราะคุณภาพของภาพยังไม่ดีนัก (แต่ในปัจจุบัน การพัฒนาเซนเซอร์ดีขึ้นอย่างมาก จึงไม่จำเป็นแล้วว่า CCD หรือ CMOS ที่ดีกว่ากัน เพราะการรับแสงจากเซนเซอร์มีหลายปัจจัยในการได้คุณภาพที่ออกมา)

2.3 ไมโครคอนโทรลเลอร์ (Microcontroller)

เป็นอุปกรณ์ไอซี (IC : Integrated Circuit) ที่สามารถโปรแกรมการทำงานได้ซับซ้อน สามารถรับข้อมูลในรูปสัญญาณดิจิทัลเข้าไปทำการประมวลผลแล้วส่งผลลัพธ์ข้อมูลดิจิทัลออกมา เพื่อนำไปใช้งานตามที่ต้องการได้

เอกสารนี้เป็นเอกสารที่สงวนไว้สำหรับการใช้งานเพื่อการศึกษาเท่านั้น ไม่อนุญาตให้นำไปใช้ประโยชน์ด้านการค้าไม่ว่ากรณีใดๆ ทั้งสิ้น อีกทั้งห้ามมิให้ดัดแปลงเนื้อหา และต้องอ้างอิงถึงเจ้าของเอกสารทุกครั้งที่มีการนำไปใช้

ไมโครคอนโทรลเลอร์ภายในชิพจะมีหน่วยความจำ, Port อยู่ในชิพเพียงตัวเดียว ซึ่งอาจจะเรียกได้ว่าเป็นคอมพิวเตอร์ชิพเดี่ยว ไมโครคอนโทรลเลอร์เป็นไมโครโพรเซสเซอร์ชนิดหนึ่งเช่นเดียวกับหน่วยประมวลผลกลาง (CPU : Central Processing Unit) ที่ใช้ในคอมพิวเตอร์ แต่ได้รับการพัฒนาแยกออกมาภายหลังเพื่อนำไปใช้ในวงจรทางด้านงานควบคุมคือ แทนที่ในการใช้งานจะต้องอวงจรมองต่าง ๆ เพิ่มเติมเช่นเดียวกับไมโครโพรเซสเซอร์ ก็จะทำการรวมวงจรที่จำเป็น เช่น หน่วยความจำ, ส่วนอินพุต/เอาต์พุต บางส่วนเข้าไปในตัวไอซีเดียวกัน และเพิ่มวงจรบางอย่างเข้าไปด้วยเพื่อให้มีความสามารถเหมาะสมกับการใช้งานควบคุม เช่น วงจรตั้งเวลา, วงจรการสื่อสารอนุกรม, วงจรแปลงสัญญาณอนาล็อกเป็นดิจิตอล เป็นต้น สรุปคือ

$$\text{Microcontroller} = \text{Microprocessor} + \text{Memory} + \text{I/O}$$

ไมโครคอนโทรลเลอร์สามารถนำไปประยุกต์ใช้งานอย่างกว้างขวาง โดยมักจะเป็นการนำไปใช้ฝังในระบบของอุปกรณ์อื่นๆ (Embedded Systems) เพื่อใช้ควบคุมการทำงานบางอย่าง เช่น ใช้ในรถยนต์, เตาอบไมโครเวฟ, เครื่องปรับอากาศ, เครื่องซักผ้าอัตโนมัติ เป็นต้น เพราะไมโครคอนโทรลเลอร์มีข้อดีเหมาะสมต่อการใช้งานควบคุมหลายประการ เช่น

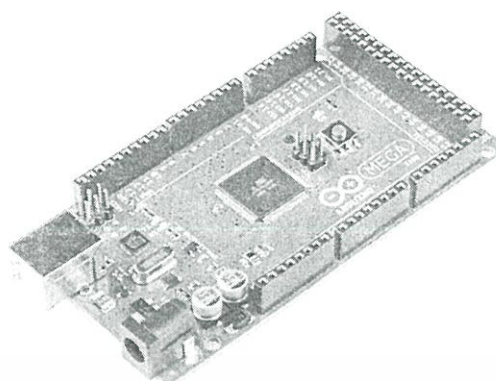
- ชิพไอซี และระบบที่ได้มีขนาดเล็ก
- ระบบที่ได้มีราคาถูกกว่าการใช้ชิพไมโครโพรเซสเซอร์
- วงจรที่ได้จะมีความซับซ้อนน้อย ช่วยลดข้อผิดพลาดที่อาจจะเกิดขึ้นได้ในการต่อวงจร
- มีคุณสมบัติเพิ่มเติมสำหรับงานควบคุมโดยเฉพาะ ซึ่งใช้งานได้ง่าย
- ช่วยลดระยะเวลาในการพัฒนาระบบได้

ไมโครคอนโทรลเลอร์มีหลายยี่ห้อ หลายตระกูล และหลายเบอร์ด้วยกัน ซึ่งแต่ละเบอร์ก็จะมีโครงสร้างภายในและความสามารถในการทำงานที่แตกต่างกันทำให้เลือกใช้กับงานได้อย่างเหมาะสม

2.3.1 ชุดโมดูลบอร์ดไมโครคอนโทรลเลอร์ Arduino รุ่น Arduino MEGA 2560 R3

เป็นไมโครคอนโทรลเลอร์ตระกูล AVR โดยใช้ไมโครคอนโทรลเลอร์เบอร์ ATmega2560 เป็น MCU ประจำบอร์ด โดย MCU รุ่นนี้มีขา Pin ทั้งหมด 54 ขา เพียบพร้อมไปด้วยทรัพยากรพื้นฐานต่างๆ อย่างครบถ้วน จึงมีความเหมาะสมเป็นอย่างยิ่งในการใช้งานทั่วไป

เอกสารนี้เป็นเอกสารที่สงวนไว้สำหรับการใช้งานเพื่อการศึกษาเท่านั้น ไม่อนุญาตให้นำไปใช้ประโยชน์ด้านการค้าไม่ว่ากรณีใดๆ ทั้งสิ้น อีกทั้งห้ามมิให้ดัดแปลงเนื้อหา และต้องอ้างอิงถึงเจ้าของเอกสารทุกครั้งที่มีการนำไปใช้



รูปที่ 2.7 ชุดโมดูลบอร์ดไมโครคอนโทรลเลอร์ Arduino MEGA 2560 R3

2.3.2 คุณสมบัติของบอร์ดไมโครคอนโทรลเลอร์

- ใช้ ATMEGA 2560 เป็น MCU ประจําบอร์ด Run ความถี่ 16MHz จาก Crystal Oscillator
- 256Kbyte Flash (สงวนไว้ 8KB สำหรับ Bootloader) / 8KB SRAM / 4KB EEPROM
- ใช้ USB สำหรับติดต่อสื่อสาร และ Download Code จากคอมพิวเตอร์ให้บอร์ด โดยไม่ต้องใช้เครื่องโปรแกรมจากภายนอก
- 1.0 Pinout เพิ่ม SDA และ SCL (อยู่ใกล้กับ AREF Pin) และอีก 2 Pin ใหม่คือ IOREF เป็น Pin ที่ใช้ในการเชื่อมต่อกับ Shields เพื่อแปลงเป็นแรงดันที่ได้จากบอร์ด ส่วนอีก 1 Pin ที่เหลือมีไว้สำหรับใช้ร่วมกับ AVR ในอนาคต
- ใช้ ATmega 16U2 แทน 8U2.
- 54 Pin Digital I/O (15 Pin สามารถใช้เป็น PWM Output ได้)
- 16 Pin Analog Input
- 4 UART
- ICSP header : In-Circuit Serial Programming (ส่วนที่เป็น AVR ขนาดเล็กสำหรับการโปรแกรม Arduino ซึ่งประกอบด้วย MOSI, MISO, SCK, RESET, VCC, GND)
- สามารถเชื่อมรับพลังงานโดยการเชื่อมต่อ Micro USB Connector หรือจาก Power Supply จากภายนอกได้ โดยแหล่งพลังงานจะถูกเลือกโดยอัตโนมัติ

เอกสารนี้เป็นเอกสารที่สงวนไว้สำหรับการใช้งานเพื่อการศึกษาเท่านั้น ไม่อนุญาตให้นำไปใช้ประโยชน์ด้านการค้าไม่ว่ากรณีใดๆ ทั้งสิ้น อีกทั้งห้ามมิให้ดัดแปลงเนื้อหา และต้องอ้างอิงถึงเจ้าของเอกสารทุกครั้งที่มีการนำไปใช้

- แหล่งจ่ายจากภายนอกสามารถมาได้จาก AC-to-DC Adapter หรือจากแบตเตอรี่ โดยต่อเข้ากับ 2.1 มม. Center-Positive Plug ไปยังช่องเสียบแหล่งจ่าย และการต่อเข้ากับแบตเตอรี่สามารถทำได้โดยการต่อเข้ากับ GND และ Vin Pin Header ของ Power Connector

- บอร์ดสามารถทำงานได้ในช่วงแรงดัน 6 โวลต์ ถึง 20 โวลต์ ถ้าแหล่งจ่ายมีค่าต่ำกว่า 7 โวลต์ อาจส่งผลให้ 5 โวลต์ Pin มีแรงดันที่ต่ำกว่า 5 โวลต์ และบอร์ดอาจจะไม่เสถียร แต่ถ้าหากแรงดันมีค่าสูงกว่า 12 โวลต์ อาจส่งผลให้บอร์ด Overheat และอาจทำให้บอร์ดเสียหายได้ ดังนั้นช่วงแรงดันที่เหมาะสมกับบอร์ดคือ 7 โวลต์ ถึง 12 โวลต์

- ในแต่ละ Digital Pins ทั้ง 54 pin บนบอร์ด Arduino MEGA 2560 สามารถเป็นได้ทั้ง Input และ Output โดยจะทำงานที่แรงดัน 5 โวลต์ และให้กระแสสูงสุด 40 mA

2.4 ระบบควบคุม (Control Systems)

ระบบควบคุม คือ ส่วนหรือหน่วยที่ได้จากการรวบรวมสิ่งต่างๆ เข้าด้วยกัน เพื่อใช้ในการบังคับควบคุมตัวเองหรือสิ่งอื่นๆ ให้เป็นไปตามที่ต้องการ

ระบบควบคุมแบ่งออกตามโครงสร้างได้ 2 ชนิด ได้แก่

1. ระบบควบคุมแบบวงเปิด (Open-Loop Control Systems) คือ ระบบควบคุมที่ไม่มีการป้อนกลับค่าเอาต์พุต (Output) ของระบบที่ได้กลับมาใช้ในการควบคุม การควบคุมแบบนี้ทำได้โดยการตั้งค่าอินพุตเริ่มต้นให้เหมาะสมทำให้ได้เอาต์พุตตามต้องการ ตัวอย่างระบบควบคุมแบบนี้ เช่น การควบคุมความเร็วของมอเตอร์ไฟฟ้ากระแสตรง (DC Motor) ซึ่งทำได้โดยการตั้งค่าแรงดันให้เหมาะสมจนกระทั่งขับให้มอเตอร์หมุนไปด้วยความเร็วรอบตามที่ต้องการ แล้วก็ใช้ค่าของแรงดันนั้นเป็นอินพุตให้กับระบบตลอดไป ระบบควบคุมประเภทนี้มีข้อดีที่ไม่ต้องมีอุปกรณ์มากมาย ประหยัดเวลา และค่าใช้จ่ายในการสร้าง แต่มีข้อเสียก็คือ ไม่สามารถชดเชยความผิดพลาดที่เกิดจากปัจจัยอื่นๆ ที่ไม่สามารถทำนายได้

2. ระบบควบคุมแบบวงปิด (Closed-Loop Control Systems) คือ ระบบที่นำเอาเอาต์พุตป้อนกลับมาใช้ในการควบคุมอยู่ตลอดเวลา ซึ่งเรียกอีกอย่างหนึ่งว่าระบบควบคุมแบบป้อนกลับ (Feedback Control Systems) ระบบควบคุมแบบวงปิดนี้มีข้อดีที่เหนือกว่าแบบวงเปิดตรงที่สามารถกำจัดผลของสัญญาณรบกวนที่มีต่อเอาต์พุต ซึ่งทำให้ควบคุมระบบได้อย่างแม่นยำ ระบบทั่วไปทางกายภาพ แม้กระทั่งระบบทางชีววิทยาของสัตว์ ต้นไม้ ก็มักจะมีกลไกในการป้อนกลับเพื่อควบคุมลักษณะทางกายภาพตามต้องการ เช่น การเคลื่อนที่ของสัตว์ ที่ต้องใช้ตามองทิศทางตลอดเวลา กลไกการควบคุม

เอกสารนี้เป็นเอกสารที่สงวนไว้สำหรับการใช้งานเพื่อการศึกษาเท่านั้น ไม่อนุญาตให้นำไปใช้ประโยชน์ด้านการค้าไม่ว่ากรณีใดๆ ทั้งสิ้น อีกทั้งห้ามมิให้ดัดแปลงเนื้อหา และต้องอ้างอิงถึงเจ้าของเอกสารทุกครั้งที่มีการนำไปใช้

ความร้อนในร่างกาย เมื่ออากาศภายนอกร้อนขึ้น ร่างกายมีกลไกในการขับเหงื่อเพื่อชดเชยให้อุณหภูมิที่ผิวหนังลดลง

2.4.1 ระบบควบคุมแบบป้อนกลับ (Feedback Control Systems)

ระบบควบคุมแบบป้อนกลับ (Feedback Control Systems) เป็นระบบควบคุมที่พยายามรักษาเอาต์พุตให้ได้ตามต้องการ โดยการนำเอาสัญญาณเอาต์พุตมาเปรียบเทียบกับสัญญาณอ้างอิงที่ต้องการ แล้วนำค่าความแตกต่างไปใช้ในการควบคุมสัญญาณป้อนให้กับสิ่งที่ต้องการควบคุม

2.4.1.1 องค์ประกอบพื้นฐานของระบบควบคุมแบบป้อนกลับ

องค์ประกอบพื้นฐานของระบบควบคุมแบบป้อนกลับ แสดงได้ดังบล็อกไดอะแกรม (Block Diagram) ดังแสดงในรูปที่ 2.1



รูปที่ 2.8 องค์ประกอบพื้นฐานของระบบควบคุมแบบป้อนกลับ

ระบบควบคุมแบบป้อนกลับข้างต้นมีส่วนประกอบย่อย ดังต่อไปนี้

- แพลนท์ (Plant) หรือ โพรเซส (Process) คือ ระบบทางกายภาพใดๆ ที่ต้องการควบคุม เช่น ถ้าต้องการควบคุมอุณหภูมิของเตาอบ แพลนท์ ก็จะประกอบไปด้วยตู้อบ ตัวทำความร้อน (Heater)
- สัญญาณเอาต์พุต (Output) คือ ตัวแปรทางกายภาพของแพลนท์ (Process Variable) ที่ต้องการควบคุม เช่น อุณหภูมิที่ได้จากเตาอบ เป็นต้น

เอกสารนี้เป็นเอกสารที่สงวนไว้สำหรับการใช้งานเพื่อการศึกษาเท่านั้น ไม่อนุญาตให้นำไปใช้ประโยชน์ด้านการค้า ไม่ว่าจะกรณีใดๆ ทั้งสิ้น อีกทั้งห้ามมิให้ดัดแปลงเนื้อหา และต้องอ้างอิงถึงเจ้าของเอกสารทุกครั้งที่มีการนำไปใช้

- อุปกรณ์วัด (Measurement Element) คือ เครื่องมือวัดที่ใช้ตรวจจับสัญญาณเอาต์พุต ซึ่งจะทำการแปลงตัวแปรทางกายภาพให้เป็นสัญญาณที่พร้อมจะนำไปเปรียบเทียบกับสัญญาณอินพุต เช่น การใช้เทอร์โมคัปเปิล (Thermo Couple) ในการวัดค่าอุณหภูมิโดยให้ค่าเป็นแรงดันที่สัมพันธ์กับอุณหภูมิที่วัด ถ้าการเปรียบเทียบ และการคำนวณต่างๆ กระทำบนคอมพิวเตอร์ อุปกรณ์การวัดอาจหมายถึงรวมไปถึงอุปกรณ์ที่ใช้ แปลงสัญญาณแบบต่อเนื่อง (Analog) ไปเป็นสัญญาณที่สามารถประมวลผลได้ด้วยคอมพิวเตอร์ หรือที่ เรียกว่าสัญญาณ ดิจิตอล (Digital) เราจะเรียกอุปกรณ์แบบนี้ว่า Analog to Digital Converter (ADC หรือ A/D)

- สัญญาณป้อนกลับ (Feedback) คือ สัญญาณที่ได้จากอุปกรณ์วัด ซึ่งผ่านการแปลงให้อยู่ในรูปของสัญญาณ ที่พร้อมนำไปประมวลผลเพื่อการควบคุมระบบ

- สัญญาณอินพุต (Input) หรือคำสั่ง (Command) หรือค่าที่ต้องการ (Set Point) หรือบางครั้งอาจเรียกว่า สัญญาณอ้างอิงที่ต้องการ (Reference input) เป็นค่าหรือรูปแบบสัญญาณที่ต้องการให้ได้ในด้านเอาต์พุตของระบบ หรือนั่นก็คือ ต้องการให้อาต์พุตมีค่าเท่ากับค่านี้นั่นเอง สัญญาณอินพุตนี้จะถูกนำไปเปรียบเทียบกับเอาต์พุต ดังนั้นรูปแบบของสัญญาณจะต้องเป็นเช่นเดียวกับสัญญาณป้อนกลับ เช่น ถ้าเราต้องการควบคุมอุณหภูมิของเตาอบที่ 200°C และใช้เทอร์โมคัปเปิลวัดค่าอุณหภูมิ ซึ่งให้ค่าแรงดันที่ 200°C เป็นค่า 5 โวลต์ ดังนั้นเราต้องตั้งค่าอินพุตเป็น 5 โวลต์

- สัญญาณความผิดพลาด (Error หรือ Deviation) คือ สัญญาณความแตกต่างของสัญญาณป้อนกลับเปรียบเทียบกับสัญญาณอินพุตที่ต้องการ เช่น ถ้าอุณหภูมิเอาต์พุตเป็น 150°C ก็จะเกิดความผิดพลาดไป 50°C

- ตัวควบคุม (Controller) คือ อุปกรณ์ที่ทำหน้าที่ประมวลผลหรือคำนวณ แล้วส่งสัญญาณที่เหมาะสมไปควบคุมระบบ เพื่อให้ระบบเกิดการตอบสนอง และได้ค่าเอาต์พุตตามต้องการ ตัวควบคุมอาจเป็นไปได้ทั้ง ระบบจักรกล ไฟฟ้า หรือคอมพิวเตอร์ ซึ่งจะใช้กันอย่างแพร่หลายในปัจจุบัน เพราะมีข้อดีในการประมวลผล ที่รวดเร็ว ถูกต้อง และแม่นยำ

2.4.2 การควบคุมแบบ PID

PID Controller (ระบบควบคุมแบบสัดส่วน-ปริพันธ์-อนุพันธ์) เป็นระบบควบคุมแบบป้อนกลับที่ใช้กันอย่างกว้างขวาง ซึ่งค่าที่นำไปใช้ในการคำนวณเป็นค่าความผิดพลาด ที่หามาจากความแตกต่างของตัวแปรในกระบวนการและค่าที่ต้องการ ตัวควบคุมจะพยายามลดค่าผิดพลาดให้เหลือน้อยที่สุดด้วยการปรับ

ค่าสัญญาณขาเข้าของกระบวนการ ค่าตัวแปรของ PID ที่ใช้จะปรับเปลี่ยนตามธรรมชาติของระบบ เอกสารนี้เป็นเอกสารที่สงวนไว้สำหรับการใช้งานเพื่อการศึกษาเท่านั้น เมื่ออนุญาตให้นำไปใช้ประโยชน์ด้านการค้า ไม่ว่าจะกรณีใดๆ ทั้งสิ้น อีกทั้งห้ามมิให้ดัดแปลงเนื้อหา และต้องอ้างอิงถึงเจ้าของเอกสารทุกครั้งที่มีการนำไปใช้

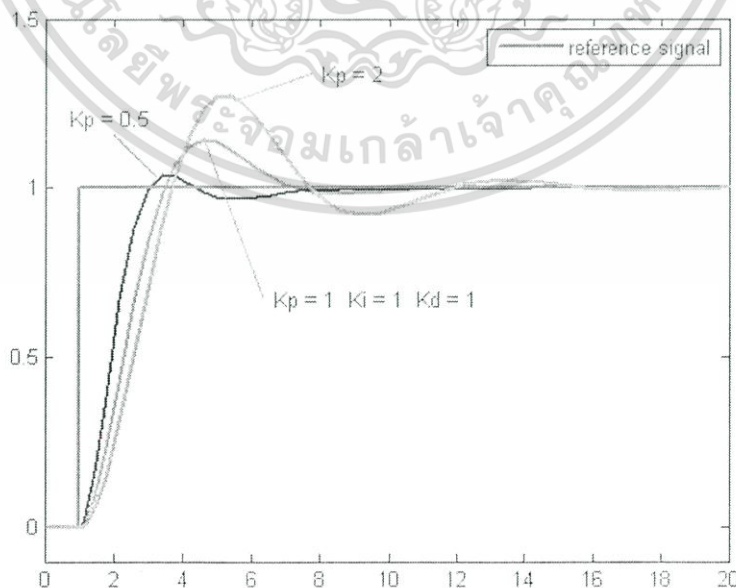
วิธีคำนวณของ PID ขึ้นอยู่กับสามตัวแปรคือ ค่าสัดส่วน, ปริพันธ์ และอนุพันธ์ ค่าสัดส่วนกำหนดจากผลของความผิดพลาดในปัจจุบัน, ค่าปริพันธ์กำหนดจากผลบนพื้นฐานของผลรวมความผิดพลาดที่ ซึ่งเพิ่งผ่านพ้นไป และค่าอนุพันธ์กำหนดจากผลบนพื้นฐานของอัตราการเปลี่ยนแปลงของค่าความผิดพลาด น้ำหนักที่เกิดจากการรวมกันของทั้งสามนี้จะใช้ในการปรับกระบวนการโดยการปรับค่าคงที่ใน PID ตัวควบคุมสามารถปรับรูปแบบการควบคุมให้เหมาะกับที่กระบวนการต้องการได้ การตอบสนองของตัวควบคุมจะอยู่ในรูปของการไหวตัวของตัวควบคุมจนถึงค่าความผิดพลาด ค่าโอเวอร์ชูต (Overshoots) และค่าแกว่งของระบบ (Oscillation) วิธี PID ไม่รับประกันได้ว่าจะเป็นระบบควบคุมที่เหมาะสมที่สุด หรือสามารถทำให้กระบวนการมีความเสถียรแน่นอน การประยุกต์ใช้งานบางครั้งอาจใช้เพียงหนึ่งถึงสองรูปแบบ ขึ้นอยู่กับกระบวนการเป็นสำคัญ PID บางครั้งจะถูกเรียกว่าการควบคุมแบบ PI, PD, P, I หรือ D ขึ้นอยู่กับว่าใช้รูปแบบใดบ้าง

ทฤษฎีการควบคุมแบบ PID ได้ชื่อตามการรวมกันของเทอมของตัวแปรทั้งสามตามสมการที่ (2.1)

$$u(t) = P_{out} + I_{out} + D_{out} \quad (2.1)$$

เมื่อ P_{out} , I_{out} และ D_{out} เป็นผลของสัญญาณขาออกจากระบบควบคุม PID จากแต่ละเทอม ซึ่งนิยามตามรายละเอียดด้านล่าง

2.4.2.1 สัดส่วน Proportional Control Action (P - Action)



เอกสารนี้เป็นเอกสารที่สงวนไว้สำหรับการใช้งานเพื่อการศึกษาเท่านั้น ไม่อนุญาตให้นำไปใช้ประโยชน์ด้านการค้า ไม่ว่ากรณีใดๆ ทั้งสิ้น อีกทั้งห้ามมิให้ดัดแปลงเนื้อหา และต้องอ้างอิงถึงเจ้าของเอกสารทุกครั้งที่มีการนำไปใช้

รูปที่ 2.9 กราฟ PV ต่อเวลา K_p กำหนดเป็น 3 ค่า (K_i และ K_d คงที่)

เทอมของสัดส่วน (บางครั้งเรียก อัตราขยาย) จะเปลี่ยนแปลงเป็นสัดส่วนของค่าความผิดพลาดการตอบสนองของสัดส่วน สามารถทำได้โดยการคูณค่าความผิดพลาดด้วยค่าคงที่ K_p หรือที่เรียกว่าอัตราขยาย สัดส่วนเทอมของสัดส่วนจะเป็นไปตามสมการที่ (2.2)

$$P_{out} = K_p e(t) \quad (2.2)$$

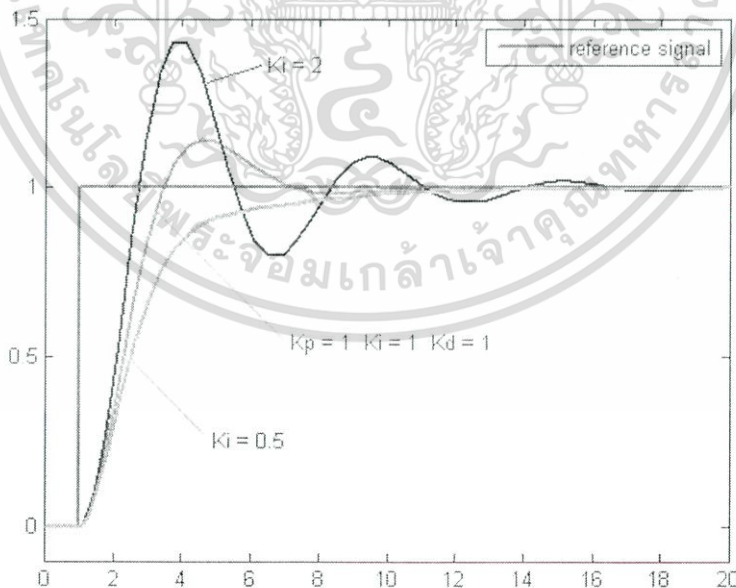
เมื่อ P_{out} : สัญญาณขาออกของเทอมสัดส่วน

K_p : อัตราขยายสัดส่วน, ตัวแปรปรับค่าได้

$e(t)$: ค่าความผิดพลาดในแต่ละช่วงเวลา

ผลอัตราขยายสัดส่วนที่สูงค่าความผิดพลาดก็จะเปลี่ยนแปลงมากเช่นกัน แต่ถ้าสูงเกินไประบบจะไม่เสถียรได้ ในทางตรงกันข้ามผลอัตราขยายสัดส่วนที่ต่ำระบบควบคุมจะมีผลตอบสนองต่อกระบวนการน้อยตามไปด้วย

2.4.2.2 ปริพันธ์ Integral Control Action (I-Action)



รูปที่ 2.10 กราฟ PV ต่อเวลา K_i กำหนดเป็น 3 ค่า (K_p และ K_d คงที่)

เอกสารนี้เป็นเอกสารที่สงวนไว้สำหรับการใช้งานเพื่อการศึกษาเท่านั้น ไม่อนุญาตให้นำไปใช้ประโยชน์ด้านการค้า ไม่ว่าจะกรณีใดๆ ทั้งสิ้น อีกทั้งห้ามมิให้ดัดแปลงเนื้อหา และต้องอ้างอิงถึงเจ้าของเอกสารทุกครั้งที่มีการนำไปใช้

ผลจากเทอมปริพันธ์ (บางครั้งเรียก Reset) เป็นสัดส่วนของขนาดความผิดพลาด และระยะเวลาของความผิดพลาด ผลรวมของความผิดพลาดในทุกช่วงเวลา (ปริพันธ์ของความผิดพลาด) จะให้ออฟเซตสะสมที่ควรจะเป็นในก่อนหน้า ความผิดพลาดสะสมจะถูกคูณโดยอัตราขยายปริพันธ์ ขนาดของผลของเทอมปริพันธ์จะกำหนดโดยอัตราขยายปริพันธ์, K_i เทอมปริพันธ์จะเป็นไปตามสมการที่ (2.3)

$$I_{out} = K_i \int_0^t e(t) dt \quad (2.3)$$

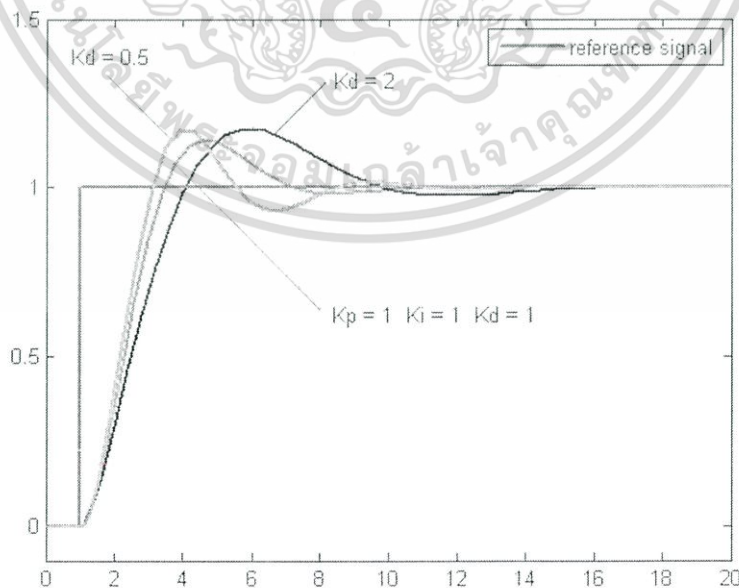
เมื่อ I_{out} : สัญญาณขาออกของเทอมปริพันธ์

K_i : อัตราขยายปริพันธ์, ตัวแปรปรับค่าได้

$e(t)$: ค่าความผิดพลาดในแต่ละช่วงเวลา

เทอมปริพันธ์ (เมื่อรวมกับเทอมสัดส่วน) จะเร่งกระบวนการให้เข้าสู่จุดที่ต้องการ และขจัดความผิดพลาดที่เหลืออยู่ที่เกิดจากการใช้เพียงเทอมสัดส่วน แต่อย่างไรก็ตามเทอมปริพันธ์เป็นการตอบสนองต่อความผิดพลาดสะสมในอดีต จึงสามารถทำให้เกิดโอเวอร์ชูดได้ (ข้ามจุดที่ต้องการ และเกิดการหันเหไปทางทิศทางอื่น)

2.4.2.3 อนุพันธ์ Derivative Control Action (D-Action)



รูปที่ 2.11 กราฟ PV ต่อเวลา สำหรับ K_d 3 ค่า (K_p และ K_i คงที่)

เอกสารนี้เป็นเอกสารที่สงวนไว้สำหรับการใช้งานเพื่อการศึกษาเท่านั้น ไม่อนุญาตให้นำไปใช้ประโยชน์ด้านการค้า ไม่ว่าจะกรณีใดๆ ทั้งสิ้น อีกทั้งห้ามมิให้ดัดแปลงเนื้อหา และต้องอ้างอิงถึงเจ้าของเอกสารทุกครั้งที่มีการนำไปใช้

อัตราการเปลี่ยนแปลงของความผิดพลาดจากกระบวนการนั้นคำนวณหาจากความชันของความผิดพลาดทุกๆ เวลา (นั่นคือ เป็นอนุพันธ์อันดับหนึ่งสัมพันธ์กับเวลา) และคูณด้วยอัตราขยายอนุพันธ์ K_d ขนาดของผลของเทอมอนุพันธ์ (บางครั้ง เรียก อัตรา) ขึ้นกับอัตราขยายอนุพันธ์ K_d เทอมอนุพันธ์เป็นไปตามสมการที่ (2.4)

$$D_{out} = K_d \frac{d}{dt} e(t) \quad (2.4)$$

เมื่อ D_{out} : สัญญาณขาออกของเทอมอนุพันธ์

K_d : อัตราขยายอนุพันธ์, ตัวแปรปรับค่าได้

$e(t)$: คือค่าความผิดพลาดในแต่ละช่วงเวลา

เทอมอนุพันธ์จะชะลออัตราการเปลี่ยนแปลงของสัญญาณขาออกของระบบควบคุม และด้วยผลนี้จะช่วยให้ระบบควบคุมเข้าสู่จุดที่ต้องการ ดังนั้นเทอมอนุพันธ์จะใช้ในการลดขนาดของโอเวอร์ชูตที่เกิดจากเทอมปริพันธ์และทำให้เสถียรภาพของการรบกวนของระบบควบคุมดีขึ้น แต่อย่างไรก็ตามอนุพันธ์ของสัญญาณรบกวนที่ถูกขยายในระบบควบคุมจะไวมากต่อการรบกวนในเทอมของความผิดพลาด และสามารถทำให้กระบวนการไม่เสถียรได้ถ้าสัญญาณรบกวน และอัตราขยายอนุพันธ์มีขนาดใหญ่เพียงพอ ซึ่งลักษณะการทำงานของตัวควบคุมแบบ PID สามารถเขียนเป็นสมการทางคณิตศาสตร์ในเทอมของเวลาได้ดังนี้

$$u(t) = K_p e(t) + K_i \int_0^t e(t) dt + K_d \frac{d}{dt} e(t) \quad (2.5)$$

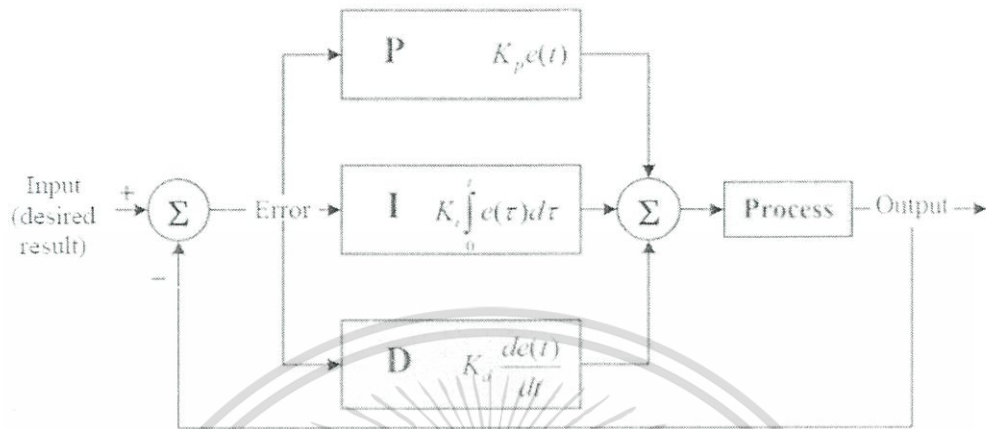
เมื่อทำอยู่ในรูป Laplace Transform จะได้

$$U(s) = K_p \left(1 + \frac{1}{T_i s} + T_d s \right) \quad (2.6)$$

และจากสมการที่ (2.5) สามารถแสดงในรูปของไดอะแกรมของการประยุกต์ใช้หลักการควบคุมแบบ PID ในการปรับค่าเกนของตัวควบคุมดังรูปที่ 2.12 นอกจากนี้ยังสามารถนำไปทำงานร่วมกับเทคนิคการ

เอกสารนี้เป็นเอกสารที่สงวนไว้สำหรับการใช้งานเพื่อการศึกษาเท่านั้น ไม่อนุญาตให้นำไปใช้ประโยชน์ด้านการค้าไม่ว่ากรณีใดๆ ทั้งสิ้น อีกทั้งห้ามมิให้ดัดแปลงเนื้อหา และต้องอ้างอิงถึงเจ้าของเอกสารทุกครั้งที่มีการนำไปใช้

เรียนรู้ และชดเชยค่าความไม่แน่นอน และวิธี Conventional Boundary Layer Technique (BL Technique) ได้



รูปที่ 2.12 ส่วนประกอบของระบบควบคุมอัตโนมัติ

จากรูปที่ 2.12 ระบบควบคุมจะเริ่มพิจารณาจากเอาต์พุตของกระบวนการ ซึ่งอาจจะเป็นอุณหภูมิหรือความดัน เป็นต้น เอาต์พุตจะถูกวัด และแปลงสัญญาณโดยอุปกรณ์แปลงสัญญาณเพื่อแปลงปริมาณทางกายภาพที่วัดได้ไปเป็นปริมาณที่ต้องการ เช่น ปริมาณทางไฟฟ้า จากนั้นค่าที่วัดได้จะถูกนำไปเปรียบเทียบกับค่าอินพุตที่ตั้งไว้ ค่าผิดพลาดที่เกิดขึ้นจะถูกส่งไปให้ตัวควบคุมเพื่อสร้างสัญญาณควบคุมไปควบคุมกระบวนการต่อไป ขั้นตอนทั้งหมดนี้จะทำซ้ำไปเรื่อยๆ จนกระทั่งค่าอินพุตกับค่าที่วัดได้มีขนาดเท่ากันหรือใกล้เคียงกัน ส่วนประกอบหนึ่งที่สำคัญของระบบควบคุมอัตโนมัติ คือ ตัวควบคุม (Controller) ซึ่งมีมากมายหลายชนิดให้เลือกใช้งาน แต่ตัวควบคุมที่ยังคงได้รับความนิยมอย่างสูงนับจากอดีตจนถึงปัจจุบันก็คือ ตัวควบคุมแบบ PID สาเหตุที่ทำให้ตัวควบคุมชนิดนี้เป็นที่นิยมใช้เนื่องจากความเรียบง่ายของโครงสร้างตัวควบคุม และความสามารถในการลดค่าความผิดพลาดได้หลายชนิดในตัวควบคุมเดียว ปัญหาของการใช้งานตัวควบคุมแบบ PID ก็คือ ค่าเกณฑ์ของตัวควบคุม ซึ่งมีอยู่ด้วยกันถึง 3 ตัวคือ K_p , K_i และ K_d ควรจะมีค่าเป็นเท่าใดจึงจะเหมาะสมกับกระบวนการนั้นๆ ในทางทฤษฎีแล้วค่าเกณฑ์เหล่านี้จะสามารถหาได้อย่างถูกต้อง ถ้าทราบแบบจำลองทางคณิตศาสตร์ของกระบวนการ แต่ในทางปฏิบัติการหาแบบจำลองทางคณิตศาสตร์ของกระบวนการในอุตสาหกรรมไม่ใช่เรื่องง่ายอีกทั้งยังมีค่าใช้จ่ายสูง เนื่องจากตัวแปรต่างๆ ในกระบวนการมีการเปลี่ยนแปลงตลอดเวลา และเซนเซอร์ที่จะต้อง

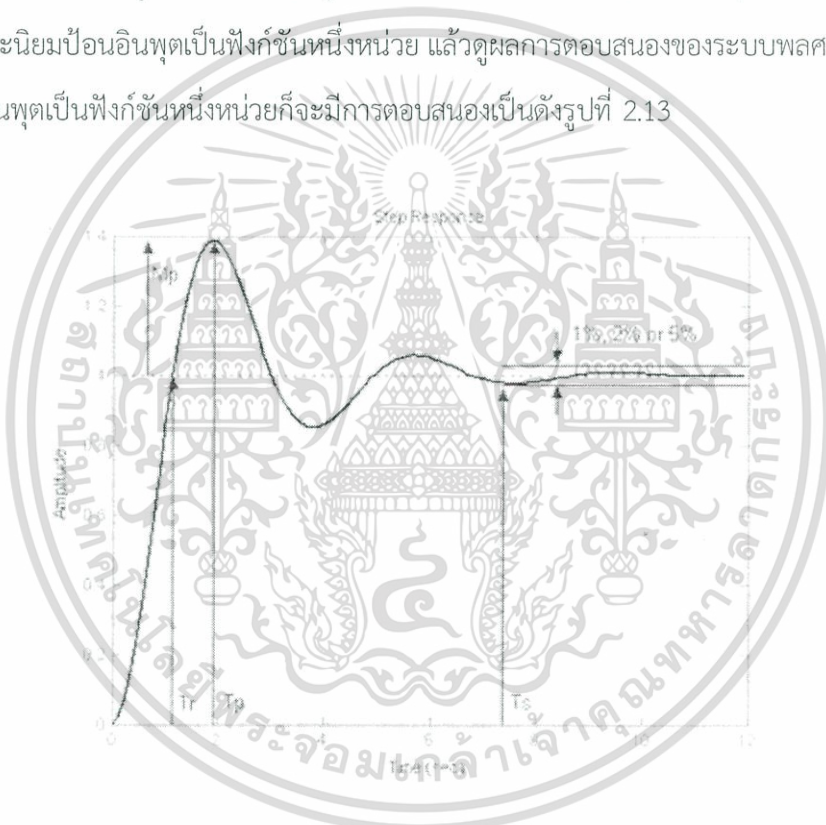
นำมาวัดตัวแปรต่างๆ ก็มีราคาแพง

เอกสารนี้เป็นเอกสารที่สงวนไว้สำหรับการใช้งานเพื่อการศึกษาเท่านั้น ไม่อนุญาตให้นำไปใช้ประโยชน์ด้านการค้าไม่ว่ากรณีใดๆ ทั้งสิ้น อีกทั้งห้ามมิให้ดัดแปลงเนื้อหา และต้องอ้างอิงถึงเจ้าของเอกสารทุกครั้งที่มีการนำไปใช้

จากปัญหาดังกล่าวสามารถปรับค่าเกนตัวควบคุมแบบ PID ในกรณีที่ไม่ทราบแบบจำลองทางคณิตศาสตร์ของกระบวนการ โดยจะใช้วิธีการปรับค่าเกนตัวควบคุมแบบ PID ของซีเกลอร์-นิโคลส์ (Ziegler-Nichols) ร่วมกับตารางแสดงผลกระทบของค่าเกนในตัวควบคุมแบบ PID ต่อการตอบสนองของระบบ

2.4.2.4 ผลการตอบสนองของระบบ

กระบวนการ หรือระบบ เมื่อได้รับอินพุตจะต้องมีการตอบสนองออกมาเป็นเอาต์พุต ซึ่งรูปแบบการตอบสนองนั้นก็ขึ้นอยู่กับชนิดของอินพุตที่ใส่เข้าไป ในการนิยามตัวแปรต่างๆ ในการตอบสนองของระบบ มักจะนิยมป้อนอินพุตเป็นฟังก์ชันหนึ่งหน่วย แล้วดูผลการตอบสนองของระบบพลศาสตร์โดยทั่วไป เมื่อได้รับอินพุตเป็นฟังก์ชันหนึ่งหน่วยก็จะมี การตอบสนองเป็นดังรูปที่ 2.13



รูปที่ 2.13 พารามิเตอร์ต่างๆ ที่ใช้กำหนดคุณสมบัติเฉพาะของการตอบสนองของระบบ

จากรูปที่ 2.13 พารามิเตอร์ต่างๆ สามารถอธิบายความหมายได้ดังนี้

1. ช่วงเวลาขึ้น (Rise Time, T_r) หมายถึง ช่วงเวลาที่ผลตอบสนองเมื่อสัญญาณเอาต์พุตเพิ่มจาก 10% จนถึง 90% หรือจาก 5% ถึง 95% หรือจาก 0% ถึง 100% ดังนั้นการกำหนดช่วงเวลาดังนี้จำเป็นต้องบอกด้วยว่าวัดโดยใช้ช่วงเวลาไหน

2. เวลาของค่ายอด (Peak Time, T_p) หมายถึง เวลาที่สัญญาณผลการตอบสนองมีค่าสูงสุดค่าแรก ของผลการตอบสนองนั้นๆ

เอกสารนี้เป็นเอกสารที่สงวนไว้สำหรับการใช้งานเพื่อการศึกษาเท่านั้น ไม่อนุญาตให้นำไปใช้ประโยชน์ด้านการค้า ไม่ว่าจะกรณีใดๆ ทั้งสิ้น อีกทั้งห้ามมิให้ดัดแปลงเนื้อหา และต้องอ้างอิงถึงเจ้าของเอกสารทุกครั้งที่มีการนำไปใช้

3. โอเวอร์ชูตสูงสุด (Maximum Overshoot, M_p) หมายถึง ค่าการตอบสนองสูงสุดที่วัดจากสถานะอยู่ตัวสุดท้าย (Final Steady State) การบอกค่าโอเวอร์ชูตสูงสุดมักจะบอกเป็นเปอร์เซ็นต์

4. เวลาเข้าที่ (Settling Time, T_s) หมายถึง เวลาที่ผลการตอบสนองลดลงจนเริ่มเข้าไปอยู่ในช่วงที่กำหนด ซึ่งจะวัดเทียบกับค่าสุดท้ายของผลการตอบสนองในสถานะอยู่ตัวสุดท้าย (Final Steady State) ค่าที่นิยมกำหนดสำหรับช่วงนี้มักจะบอกเป็นเปอร์เซ็นต์ เช่น 1%, 2% หรือ 5% เป็นต้น

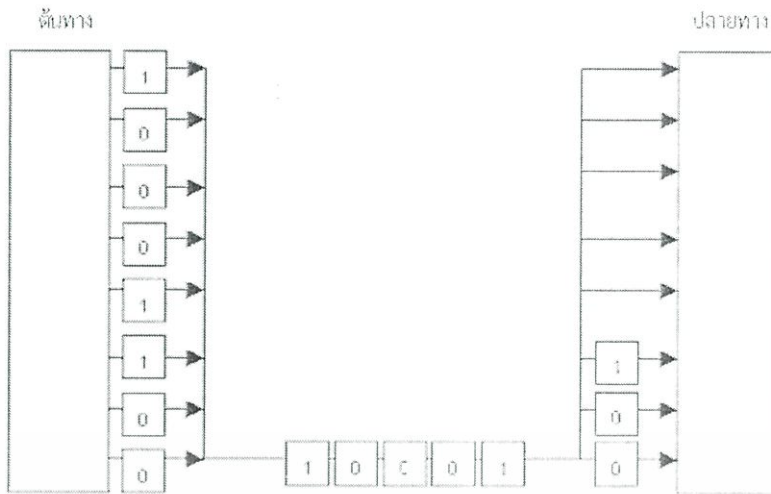
ตารางที่ 2.2 ผลกระทบของค่าเกนในตัวควบคุมแบบ PID ต่อการตอบสนองของระบบ

ค่าเกน	ช่วงเวลาขึ้น (Tr)	โอเวอร์ชูต (Mp)	เวลาเข้าที่ (Ts)	ค่าความผิดพลาด ณ สถานะคงตัว	เสถียรภาพ
K_p	ลดลง	เพิ่มขึ้น	เปลี่ยนแปลงเล็กน้อย	ลดลง	ลดลง
K_i	ลดลง	เพิ่มขึ้น	เพิ่มขึ้น	ลดลงจนหมดไป	ลดลง
K_d	ลดลงเล็กน้อย	ลดลง	ลดลง	เปลี่ยนแปลงน้อยมาก	ดีขึ้นถ้า K_d มีค่าน้อย

จากตารางที่ 2.2 จะแสดงถึงผลกระทบของค่าเกนในตัวควบคุมแบบ PID ต่อพารามิเตอร์ต่างๆ ที่ใช้กำหนดคุณสมบัติเฉพาะของการตอบสนองของระบบ ซึ่งจะพบว่าค่าเกน K_p จะทำให้ช่วงเวลาขึ้น (Rise Time) ลดลง และ ลดค่าความผิดพลาด ณ สถานะคงตัว แต่ไม่สามารถกำจัดค่าความผิดพลาด ณ สถานะคงตัวให้หมดได้ ค่าเกน K_i จะมีหน้าที่หลักในการลดค่าความผิดพลาด ณ สถานะคงตัวให้หมดไปแต่การเพิ่มค่าเกน K_i มากเกินไปจะทำให้ผลการตอบสนองชั่วคราวของระบบเสียไปได้ส่วนค่าเกน K_d มีหน้าที่หลักในการลดโอเวอร์ชูตลง และทำให้ผลการตอบสนองชั่วคราวของระบบดีขึ้น

2.5 การส่งผ่านข้อมูลแบบอนุกรม (Serial Transimission)

รูปแบบการส่งผ่านข้อมูลในลักษณะนี้ทุกบิตที่เข้ารหัสแทนข้อมูลหนึ่งตัวอักษร จะถูกส่งผ่านไป ตามสายส่งเรียงลำดับกันไปทีละบิตในสายส่งเพียงเส้นเดียว ดังรูปที่ 2.14



รูปที่ 2.14 การส่งข้อมูลแบบอนุกรม

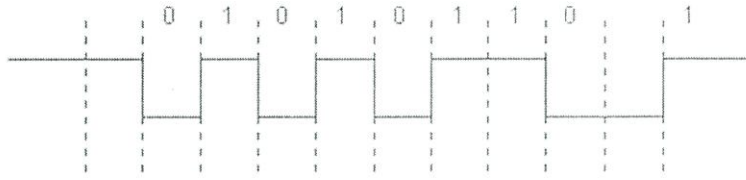
จากรูปที่ 2.14 ตัวอักษรจะประกอบด้วย 8 บิต เรียงเป็นลำดับ ข้อมูลจะถูกส่งออกมาทีละบิต ระหว่างต้นทาง และปลายทาง ปลายทางจะรวบรวมบิตเหล่านี้ทีละบิตจนครบ 8 บิต เป็น 1 ตัวอักษร จะเห็นว่าการส่งข้อมูลแบบนี้จะช้ากว่าแบบขนาน แต่ค่าใช้จ่ายจะถูกกว่าแบบขนาน ซึ่งเหมาะสำหรับการส่งระยะทางไกลๆ

โดยทั่วไปแล้วการส่งข้อมูลนั้นจะประกอบไปด้วยกลุ่มของตัวอักษร ในการส่งข้อมูลแบบอนุกรมนี้จึงแบ่งวิธีการสื่อสารข้อมูลขึ้น 2 แบบคือ การสื่อสารแบบอะซิงโครนัส (Asynchronous Transmission) และการสื่อสารแบบซิงโครนัส (Synchronous Transmission)

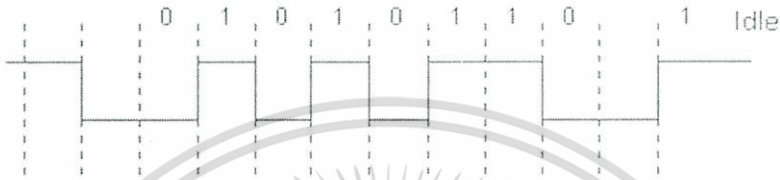
2.5.1 การสื่อสารแบบอะซิงโครนัส (Asynchronous Transmission)

การสื่อสารแบบอะซิงโครนัส หรือเรียกอีกอย่างหนึ่งว่าเป็น การสื่อสารแบบระบุจุดเริ่มต้น และจุดสิ้นสุด (Start-Stop Transmission) ลักษณะของสัญญาณที่ใช้ในการติดต่อสื่อสารกันจะประกอบไปด้วย บิตเริ่มต้น (Start Bit) บิตของข้อมูลที่สื่อสาร (Transmission Data) จำนวน 8 บิต บิตตรวจสอบข้อผิดพลาด (Parity Bit) และบิตสิ้นสุด (Stop Bit) สำหรับบิตตรวจสอบข้อผิดพลาดจะใช้หรือไม่ใช้ก็ได้ ดังนั้นสัญญาณจึงต้องประกอบด้วยส่วนประกอบอย่างน้อย 3 ส่วน ดังรูปที่ 2.15

เอกสารนี้เป็นเอกสารที่สงวนไว้สำหรับการใช้งานเพื่อการศึกษาเท่านั้น ไม่อนุญาตให้นำไปใช้ประโยชน์ด้านการค้า ไม่ว่าจะกรณีใดๆ ทั้งสิ้น อีกทั้งห้ามมิให้ดัดแปลงเนื้อหา และต้องอ้างอิงถึงเจ้าของเอกสารทุกครั้งที่มีการนำไปใช้



รูปที่ 2.15 การสื่อสารแบบอะซิงโครนัสที่ไม่ได้ใช้พาริตีบิต



รูปที่ 2.16 การสื่อสารแบบอะซิงโครนัสที่ใช้พาริตีบิต

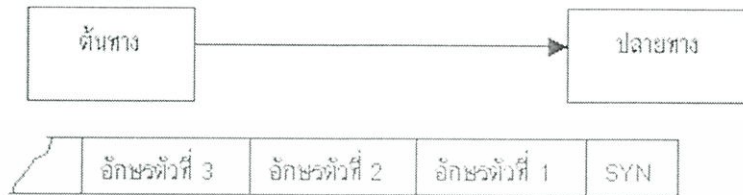
จากรูปที่ 2.15 และรูปที่ 2.16 จะเห็นว่าขณะที่ไม่มีข้อมูลส่งออกมาสถานะของการส่งจะเป็นแบบว่าง (Idle) ซึ่งจะมีระดับของสัญญาณเป็น 1 ตลอดเวลา เพื่อความแน่ใจว่าปลายทาง หรือฝ่ายรับยังคงติดต่อกับต้นทาง หรือฝ่ายส่งอยู่ เมื่อเริ่มจะส่งข้อมูลสัญญาณของอะซิงโครนัสจะเป็น 0 หนึ่งช่วงสัญญาณนาฬิกา ซึ่งบิตนี้เราเรียกว่า บิตเริ่มต้น ตามหลังของบิตเริ่มต้นจะเป็นบิตข้อมูลสำหรับ 1 ตัวอักษร ตามหลังบิตข้อมูลก็จะเป็นบิตตรวจข้อผิดพลาด แล้วจะตามด้วยบิตสิ้นสุด ถ้าไม่ใช่บิตตรวจข้อผิดพลาดตามหลังบิตข้อมูลก็จะเป็นบิตสิ้นสุดเลย หลังจากนั้นถ้าไม่มีข้อมูลส่งออกมาสัญญาณจะกลับไปอยู่ที่สถานะแบบว่างอีก เพื่อรอการส่งข้อมูลต่อไป

จะเห็นว่าการสื่อสารแบบอะซิงโครนัสนี้ มีลักษณะเป็นไปทีละตัวอักษร และสัญญาณที่ส่งออกมามีบางส่วนเป็นบิตเริ่มต้น บิตสิ้นสุด และบิตตรวจข้อผิดพลาด ทำให้ความเร็วในการส่งข้อมูลต่อวินาทีน้อยลงไป เนื่องจากต้อง สูญเสียช่องทางการสื่อสารให้กับบิตเริ่มต้น บิตสิ้นสุด และบิตตรวจข้อผิดพลาด (ถ้ามีใช้) ตลอดเวลาการสื่อสารแบบอะซิงโครนัสนี้มักใช้ในการติดต่อระหว่างคอมพิวเตอร์กับอุปกรณ์รอบข้าง

2.5.2 การสื่อสารแบบซิงโครนัส (Synchronous Transmission)

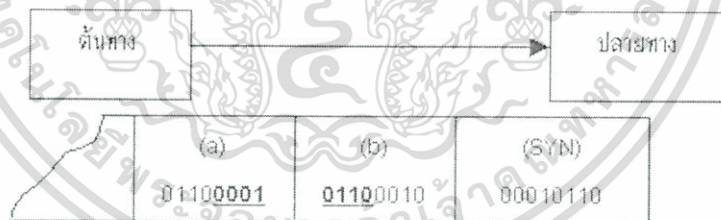
การสื่อสารแบบซิงโครนัส จะทำการจัดกลุ่มของข้อมูลเป็นกลุ่มๆ และทำการส่งข้อมูลทั้งกลุ่มไปพร้อมกันทีเดียว เราเรียกกลุ่มของข้อมูลนี้ว่า บล็อกของข้อมูล (Block of Data) ซึ่งตัวอักษรตัวแรก และตัวเอกสารนี้เป็นเอกสารที่ส่งวนไว้สำหรับบริการใช้งานเพื่อการศึกษาเท่านั้น ไม่นอญญาติให้ไปใช้ประโยชน์ด้านการค้าไม่ว่ากรณีใดๆ ทั้งสิ้น อีกทั้งห้ามมิให้ดัดแปลงเนื้อหา และต้องอ้างอิงถึงเจ้าของเอกสารทุกครั้งที่มีการนำไปใช้

ถัดไปที่อยู่ในบล็อกเดียวกันจะไม่มีอะไรมาคั่นเหมือนอย่างแบบอะซิงโครนัส ที่ต้องใช้บิตเริ่มต้น และบิตสิ้นสุดคั่นทุกๆ ตัวอักษร แต่จะมีข้อมูลเริ่มต้น ซึ่งเป็นลักษณะของบิตพิเศษที่ส่งมาเพื่อให้รู้ว่านั้นคือจุดเริ่มต้นของกลุ่มตัวอักษรที่กำลังส่งเรียงกันเข้ามา เช่น อักขระซิง (SYN character) โดยที่อักขระซิงมีรูปแบบบิต คือ 00010110 ตัวอย่างของการส่งแสดงได้ดังรูปที่ 2.17



รูปที่ 2.17 การสื่อสารแบบซิงโครนัส

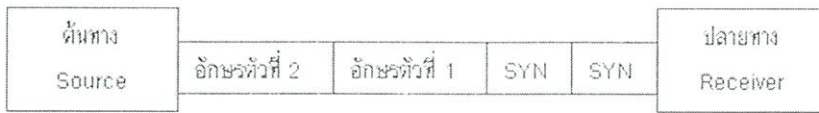
จากรูปที่ 2.17 เมื่อปลายทางตรวจพบอักขระซิง หรือ 00010110 แล้วจะทราบได้ทันทีว่าบิตที่ตามมาคือ บิตตัวอักษรแต่ละตัว แต่การใช้อักขระซิงเพียงตัวเดียวอาจเกิดข้อผิดพลาดได้ เช่น ถ้าเราส่งตัวอักษร b และตัวอักษร a ติดต่อกันไป ซึ่งตัวอักษร b มีรูปแบบบิตคือ 01100010 และตัวอักษร a มีรูปแบบบิตคือ 01100001 การส่งจะแสดงได้ดังรูปที่ 2.18



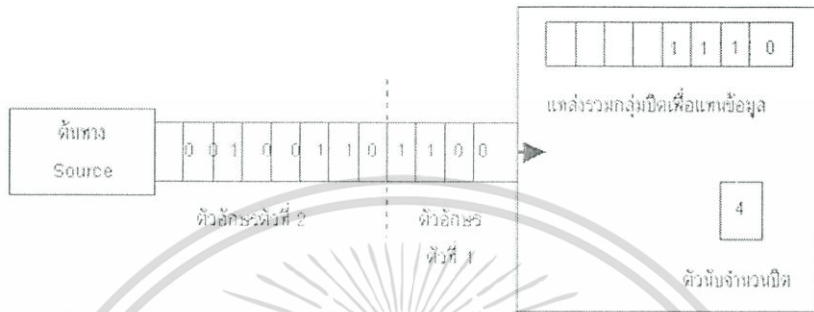
รูปที่ 2.18 ตัวอย่างการสื่อสารแบบซิงโครนัส

จะเห็นว่าเครื่องปลายทางจะตรวจพบอักขระซิงระหว่างบิตของตัวอักษร b และตัวอักษร a ทำให้เข้าใจว่าบิตต่อไปจะเป็นบิตของกลุ่มข้อมูล ซึ่งจะทำให้การรับข้อมูลนั้นเกิดผิดพลาดขึ้นได้ ดังนั้นจึงแก้ปัญหาด้วยการใช้อักขระซิง 2 ตัวต่อกันเป็นลักษณะของบิตพิเศษที่บอกให้ทราบว่า เป็นจุดเริ่มต้นบิตของกลุ่มข้อมูลตัวอย่างของการใช้อักขระซิง 2 ตัวในการสื่อสารแบบซิงโครนัส และการตัดแฉวของบิตข้อมูลออกเป็นกลุ่มทีละ 8 บิต เพื่อแทนข้อมูลแสดงได้ดังรูปที่ 2.19

เอกสารนี้เป็นเอกสารที่สงวนไว้สำหรับการใช้งานเพื่อการศึกษาเท่านั้น ไม่อนุญาตให้นำไปใช้ประโยชน์ด้านการค้า ไม่ว่ากรณีใดๆ ทั้งสิ้น อีกทั้งห้ามมิให้ดัดแปลงเนื้อหา และต้องอ้างอิงถึงเจ้าของเอกสารทุกครั้งที่มีการนำไปใช้



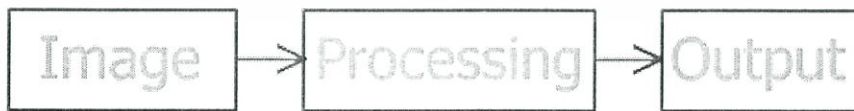
รูปที่ 2.19 ตัวอย่างการใช้อักขระซิง 2 ตัวในการสื่อสารแบบซิงโครนัส



รูปที่ 2.20 การตัดแฉวของบิตออกเป็นกลุ่มๆ ละ 8 บิต

2.6 Image Processing

การประมวลผลภาพ (Image Processing) หมายถึงการนำภาพมาประมวลผลหรือคิดคำนวณด้วยคอมพิวเตอร์เพื่อให้ได้ข้อมูลที่ต้องการ ซึ่งค่าอินพุตที่เข้าป้อนเป็นภาพ หลังจากประมวลผลเสร็จสิ้นผลลัพธ์ที่ได้สามารถเป็นภาพ หรือค่าพารามิเตอร์ต่างๆ ที่เกี่ยวข้องกับภาพอย่างใดก็ได้



รูปที่ 2.21 หลักการทำงานของ Image Processing

การทำให้ภาพมีความคมชัดมากขึ้น การกำจัดสัญญาณรบกวนออกจากภาพการแบ่งส่วนของวัตถุที่

สนใจออกมาจากภาพเพื่อนำภาพวัตถุที่ได้ไปวิเคราะห์หาข้อมูลเชิงปริมาณ เช่น ขนาด รูปร่าง และทิศ เอกสารนี้เป็นเอกสารที่สงวนไว้สำหรับการใช้งานเพื่อการศึกษาเท่านั้น ไม่นิยมนำไปใช้ประโยชน์ด้านการค้า ไม่ว่าจะกรณีใดๆ ทั้งสิ้น อีกทั้งห้ามมิให้ดัดแปลงเนื้อหา และต้องอ้างอิงถึงเจ้าของเอกสารทุกครั้งที่มีการนำไปใช้

ทางการเคลื่อนของวัตถุในภาพจากนั้นสามารถนำข้อมูลเชิงปริมาณเหล่านี้ไปวิเคราะห์ และสร้างเป็นระบบเพื่อใช้ประโยชน์ในงานด้านต่างๆ เช่น ระบบรู้จำลายนิ้วมือเพื่อตรวจสอบว่าภาพลายนิ้วมือที่มีอยู่นั้นเป็นของผู้ใด ระบบตรวจสอบคุณภาพของผลิตภัณฑ์ในกระบวนการผลิตของโรงงานอุตสาหกรรม ระบบคัดแยกเกรดหรือคุณภาพของพืชผลทางการเกษตรระบบอ่านรหัสไปรษณีย์อัตโนมัติเพื่อคัดแยกปลายทางของจดหมายที่มีจำนวนมากในแต่ละวัน โดยใช้ภาพถ่ายของรหัสไปรษณีย์ที่อยู่บนซองระบบเก็บข้อมูลรถที่เข้าและออกอาคารโดยใช้ภาพถ่ายของป้ายทะเบียนรถเพื่อประโยชน์ในด้านความปลอดภัยระบบดูแลและตรวจสอบสภาพการจราจรบนท้องถนนโดยการนับจำนวนรถบนท้องถนนในภาพถ่ายด้วยกล้องวงจรปิด ในแต่ละช่วงเวลาระบบรู้จำใบหน้าเพื่อเฝ้าระวังผู้ก่อการร้ายในอาคารสถานที่สำคัญๆ หรือในเขตคนเข้าเมือง เป็นต้น จะเห็นได้ว่าระบบเหล่านี้จำเป็นต้องมีการประมวลผลภาพจำนวนมาก และเป็นกระบวนการที่ต้องทำซ้ำๆ กันในรูปแบบเดิมเป็นส่วนใหญ่ ซึ่งงานในลักษณะเหล่านี้ หากให้มนุษย์วิเคราะห์เองมักต้องใช้เวลามาก และใช้แรงงานสูงอีกทั้งหากจำเป็นต้องวิเคราะห์ภาพเป็นจำนวนมาก ผู้วิเคราะห์ภาพเองอาจเกิดอาการล้า ส่งผลให้เกิดความผิดพลาดขึ้นได้ ดังนั้นคอมพิวเตอร์จึงมีบทบาทสำคัญในการทำหน้าที่เหล่านี้แทนมนุษย์ อีกทั้งเป็นที่ทราบโดยทั่วกันว่าคอมพิวเตอร์มีความสามารถในการคำนวณ และประมวลผลข้อมูลจำนวนมากศาลได้ในเวลาอันสั้น จึงมีประโยชน์อย่างมากในการเพิ่มประสิทธิภาพการประมวลผลภาพ และวิเคราะห์ข้อมูลที่ได้จากภาพในระบบต่างๆ

2.6.1 OpenCV

OpenCV (Open Source Computer Vision Library) ได้สร้างมาเพื่อการใช้ร่วมกับคอมพิวเตอร์ในการประยุกต์ใช้กับการประมวลผลทางรูปภาพ โดยบริษัท Intel Corporation จำกัด มีมากกว่า 2500 คำสั่งคำสั่งเหล่านี้สามารถใช้ในการตรวจจับ และจัดหมวดหมู่ข้อมูลรูปภาพ และวีดีโอได้รวมทั้งการติดตามการเคลื่อนไหวของวัตถุแยกส่วนของโมเดล 3 มิติของวัตถุต่างๆ รวมภาพหลายๆ ภาพมาเป็นภาพเดี่ยวค้นหาภาพที่คล้ายกันในฐานข้อมูลตัดแต่งภาพ และอื่นๆ มากมายใช้ได้บนระบบปฏิบัติการที่เป็น Linux และ Microsoft Windows และสามารถพัฒนาโปรแกรมได้หลากหลายภาษา ทั้งภาษา C++, C# และ Python

เอกสารนี้เป็นเอกสารที่สงวนไว้สำหรับการใช้งานเพื่อการศึกษาเท่านั้น ไม่อนุญาตให้นำไปใช้ประโยชน์ด้านการค้าไม่ว่ากรณีใดๆ ทั้งสิ้น อีกทั้งห้ามมิให้ดัดแปลงเนื้อหา และต้องอ้างอิงถึงเจ้าของเอกสารทุกครั้งที่มีการนำไปใช้



รูปที่ 2.22 Logo ของ OpenCV

2.6.2 รูปแบบสีแบบอาร์จีบี (RGB)

เป็นระบบสีพื้นฐานของคอมพิวเตอร์ที่ใช้ในการแสดงผล โดยจุดย่อยของภาพ (Pixel) จะประกอบด้วยค่าสี 3 ค่า คือ แดง (R) เขียว (G) และน้ำเงิน (B) การผสมสีทั้งสามนี้ด้วยค่าต่างๆ กัน จะก่อให้เกิดสีที่แตกต่างกัน โดยคอมพิวเตอร์จะเก็บค่าสีนี้แยกกัน โดยใช้ขนาดข้อมูล 1 ไบต์ต่อ 1 สี ทำให้ค่าของสีนั้นมีได้ 256 ระดับ และผสมได้สีทั้งหมด 16 ล้านสี สามารถแสดงโมเดลของสีได้ดังรูป 2.23



รูปที่ 2.23 สีแบบ RGB

2.6.3 รูปแบบสีแบบระดับสีเทา (Gray Scale)

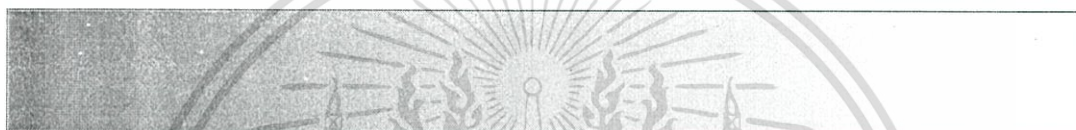
ภาพระดับสีเทา หรือ Gray Scale เป็นภาพที่ประกอบไปด้วยค่าของพิกเซลที่เป็นค่าเฉดสีของสีเทา ซึ่งได้จากระดับสีจากการเปลี่ยนสีจากสีดำไปเป็นสีขาว โดยจะถือสีขาวเป็นสีที่แก่ที่สุด และสีดำเป็นสีที่อ่อนที่สุด เนื่องจากค่าของพิกเซลที่เป็นสีขาวจะมีค่ามากกว่าค่าของสีดำ สิ่งทีภาพระดับสีเทาแตกต่างกับภาพขาว-ดำคือ ในภาพขาว-ดำ จะเก็บข้อมูลโดยมีอยู่สองสีคือ สีขาว และสีดำ แต่ในภาพระดับสีเทาจะมีความละเอียดมากกว่า กล่าวคือจะเก็บค่าของเฉดสีเทาที่อยู่ระหว่างการเปลี่ยนจากสีดำเป็นสีขาว

เอกสารนี้เป็นเอกสารที่สงวนไว้สำหรับการใช้งานเพื่อการศึกษาเท่านั้น ไม่อนุญาตให้นำไปใช้ประโยชน์ด้านการค้าไม่ว่ากรณีใดๆ ทั้งสิ้น อีกทั้งห้ามมิให้ดัดแปลงเนื้อหา และต้องอ้างอิงถึงเจ้าของเอกสารทุกครั้งที่มีการนำไปใช้

การนำตัวเลขมาแทนค่าของพิกเซลในภาพระดับสีเทานั้น ใช้เป็นเปอร์เซ็นต์คือ 0% (สีดำ) ถึง 100% (สีขาว) แต่เมื่อนำมาใช้งานร่วมกับเครื่องพิมพ์จะมีการทำงานที่ตรงกันข้าม กล่าวคือ จะต้องทำการกลับค่าของเปอร์เซ็นต์จึงจะพิมพ์ได้ตรงตามที่ต้องการ เนื่องจากการอ่านค่าของเครื่องพิมพ์คือ 0% คือ ไม่ปล่อยหมึกออกมา ซึ่งหมายความว่าส่วนนั้นจะเป็นสีขาว ส่วน 100% เครื่องพิมพ์จะปล่อยหมึกออกมา ซึ่งนั่นคือสีดำ ในทางคอมพิวเตอร์ เดิมจะมีการเก็บในลักษณะของเลขฐานสองจำนวนสี่บิต สามารถเก็บความแตกต่างได้ 16 ระดับ แต่ในปัจจุบันนี้ได้มีการเพิ่มข้อมูลที่เก็บโดยเพิ่มเป็นเลขฐานสองจำนวน 8 บิต (0-255) ซึ่งจะสามารถเก็บค่าความแตกต่างได้ 256 ระดับ แสดงได้ดังรูป 2.24

0

255

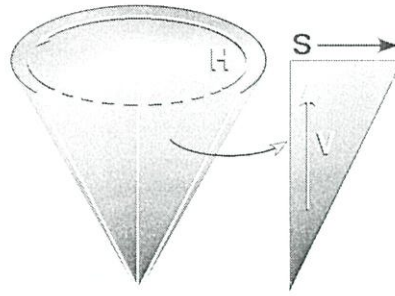


รูปที่ 2.24 สีแบบระดับสีเทา

2.6.4 ระบบสี HSV

HSV เป็นระบบสีที่อาศัยหลักการใช้ ค่าของสี (Hue, H) ค่าความเข้มของเนื้อสี หรือค่าความบริสุทธิ์ของสี (Saturation, S) และ ค่าความสว่างของสี (Value, V) ซึ่งเสนอโดย A.R. Smith (1978) โดย Hue คือ ค่าสีหลัก เช่น สีแดง สีเขียว สำน้าเงิน มีค่าอยู่ระหว่าง 0 ถึง 255 ถ้าเกิดค่าของสีมีค่าเท่ากับ 0 จะแทนให้เป็นสีแดง และเมื่อค่าของสีมีค่าเพิ่มขึ้นเรื่อยๆ สีก็จะเปลี่ยนไปตามความถี่สเปกตรัมของสีจนถึง 256 แล้วกลับมาเป็นสีแดงเช่นเดิมอีกครั้ง และความสามารถให้อยู่ในรูปองศาได้ คือ สีแดง มีค่าเท่ากับ 0 องศา สีเขียว มีค่าเท่ากับ 120 องศา และสีน้ำเงิน มีค่าเท่ากับ 240 องศา สำหรับค่าความเข้มของเนื้อสีหรือค่าความเข้มของเนื้อสี เมื่อมีค่าเพิ่มขึ้น สีจะมีความเข้มมากขึ้นเรื่อยๆ และสุดท้ายค่าความสว่างของสี เมื่อมีค่าเพิ่มมากขึ้นภาพจะมีความสว่างเพิ่มขึ้น การบอกสีในระบบ HSV สามารถแสดงได้ดังรูปที่ 2.25

เอกสารนี้เป็นเอกสารที่สงวนไว้สำหรับการใช้งานเพื่อการศึกษาเท่านั้น ไม่อนุญาตให้นำไปใช้ประโยชน์ด้านการค้าไม่ว่ากรณีใดๆ ทั้งสิ้น อีกทั้งห้ามมิให้ดัดแปลงเนื้อหา และต้องอ้างอิงถึงเจ้าของเอกสารทุกครั้งที่มีการนำไปใช้



รูปที่ 2.25 การบอกค่าสีในระดับ HSV

จะสังเกตว่าการบอกสีในระบบ HSV จะมีความคงทนต่อการเปลี่ยนแปลงของแสงในสภาพแวดล้อมมากกว่าการใช้สีในระบบ RGB เนื่องจากหากภาพที่ความสว่างมาก ค่าของสี และค่าความเข้มของเนื้อสีจะไม่มีการเปลี่ยนแปลง มีเพียงค่าความสว่างของสีเปลี่ยนแปลงเพียงค่าเดียวเท่านั้น

2.6.5 การแปลงภาพแบบ RGB ไปสู่ ภาพแบบระดับสีเทา

ในการทำงานของไลบรารีโอเพนซีวี เมื่อต้องการจะทำการเปลี่ยนรูปแบบสีของภาพจาก RGB ไปสู่ภาพระดับสีเทา จะมีการเรียกการทำงานของฟังก์ชัน `cvtColor` โดยการทำงานในฟังก์ชันนี้จะอ่านค่าที่ละพิกเซลแล้วทำการคำนวณเพื่อให้ได้ค่าใหม่ที่อยู่ในช่วง 0 - 255 ซึ่งการคำนวณจะเป็นดังสมการที่ (2.7)

$$Y = (0.299 \times R) + (0.587 \times G) + (0.114 \times B) \quad (2.7)$$

โดยที่ Y คือ ค่าผลลัพธ์ในช่วง 0 - 255 ตัวแปร R, G และ B คือ ค่าของสีแดง สีเขียว และสีน้ำเงินตามลำดับ

2.6.6 การแปลงระบบสี RGB เป็น HSV

เนื่องจากภาพที่นำมาใช้ในการประมวลผลนั้นเก็บค่าสีในระบบ RGB ซึ่งค่าสีที่อยู่ในระบบ RGB นั้นจะประกอบไปด้วยค่าสี ค่าแสง และค่าความสว่าง ซึ่งจะมีความซับซ้อนในการแยกแยะสี เนื่องจากมีค่าแสงและค่าความสว่างผสมอยู่ด้วย ดังนั้นในงานวิจัยนี้จึงได้ทำการแปลงระบบสีแบบ RGB ให้เป็นแบบ HSV เพื่อให้สามารถแสดงความสัมพันธ์ได้ดังสมการที่ (2.8), สมการที่ (2.9) และสมการที่ (2.10)

โดยที่

R G B แทนค่าของสีในระบบ RGB มีค่าระหว่าง 0.0 – 1.0

เอกสารนี้เป็นเอกสารที่สงวนไว้สำหรับการใช้งานเพื่อการศึกษาเท่านั้น ไม่อนุญาตให้นำไปใช้ประโยชน์ด้านการค้าไม่ว่ากรณีใดๆ ทั้งสิ้น อีกทั้งห้ามมิให้ดัดแปลงเนื้อหา และต้องอ้างอิงถึงเจ้าของเอกสารทุกครั้งที่มีการนำไปใช้

H S V แทนค่าของสีในระบบ HSV

max = ค่าสูงสุดใน (R, G, B)

min = ค่าต่ำสุดใน (R, G, B)

และ

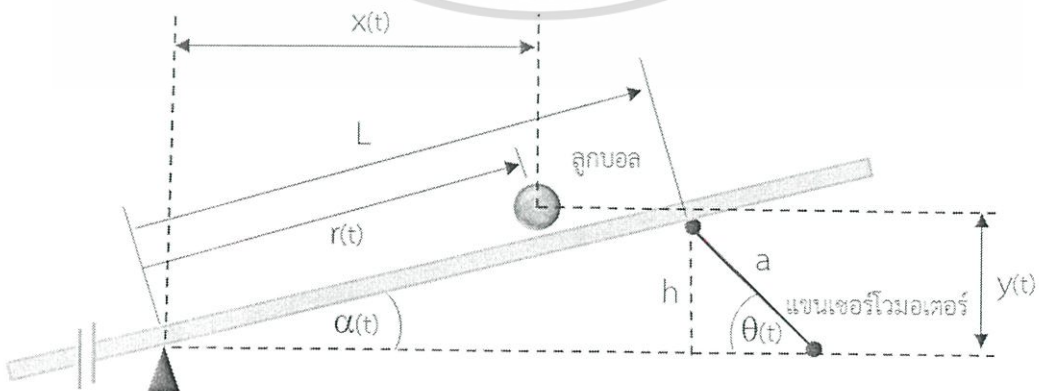
$$H = \begin{cases} 60 \times \frac{G-B}{\max-\min} & \text{เมื่อ } \max = R \\ 60 \times \frac{B-R}{\max-\min} + 120 & \text{เมื่อ } \max = G \\ 60 \times \frac{R-G}{\max-\min} + 240 & \text{เมื่อ } \max = B \end{cases} \quad (2.8)$$

$$S = \frac{\max-\min}{\max} \times 100 \quad (2.9)$$

$$V = \max \times 100 \quad (2.10)$$

2.7 แบบจำลองทางคณิตศาสตร์ของระบบควบคุมตำแหน่งลูกบอลบนระนาบ

ระบบควบคุมตำแหน่งลูกบอลบนระนาบประกอบไปด้วย ลูกบอล และแผ่นระนาบ โดยลูกบอลสามารถเคลื่อนที่ไปมาบนแผ่นระนาบได้ 2 ทิศทาง คือ ในแนวตั้ง (แกน Y) และแนวนอน (แกน X) โดยตำแหน่งลูกบอลจะมีความสัมพันธ์กับมุมของแผ่นระนาบ ในการเขียนแบบจำลองทางคณิตศาสตร์จะพิจารณาลักษณะการเคลื่อนที่ในแนวแกนเดียว เนื่องจากการเคลื่อนที่ในของทั้งสองแนวแกนมีลักษณะเหมือนกันทุกประการ



รูปที่ 2.26 จำลองการเคลื่อนที่ของลูกบอลบนแผ่นระนาบ

เอกสารนี้เป็นเอกสารที่สงวนไว้สำหรับการใช้งานเพื่อการศึกษาเท่านั้น ไม่นอญญาตให้นำไปใช้ประโยชน์ด้านการค้าไม่ว่ากรณีใดๆ ทั้งสิ้น อีกทั้งห้ามมิให้ดัดแปลงเนื้อหา และต้องอ้างอิงถึงเจ้าของเอกสารทุกครั้งที่มีการนำไปใช้

การพิจารณาระบบการเคลื่อนที่นี้ จะถือว่าลูกบอลกลิ้งด้วยไม่มีการไถลละไม่มีแรงเสียดทานในการกลิ้งระหว่างลูกบอล และแผ่นระนาบ ตัวแปร และค่าคงตัวต่างๆ แสดงดังตารางที่ 2.3

ตารางที่ 2.3 ตัวแปร และค่าคงตัวในแบบจำลองระบบควบคุมตำแหน่งลูกบอลบนระนาบ

ชื่อตัวแปร และค่าคงตัว	ค่า	หน่วย
1. มวลลูกบอล(m)	0.006	kg
2. รัศมีลูกบอล	0.0055	m
3. รัศมีแกนเซอร์โวมอเตอร์	0.015	m
4. ความเร่งเนื่องจากแรงโน้มถ่วงโลก (g)	9.81	m/s ²
5. โมเมนต์ความเฉื่อยของลูกบอล (J)	7.26×10^{-3}	kg·m ²
6. ความยาวของแกนเซอร์โวมอเตอร์ (a)	0.015	m
7. ระยะบนระนาบจากจุดหมุนกับปลายแกนเซอร์โวมอเตอร์	≈ 0.145	m
8. ตำแหน่งของลูกบอล (r)	-	m
9. มุมของแผ่นระนาบ (α)	-	เรเดียน
10. มุมของเซอร์โวมอเตอร์ (θ)	-	เรเดียน

จากระบบข้างต้น สามารถเขียนเป็นสมการของลากรางจ์ (Lagrangian) ได้ดังนี้

$$L = K - U \quad (2.11)$$

$$K = \frac{1}{2} J \dot{\theta}_b + \frac{1}{2} m v_b^2 \quad (2.12)$$

เนื่องจาก

$$\dot{\theta}_b = \frac{\dot{r}}{d} \quad (2.13)$$

และ

$$v_b^2 = x_b^2 + y_b^2 \quad (2.14)$$

เอกสารนี้เป็นเอกสารที่สงวนไว้สำหรับการใช้งานเพื่อการศึกษาเท่านั้น ไม่อนุญาตให้นำไปใช้ประโยชน์ด้านการค้าไม่ว่ากรณีใดๆ ทั้งสิ้น อีกทั้งห้ามมิให้ดัดแปลงเนื้อหา และต้องอ้างอิงถึงเจ้าของเอกสารทุกครั้งที่มีการนำไปใช้

$$x = r \cos \alpha \quad (2.15)$$

$$\dot{x} = \dot{r} \cos \alpha - r \dot{\alpha} \sin \alpha \quad (2.16)$$

$$\dot{x}^2 = \dot{r}^2 \cos^2 \alpha - 2r\dot{r} \sin \alpha \cos \alpha + r^2 \dot{\alpha}^2 \sin^2 \alpha \quad (2.17)$$

$$y = r \sin \alpha \quad (2.18)$$

$$\dot{y} = \dot{r} \sin \alpha + r \dot{\alpha} \cos \alpha \quad (2.19)$$

$$\dot{y}^2 = \dot{r}^2 \sin^2 \alpha + 2r\dot{r} \sin \alpha \cos \alpha + r^2 \dot{\alpha}^2 \cos^2 \alpha \quad (2.20)$$

แทนสมการที่ (2.16) และสมการที่ (2.20) ลงในสมการที่ (2.14) จะได้

$$v_b^2 = \dot{r}^2 + r^2 \dot{\alpha}^2 \quad (2.21)$$

แทนสมการที่ (2.13) และสมการที่ (2.21) ลงในสมการที่ (2.12) จะได้

$$K = \frac{1}{2} \left(\frac{J}{d^2} + m \right) \dot{r}^2 + \frac{1}{2} m r^2 \dot{\alpha}^2 \quad (2.22)$$

พลังงานศักย์ของลูกบอลมีค่าเท่ากับ

$$U = mgr \sin \alpha \quad (2.23)$$

แทนสมการที่ (2.22) และสมการที่ (2.23) ลงในสมการที่ (2.11) จะได้

$$L = \frac{1}{2} \left(\frac{J}{d^2} + m \right) \dot{r}^2 + \frac{1}{2} m r^2 \dot{\alpha}^2 - mgr \sin \alpha \quad (2.24)$$

ระบบควบคุมตำแหน่งลูกบอลบนระนาบเป็นระบบแบบ 1 Degree of Freedom จากสมการออยเลอร์-ลากรางจ์ หรือ สมการของลากรางจ์ที่ใช้อธิบายการเคลื่อนที่ต่างๆ

$$\frac{d}{dt} \left(\frac{\partial L}{\partial \dot{r}} \right) - \frac{\partial L}{\partial r} = 0 \quad (2.25)$$

แทนสมการที่ (2.24) ในสมการที่ (2.25) จะได้

$$\left(\frac{J}{d^2} + m \right) \ddot{r} + mg \sin \alpha - m r \dot{\alpha}^2 = 0 \quad (2.26)$$

ทำการประมาณเชิงเส้นสมการที่ (2.26) โดยพิจารณาที่ α เข้าใกล้ 0 จะได้

$$\left(\frac{J}{d^2} + m \right) \ddot{r} + mg \alpha = 0 \quad (2.27)$$

เอกสารนี้เป็นเอกสารที่สงวนไว้สำหรับการใช้งานเพื่อการศึกษาเท่านั้น ไม่อนุญาตให้นำไปใช้ประโยชน์ด้านการค้าไม่ว่ากรณีใดๆ ทั้งสิ้น อีกทั้งห้ามมิให้ดัดแปลงเนื้อหา และต้องอ้างอิงถึงเจ้าของเอกสารทุกครั้งที่มีการนำไปใช้

โดยความสัมพันธ์ระหว่างมุมของระนาบกับมุมของเซอร์โวมอเตอร์คือ

$$\sin \alpha = \frac{h}{L} \quad (2.28)$$

$$\sin \alpha = \frac{a \sin \theta}{L} \quad (2.29)$$

เมื่อพิจารณาที่ α และ θ มีขนาดเข้าใกล้ศูนย์ จะได้

$$\alpha = \frac{a}{L} \theta \quad (2.30)$$

แทนค่าสมการที่ (2.30) ในสมการที่ (2.17) จะได้

$$\left(\frac{J}{d^2} + m \right) \ddot{\theta} + \frac{mga}{L} \theta = 0 \quad (2.31)$$

ทำการแปลงเป็นลาปลาซ

$$\left(\frac{J}{d^2} + m \right) R(s)s^2 + \frac{mga}{L} \Theta(s) = 0 \quad (2.32)$$

ซึ่งเขียนในรูปของฟังก์ชันถ่ายโอนได้เป็น

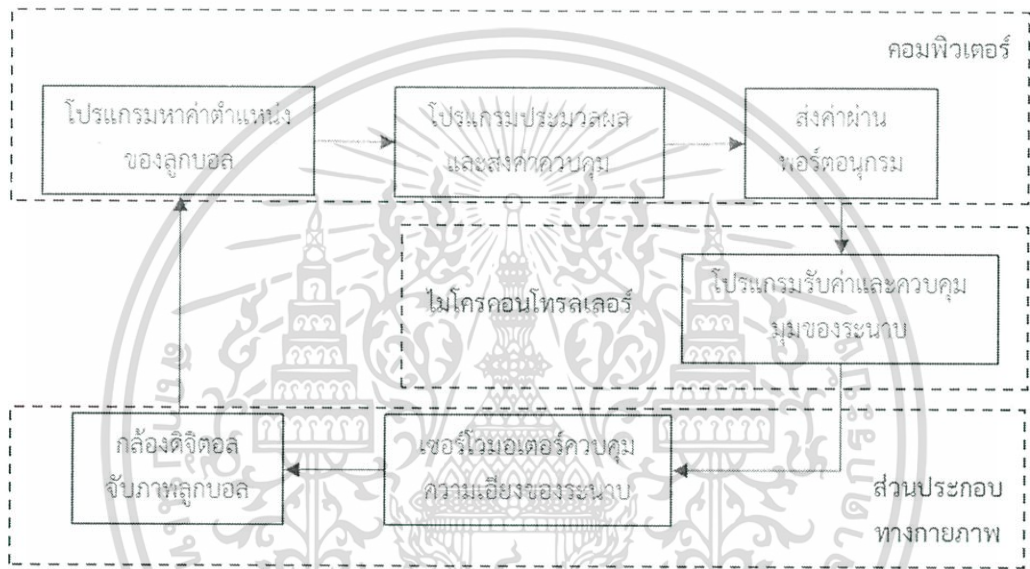
$$P(s) = \frac{R(s)}{\Theta(s)} = - \frac{mga}{L \cdot \left(\frac{J}{d^2} + m \right) s^2} \left[\frac{m}{rad} \right] \quad (2.33)$$

พบว่า ตำแหน่งของลูกบอลมีความสัมพันธ์กับค่ามุมของแผ่นระนาบที่เปลี่ยนไป ซึ่งการควบคุมมุมของแผ่นระนาบจะผ่านการหมุนเซอร์โวมอเตอร์ โดยความสัมพันธ์ของเซอร์โวมอเตอร์ และมุมของแผ่นระนาบกับมุนั้นจะกล่าวในบทถัดไป

บทที่ 3

หลักการออกแบบ

ระบบควบคุมตำแหน่งลูกบอลบนระนาบนั้น ประกอบด้วยส่วนสำคัญทั้งหมด 3 ระบบ การออกแบบรายละเอียดย่อยในแต่ละระบบนั้น จำเป็นต้องเข้าใจถึงภาพรวมของระบบควบคุมทั้งหมดก่อน รวมถึงความสัมพันธ์ระหว่างองค์ประกอบต่างๆ ของแต่ละระบบด้วย

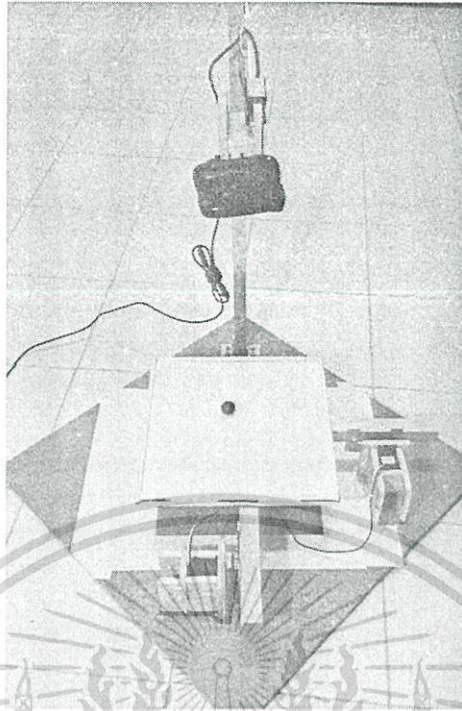


รูปที่ 3.1 การทำงานของระบบควบคุมตำแหน่งบนระนาบ

ซึ่งหลักการการทำงานของระบบควบคุมตำแหน่งลูกบอลบนระนาบในภาพรวม สามารถอธิบายได้ดังรูปที่ 3.1 ซึ่งจะมีประกอบด้วยส่วนสำคัญดังนี้

- โครงสร้างทางกายภาพ
- คอมพิวเตอร์
- ไมโครคอนโทรลเลอร์

เอกสารนี้เป็นเอกสารที่สงวนไว้สำหรับการใช้งานเพื่อการศึกษาเท่านั้น ไม่อนุญาตให้นำไปใช้ประโยชน์ด้านการค้าไม่ว่ากรณีใดๆ ทั้งสิ้น อีกทั้งห้ามมิให้ดัดแปลงเนื้อหา และต้องอ้างอิงถึงเจ้าของเอกสารทุกครั้งที่มีการนำไปใช้



รูปที่ 3.2 โครงสร้างของระบบควบคุมตำแหน่งลูกบอลบนระนาบ

3.1 โครงสร้างทางกายภาพของระบบ

โครงสร้างทางกายภาพของระบบควบคุมตำแหน่งลูกบอลบนระนาบนั้น ประกอบด้วยส่วนของแผ่นระนาบและฐานที่ทำจากไม้อัดหนา 9 มม. ติดสติ๊กเกอร์สีขาวทับที่ผิวเพื่อเพิ่มการความสว่างของแสง ซึ่งจะช่วยให้กล้องทำงานได้เร็วขึ้น มีแท่งเหล็กปลายแหลมมนสำหรับรองแผ่นระนาบเพื่อเป็นจุดศูนย์กลางในการหมุน ใช้ดีซีเซอร์โวมอเตอร์ 2 ตัวในการควบคุมความเอียงของระนาบ ดังแสดงไว้ในรูปที่ 3.2

3.1.1 ลูกบอล

การเลือกใช้ลูกบอลนั้นจำเป็นต้องเลือกให้เหมาะกับการทำงานของระบบ โดยเลือกใช้ลูกบอลที่มีผิวเรียบ และแข็ง เพื่อให้การกลิ้งของลูกบอลเป็นไปตามสมการถ่ายโอนที่ออกแบบไว้มากที่สุด น้ำหนักของลูกบอลประมาณ 6 กรัม การใช้ลูกบอลที่มีน้ำหนักเบาจะลดความหน่วงในการเคลื่อน ซึ่งจะช่วยให้ลูกบอลเปลี่ยนความเร็ว และทิศในการเคลื่อนที่ได้เร็วขึ้น และทำให้เซอร์โวมอเตอร์รับภาระแรงบิดน้อยลง สีของลูกบอลเลือกใช้เป็นสีดำด้าน เพื่อให้มีค่าความอึมตัวของแสงแตกต่างจากพื้นหลังที่เป็นสีขาวมากที่สุด ซึ่งจะทำให้ง่ายในการประมวลผลด้วยภาพ ลูกบอลมีเส้นผ่าศูนย์กลาง 11 มม.

เอกสารนี้เป็นเอกสารที่สงวนไว้สำหรับการใช้งานเพื่อการศึกษาเท่านั้น ไม่อนุญาตให้นำไปใช้ประโยชน์ด้านการค้าไม่ว่ากรณีใดๆ ทั้งสิ้น อีกทั้งห้ามมิให้ดัดแปลงเนื้อหา และต้องอ้างอิงถึงเจ้าของเอกสารทุกครั้งที่มีการนำไปใช้

3.1.2 กล้อง

กล้องเป็นอุปกรณ์สำหรับจับภาพการเคลื่อนที่ของลูกเพื่อหาตำแหน่ง ถือเป็นเซนเซอร์ของระบบในการทำให้ระบบกลายเป็นระบบวงปิด กล้องที่ใช้เป็นกล้องดิจิทัลเว็บแคมทั่วไป โดยหลักการเลือกใช้จะพิจารณาคุณสมบัติสำคัญ 2 ประการ คือ Frame Rate และ Resolution โดยค่า Frame Rate จะบอกถึงจำนวนภาพที่กล้องสามารถบันทึกได้ภายใน 1 วินาที หากค่า Frame Rate สูงจะช่วยให้สามารถสุ่มค่าข้อมูลได้สูงขึ้นนั่นเอง ส่วนค่า Resolution จะบอกถึงความละเอียดของภาพที่บันทึก ซึ่งจะส่งผลต่อความละเอียดในการหาตำแหน่งของวัตถุ ค่าความละเอียดที่สูงจะทำให้ความคลาดเคลื่อนมีค่าลดลง โดยกล้องที่ใช้ นั้น มีค่า Frame Rate เท่ากับ 30 fps (Frame Per Second) และมีค่า Resolution เท่ากับ 640x480 Pixels (ที่อัตราส่วนภาพ 4 : 3)

3.1.3 เซอร์โวมอเตอร์

เซอร์โวมอเตอร์เป็นอุปกรณ์สำหรับควบคุมองศาของแผ่นระนาบ เพื่อให้ลูกบอลเคลื่อนที่ไปยังตำแหน่งที่ต้องการ โดยเซอร์โวมอเตอร์เป็นมอเตอร์ที่สามารถควบคุมองศาการหมุนได้ โดยการปรับความกว้างของพัลส์ของสัญญาณควบคุมที่จ่ายให้เซอร์โวมอเตอร์ รวมทั้งมีวงจรขับเคลื่อนอยู่แล้วภายใน จึงไม่จำเป็นต้องสร้างวงจรขับเคลื่อนเอง สิ่งที่ต้องพิจารณาในการเลือกใช้คือ ความเร็วในการหมุน และทอร์คของเซอร์โวมอเตอร์ โดยเซอร์โวมอเตอร์จะต้องมีความเร็วที่มากพอที่จะตอบสนองการทำงานในแต่ละรอบได้ และต้องมีค่าทอร์คมากพอที่ยกกระนาบที่ลูกบอลกำลังอยู่ให้เอียงได้ เซอร์โวมอเตอร์ที่เลือกใช้ในที่นี้เป็นเซอร์โวมอเตอร์แบบกระแสตรงขนาด 4.8 โวลต์ ถึง 6.0 โวลต์ ความเร็วในการหมุนอยู่ที่ประมาณ 0.005 วินาที/องศา (ที่แรงดัน 4.8 โวลต์) และมีค่าทอร์คเท่ากับ 0.024 กิโลกรัม/เมตร

3.2 คอมพิวเตอร์

คอมพิวเตอร์ถือเป็นส่วนประมวลผลหลักของระบบนี้ โดยภาพที่บันทึกได้จากกล้องดิจิทัลจะถูกส่งมายังคอมพิวเตอร์เพื่อใช้หาตำแหน่งของลูกบอล จากนั้นจะทำการคำนวณหาองศาของเซอร์โวมอเตอร์ในการควบคุมความเอียงของแผ่นระนาบ และส่งค่าไปยังผ่านพอร์ตอนุกรมไปยังไมโครคอนโทรลเลอร์อีกที ในส่วนของการเขียนโปรแกรมนั้น ต้องคำนึงรูปแบบการประมวลผลที่เป็นแบบดิจิทัล หรือก็คือ การดำเนินการบนเวลาดีสครีต ซึ่งต่างจากระบบในความเป็นจริงที่เป็นระบบเวลาต่อเนื่อง เพื่อให้ระบบควบคุมทำงานได้อย่างมีประสิทธิภาพ โปรแกรมจำเป็นที่จะต้องทำงานได้เร็วพอในแต่ละรอบการทำงาน เพื่อที่จะ

เอกสารนี้เป็นเอกสารที่สงวนไว้สำหรับการใช้งานเพื่อการศึกษาเท่านั้น ไม่อนุญาตให้นำไปใช้ประโยชน์ด้านการค้าไม่ว่ากรณีใดๆ ทั้งสิ้น อีกทั้งห้ามมิให้ดัดแปลงเนื้อหา และต้องอ้างอิงถึงเจ้าของเอกสารทุกครั้งที่มีการนำไปใช้

สามารถสุ่มค่าได้มากพอนั่นเอง โดยในโครงงานนี้โปรแกรมที่ใช้เขียนขึ้นด้วยภาษา C++ ซึ่งเป็นภาษาที่ใช้
งานง่าย รวมทั้งยังสามารถใช้งานร่วมกับไลบรารีฟังก์ชันของ OpenCV ในการประมวลผลด้วยภาพได้ด้วย
โปรแกรมจะประกอบด้วยส่วนการทำงานหลักๆ 4 ส่วน ดังต่อไปนี้

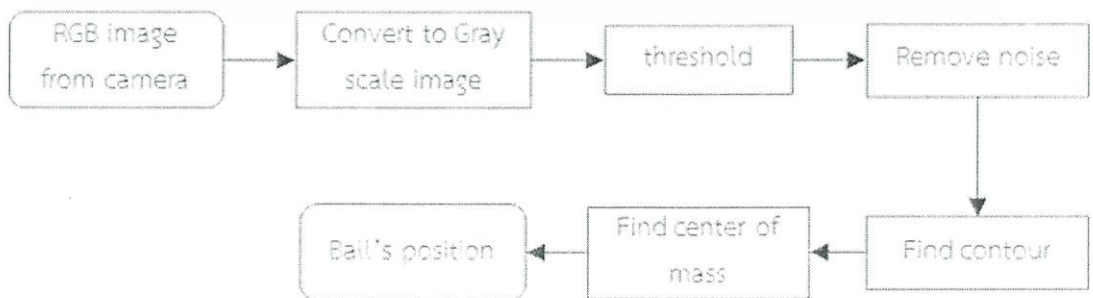
- การประมวลผลภาพ
- ตัวควบคุม PID
- การคำนวณมุมของเซอร์โวมอเตอร์
- การส่งค่าผ่านพอร์ตอนุกรม

3.2.1 การประมวลผลภาพ

ในโครงงานนี้จะใช้กล้องดิจิทัลเป็นเซนเซอร์ในการตรวจจับตำแหน่งของลูกบอล เพื่อใช้ในการ
ป้อนกลับไป ซึ่งหลักการทำงานของกล้องดิจิทัลนั้นได้กล่าวไว้แล้วในบทที่ 2

ภาพที่ใช้ในการตรวจหาตำแหน่งของลูกบอลที่ใช้ในโครงงานนี้จะเป็นภาพในปริภูมิสีแบบ Gray
Scale ซึ่งเป็นเมทริกซ์ขนาด $M \times N$ จำนวน 1 เมทริกซ์ โดยแต่ละตำแหน่งในเมทริกซ์ จะเก็บค่าความเข้ม
แสงของภาพ โดยมีระดับความละเอียดขึ้นอยู่กับจำนวนบิตของที่กำหนด เช่น หากกำหนดเป็น 8 บิต จะ
เก็บความเข้มแสงได้ 256 ระดับ โดยสีดำคือ 0 และสีขาวคือ 255 เป็นต้น จากระบบทางกายภาพที่
ได้กล่าวไปข้างต้น ภาพที่จะได้จากกล้องดิจิทัลจะเป็นภาพลูกบอลสีดำ (ความเข้มแสงน้อย) ที่มีพื้นหลัง
เป็นสีขาว (ความเข้มแสงมาก) ดังนั้นจึงสามารถระบุตำแหน่งของลูกบอลได้จากตำแหน่งของกลุ่มข้อมูลที่มี
ความเข้มแสงน้อยนั่นเอง

การหาตำแหน่งของกลุ่มข้อมูลที่ต้องการนั้น จะใช้ฟังก์ชันต่างๆ ของ OpenCV ในการประมวลผล
ซึ่งขั้นตอนในการประมวลผลภาพได้แสดงไว้ดังรูปที่ 3.3



รูปที่ 3.3 ขั้นตอนการประมวลผลภาพเพื่อระบุตำแหน่งของลูกบอลบนระนาบ

เอกสารนี้เป็นเอกสารที่สงวนไว้สำหรับใช้เพื่อการศึกษานี้เท่านั้น เมื่ออนุญาตให้นำไปใช้ประโยชน์ด้านการค้า
ไม่ว่ากรณีใดๆ ทั้งสิ้น อีกทั้งห้ามมิให้ดัดแปลงเนื้อหา และต้องอ้างอิงถึงเจ้าของเอกสารทุกครั้งที่มีการนำไปใช้

โดยค่าที่ได้ออกมาจะเป็นค่าตำแหน่งของพิกเซลบนภาพ ส่วนฟังก์ชันต่างๆ และการใช้งานได้แสดงไว้ในภาคผนวก

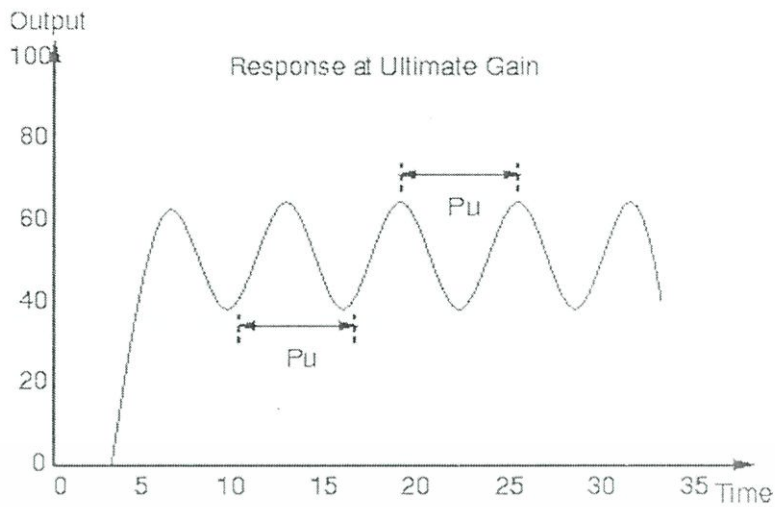
3.2.2 ตัวควบคุม PID

เนื่องจากระบบควบคุมตำแหน่งลูกบอลบนระนาบนั้น หากทำงานเป็นระบบวงเปิดจะไม่สามารถควบคุมตำแหน่งของลูกบอลได้เลย แต่ถึงจะให้ระบบทำงานเป็นระบบวงปิด (โดยไม่เพิ่มตัวควบคุม) ระบบก็ยังไม่สามารถทำงานได้ตามที่ต้องการ ดังนั้นจึงจำเป็นต้องมีตัวควบคุมเข้ามาเพื่อทำให้ระบบวงปิดสามารถทำงานได้ตามเป้าหมาย และหนึ่งในตัวควบคุมที่นิยมใช้กันมากที่สุดก็คือ ตัวควบคุมแบบ PID เนื่องจากมีการกำหนดค่าพารามิเตอร์ต่างๆ ที่ไม่ซับซ้อน เข้าใจง่าย และมีประสิทธิภาพสูง

การปรับค่าตัวควบคุม PID นั้นมีด้วยกันหลายวิธี วิธีหนึ่งที่ใช้กันอย่างแพร่หลายคือ การปรับค่าแบบ Ultimate Method

3.2.2.1 Ultimate Method

วิธีการปรับค่าของตัวควบคุมแบบ Ultimate Method นั้นคิดค้นขึ้นโดย Ziegler และ Nicoles ในปี 1942 ที่เรียกว่า Ultimate เพราะว่าวิธีนี้จะใช้ Ultimate Gain ซึ่งเป็นค่า Gain สูงสุดก่อนที่ระบบจะไม่เสถียร (หรือก็คืออยู่ในสถานะเสถียรวิกฤต) และ Ultimate Period ซึ่งเป็นคาบเวลาสุดท้ายของผลตอบสนองของระบบก่อนที่จะเข้าสู่สถานะไม่เสถียร (นั่นคือ คาบเวลาของผลตอบสนองของระบบภายใต้ Gain สูงสุดนั่นเอง) มาใช้หาค่าต่างๆ ของตัวควบคุม โดยรูปที่ 3.4 แสดงถึงผลตอบสนองของระบบวงปิด ที่มีการควบคุมแบบ Proportional โดยที่ค่า K_u คือ ค่า Ultimate Gain ที่ทำให้เอาต์พุตของระบบเกิดการ Oscillate อย่างต่อเนื่อง และคาบเวลาของผลตอบสนองนี้คือ P_u (Ultimate Period)



รูปที่ 3.4 กราฟผลตอบสนองของระบบวงปิดเมื่อใช้ Ultimate Gain

Ziegler และ Nicoles ได้กำหนดความสัมพันธ์ในการปรับแต่งค่าต่างๆ ของตัวควบคุมไว้ดังตารางที่ 3.1

ตารางที่ 3.1 การกำหนดค่าต่างๆ ของตัวควบคุมจากวิธีการของผลตอบสนองของระบบวงปิดด้วยวิธี Ultimate Method

ชนิดของตัวควบคุม	ค่าที่กำหนด		
	K_p	T_i	T_d
P	$0.50 K_u$	-	-
PI	$0.45 K_u$	$P_u/1.2$	-
PD	$0.60 K_u$	-	$P_u/8.0$
PID	$0.60 K_u$	$0.50 P_u$	$P_u/1.2$

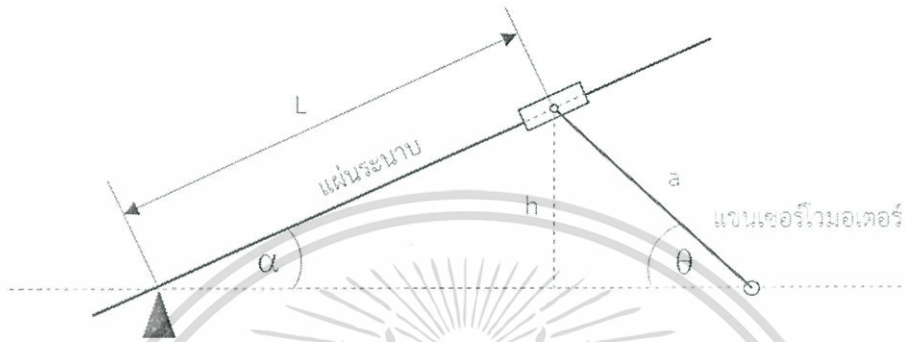
โดยผลตอบสนองที่เกิดจากตัวควบคุมที่ปรับด้วยวิธี Ultimate Method จะมีลักษณะส่ายกลับไปกลับมา แต่จะมีค่าพุ่งเกิน (Overshoot) ลดลงทุกครั้ง โดยจะลดลงเหลือประมาณ 1 ใน 4 ของค่าพุ่งเกินก่อนหน้า และจะลู่เข้าสู่ค่าเป้าหมายในที่สุด การปรับตัวควบคุมแบบ PID ด้วยวิธีนี้อาจไม่ได้ผลตอบสนองที่มีประสิทธิภาพตามที่ต้องการ ดังนั้นเพื่อให้ได้ผลตอบสนองที่น่าพอใจ จึงจำเป็นต้องทดลองปรับด้วย

เอกสารนี้เป็นเอกสารที่สงวนไว้สำหรับการใช้งานเพื่อการศึกษาเท่านั้น ไม่อนุญาตให้นำไปใช้ประโยชน์ด้านการค้าไม่ว่ากรณีใดๆ ทั้งสิ้น อีกทั้งห้ามมิให้ดัดแปลงเนื้อหา และต้องอ้างอิงถึงเจ้าของเอกสารทุกครั้งที่มีการนำไปใช้

ตัวเองไปช้าไปเรื่อยๆ จนกว่าจะได้ผลตอบสนองที่มีประสิทธิภาพตามต้องการ Ultimate Method เป็นเพียงวิธีที่ทำให้สามารถประมาณค่าตัวแปรของตัวควบคุมที่สามารถทำให้ระบบมีเสถียรภาพเท่านั้น

3.2.3 การคำนวณมุมของเซอร์โวมอเตอร์

มุมของระนาบ และมุมของเซอร์โวมอเตอร์ มีความสัมพันธ์กันดังรูปที่ 3.5



รูปที่ 3.5 ความสัมพันธ์ระหว่างมุมของระนาบ และมุมของเซอร์โวมอเตอร์

เนื่องจากระบบนี้จำกัดให้มุมของระนาบมีค่าไม่เกิน ± 2 องศา ส่งผลให้ค่า L มีการเปลี่ยนแปลงน้อยมากๆ จึงสามารถประมาณให้ค่า L เป็นค่าคงตัวได้ จากรูปที่ 3.5 สามารถหาค่ามุมของเซอร์โวดังนี้

$$h = L \sin \alpha \quad (3.1)$$

$$\theta = \sin^{-1} \left(\frac{h}{a} \right) \quad (3.2)$$

แทนค่าสมการที่ (3.2) ในสมการที่ (3.1)

$$\theta = \sin^{-1} \left(\frac{L \sin \alpha}{a} \right) \quad (3.3)$$

โดยในระบบจริง ตัวแปร L มีค่าเท่ากับ 145 มม. เมื่อลองแทนค่า α เท่ากับ ± 2 ลงในสมการที่ (3.3) จะได้ว่าเซอร์โวมอเตอร์จะหมุนด้วยมุมไม่เกิน ± 20 องศา

3.2.4 การส่งค่าผ่านพอร์ตอนุกรม

คอมพิวเตอร์ และไมโครคอนโทรลเลอร์จะสื่อสารกันผ่านพอร์ตอนุกรม ซึ่งในที่นี้คือ พอร์ตแบบ USB เนื่องจากส่วนของไมโครคอนโทรลเลอร์ที่ใช้นั้นจะรับค่าจากพอร์ตอนุกรมในรูปของข้อมูลชนิดตัวอักษร

เอกสารนี้เป็นเอกสารที่สงวนไว้สำหรับการใช้งานเพื่อการศึกษาเท่านั้น ไม่อนุญาตให้นำไปใช้ประโยชน์ด้านการค้า ไม่ว่าจะกรณีใดๆ ทั้งสิ้น อีกทั้งห้ามมิให้ดัดแปลงเนื้อหา และต้องอ้างอิงถึงเจ้าของเอกสารทุกครั้งที่มีการนำไปใช้

(Character) เท่านั้น ดังนั้นในส่วนของโปรแกรมคอมพิวเตอร์จะต้องแปลงชนิดข้อมูลที่ส่งเสียก่อน ซึ่งค่ามุมของเซอร์โวมอเตอร์นั้นเป็นชนิดตัวเลขจำนวนเต็ม (Integer) โดยจะถือให้เลข 1 หลักเป็น 1 ตัวอักษร

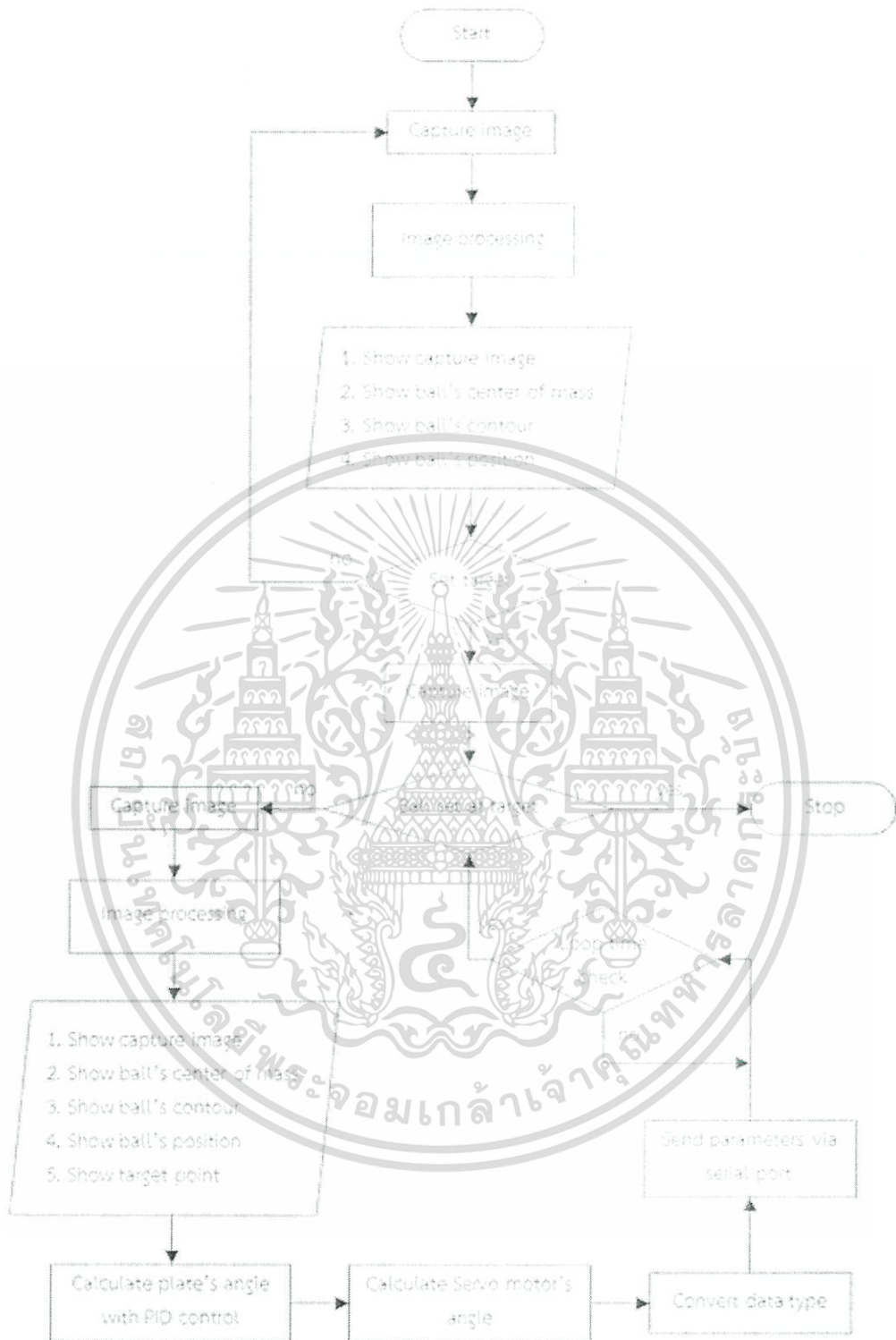
3.3 ไมโครคอนโทรลเลอร์

ไมโครคอนโทรลเลอร์เป็นอุปกรณ์สำหรับสร้างสัญญาณในการสั่งงานเซอร์โวมอเตอร์เพื่อใช้ควบคุมองศาของระนาบ หน้าหลักมีเพียงแคร์รับค่าจากคอมพิวเตอร์ผ่านพอร์ตอนุกรม จากนั้นจึงส่งสัญญาณพัลส์ไปยังเซอร์โวมอเตอร์

ไฟล์ชาร์ตแสดงการทำงานของส่วนคอมพิวเตอร์ และส่วนไมโครคอนโทรลเลอร์ได้แสดงไว้ดังรูปที่ 3.6 และรูปที่ 3.7

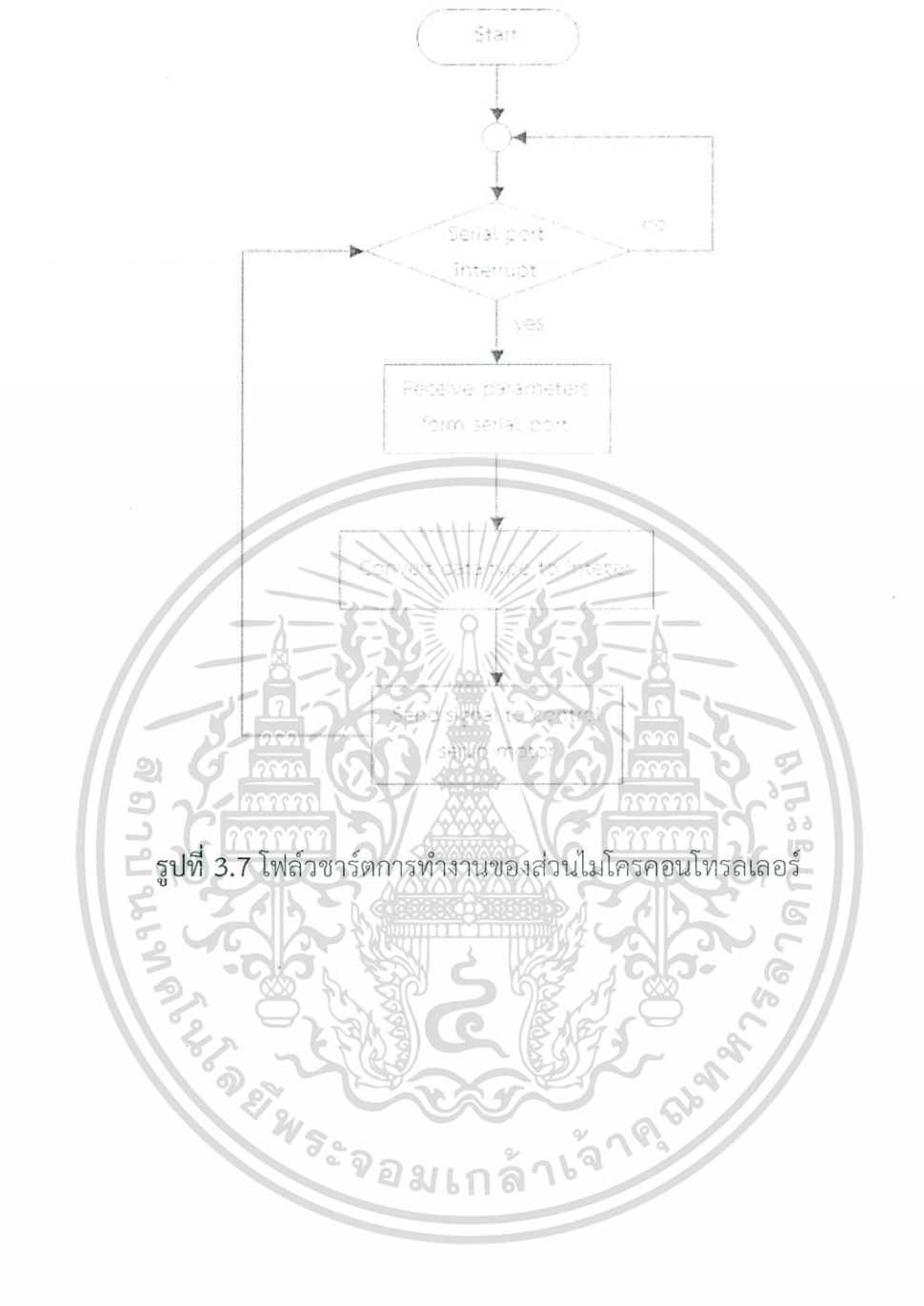


เอกสารนี้เป็นเอกสารที่สงวนไว้สำหรับการใช้งานเพื่อการศึกษาเท่านั้น ไม่อนุญาตให้นำไปใช้ประโยชน์ด้านการค้าไม่ว่ากรณีใดๆ ทั้งสิ้น อีกทั้งห้ามมิให้ดัดแปลงเนื้อหา และต้องอ้างอิงถึงเจ้าของเอกสารทุกครั้งที่มีการนำไปใช้



รูปที่ 3.6 โฟลว์ชาร์ตการทำงานของส่วนโปรแกรมคอมพิวเตอร์

เอกสารนี้เป็นเอกสารที่สงวนไว้สำหรับการใช้งานเพื่อการศึกษาเท่านั้น ไม่อนุญาตให้นำไปใช้ประโยชน์ด้านการค้า ไม่ว่ากรณีใดๆ ทั้งสิ้น อีกทั้งห้ามมิให้ดัดแปลงเนื้อหา และต้องอ้างอิงถึงเจ้าของเอกสารทุกครั้งที่มีการนำไปใช้



เอกสารนี้เป็นเอกสารที่สงวนไว้สำหรับการใช้งานเพื่อการศึกษาเท่านั้น ไม่อนุญาตให้นำไปใช้ประโยชน์ด้านการค้า ไม่ว่ากรณีใดๆ ทั้งสิ้น อีกทั้งห้ามมิให้ดัดแปลงเนื้อหา และต้องอ้างอิงถึงเจ้าของเอกสารทุกครั้งที่มีการนำไปใช้

บทที่ 4

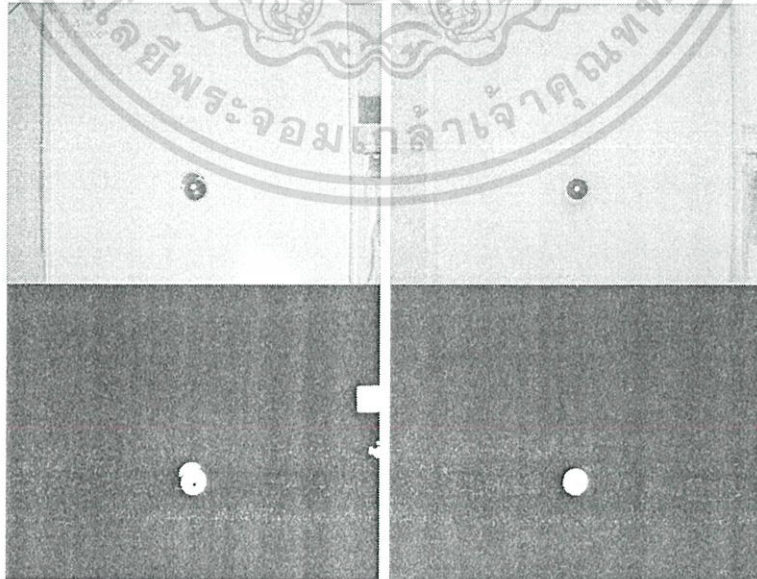
ผลการทดลอง

บทนี้จะเป็นการกล่าวถึงการทดลองต่างๆ ของระบบควบคุมตำแหน่งลูกบอลบนระนาบ โดยส่วนหลักจะแบ่งออกเป็น 2 ส่วนด้วยกัน ได้แก่ การทดลองระบุตำแหน่งลูกบอลด้วยกล้อง การควบคุมตำแหน่งลูกบอลด้วยตัวควบคุม PID โดยแต่ละส่วนมีรายละเอียดการทดลองดังนี้

4.1 การระบุตำแหน่งลูกบอลด้วยกล้อง

การทดลองในส่วนนี้จะเป็นการใช้กล้องจับภาพลูกบอลบนระนาบ เพื่อระบุตำแหน่งของลูกบอลเป็นพิกัดของพิกเซลในการหาระยะห่างระหว่างลูกบอลกับจุดที่กำหนด โดยการทดลองจะเน้นไปที่การปรับแต่งคุณภาพของภาพเพื่อให้เหมาะสมกับการประมวลผลภาพ รวมถึงการจัดสภาพแวดล้อมต่างเพื่อให้ได้ภาพที่มีคุณภาพ

สภาพแวดล้อมนั้นมีผลต่อภาพต่อภาพที่จะนำมาประมวลผลเป็นอย่างมาก โดยเฉพาะเรื่องแสง และเงา โดยหากเกิดเงาในภาพมากเกินไป จะทำให้โปรแกรมคิดว่าบริเวณที่เป็นเงานั้นคือ ลูกบอล ซึ่งจะทำให้การระบุตำแหน่งผิดพลาด รูปที่ 4.1 เป็นการแสดงการจัดสภาพแสงในแบบต่างๆ รวมถึงผลที่ได้จากการประมวลผลภาพแล้ว



รูปที่ 4.1 การจัดแสงในลักษณะต่างๆ และผลที่ได้จากการประมวลผลภาพ

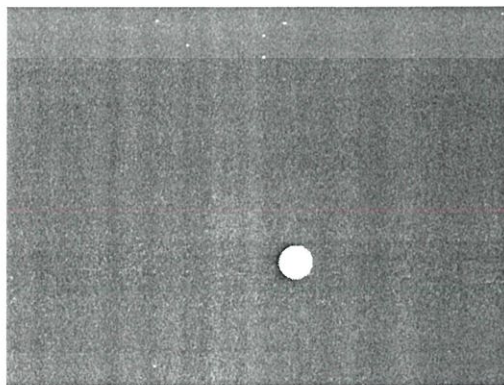
เอกสารนี้เป็นเอกสารที่สงวนไว้สำหรับการใช้งานเพื่อการศึกษาเท่านั้น ไม่นอญูญาติให้ไปใช้ประโยชน์ด้านการค้าไม่ว่ากรณีใดๆ ทั้งสิ้น อีกทั้งห้ามมิให้ดัดแปลงเนื้อหา และต้องอ้างอิงถึงเจ้าของเอกสารทุกครั้งที่มีการนำไปใช้

ภาพ Gray Scale ที่ผ่านการ Threshold แล้วนั้น อาจมีคุณภาพที่ไม่ดีที่สุด อันเนื่องมาจากจุดรบกวนที่เกิดขึ้นบนภาพ ดังแสดงในรูปที่ 4.2 ซึ่งจุดที่เกิดขึ้นนี้จะมี 2 ลักษณะ คือ จุดขาวที่เกิดจากเงากับจุดดำที่เกิดจากแสงสะท้อนบนผิวลูกบอล ซึ่งจุดดำที่เกิดจากแสงสะท้อนบนผิวลูกบอลนั้นจะส่งผลให้ได้ภาพลูกบอลไม่เต็มใบ ทำให้การหาตำแหน่งศูนย์กลางของลูกบอลคลาดเคลื่อน จึงต้องมีการปรับแต่งเพื่อกำจัดจุดขาว และดำดังกล่าวออกไป เพื่อเพิ่มความแม่นยำของผลลัพธ์

การปรับคุณภาพของภาพนั้นจะใช้ฟังก์ชันของ OpenCV สองฟังก์ชัน ได้แก่ ฟังก์ชัน Erode และฟังก์ชัน Dilate โดยฟังก์ชัน Erode จะทำการลดจุดขาวตามรูปแบบที่กำหนด ซึ่งจะช่วยในการกำจัดจุดขาวเล็กๆ ที่เกิดจากเงาบนภาพได้ ส่วนฟังก์ชัน Dilate จะช่วยเติมจุดขาวลงบนภาพตามรูปแบบที่กำหนด ซึ่งช่วยในการลบจุดดำที่เกิดจากแสงสะท้อนบนลูกบอลได้ (รายละเอียดการใช้งานฟังก์ชันทั้งสองตัวนี้อยู่ในภาคผนวก)



รูปที่ 4.2 เกิดการรบกวนจากจุดขาว และจุดดำ



รูปที่ 4.3 ผลของการประมวลผลภาพพระหว่างภาพที่ปรับปรุงคุณภาพแล้ว

เอกสารนี้เป็นเอกสารที่เผยแพร่เพื่อการศึกษาเท่านั้น เมื่อผู้ใช้งานเอกสารฉบับนี้จะโยชน์ด้านการค้าไม่ว่ากรณีใดๆ ทั้งสิ้น อีกทั้งห้ามมิให้ดัดแปลงเนื้อหา และต้องอ้างอิงถึงเจ้าของเอกสารทุกครั้งที่มีการนำไปใช้

4.2 การควบคุมตำแหน่งลูกบอลด้วยตัวควบคุม PID

ในส่วนนี้จะเป็นการทดลองควบคุมตำแหน่งลูกบอลบนระนาบด้วยตัวควบคุมแบบ PID โดยจะแบ่งการทดลองออกเป็นสองส่วน ส่วนแรกคือ การจำลองการควบคุมตำแหน่งลูกบอลบนระนาบด้วยตัวโปรแกรม Simulation เพื่อศึกษาถึงผลตอบสนองของระบบกับตัวควบคุม PID ชนิดต่างๆ ส่วนที่สองคือ การทดลองกับระบบจริงโดยใช้ผลจากการทดลองจากส่วนแรกเป็นแนวทางในการกำหนดค่าตัวควบคุม จากนั้นจึงทำการเปรียบเทียบผลการทดลองที่ได้ระหว่างการทดลองทั้งสองส่วน

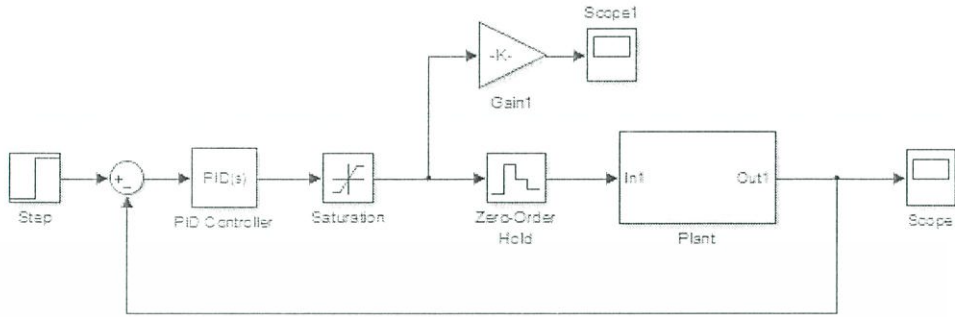
4.2.1 การจำลองการควบคุมตำแหน่งลูกบอลด้วยโปรแกรม Simulation

ในหัวข้อนี้จะเป็นการจำลองการควบคุมตำแหน่งลูกบอลบนระนาบด้วยโปรแกรม Simulation โดยจะใช้สมการถ่ายโอนที่ได้ออกแบบไว้ในบทที่ 2 ในการทดสอบ โดยการทดลองนี้มีวัตถุประสงค์เพื่อพิจารณาหาค่าที่เหมาะสมของตัวแปรของตัวควบคุมแต่ละชนิด (K_p , K_i , K_d) ในการทำให้ผลตอบสนองของระบบมีสมรรถนะตามที่ต้องการ รวมถึงพิจารณาถึงผลตอบสนองที่เปลี่ยนไปเมื่อเปลี่ยนค่าตัวแปรของตัวควบคุมแต่ละชนิด

การควบคุมตำแหน่งของลูกบอลนั้นจะกระทำผ่านการควบคุมการเอียงของระนาบในแกน X และแกน Y ซึ่งเป็นอิสระจากกัน และมีรูปแบบการทำงานที่เหมือนกันทุกประการ ในการจำลองการทำงานจึงสามารถทำการทดลองเพียงแกนเดียวก็เพียงพอ โปรแกรมที่ใช้ในการจำลองการทำงานในที่นี้คือ Matlab/Simulink แบบจำลองของระบบ (1แกน) แสดงไว้ดังรูปที่ 4.4

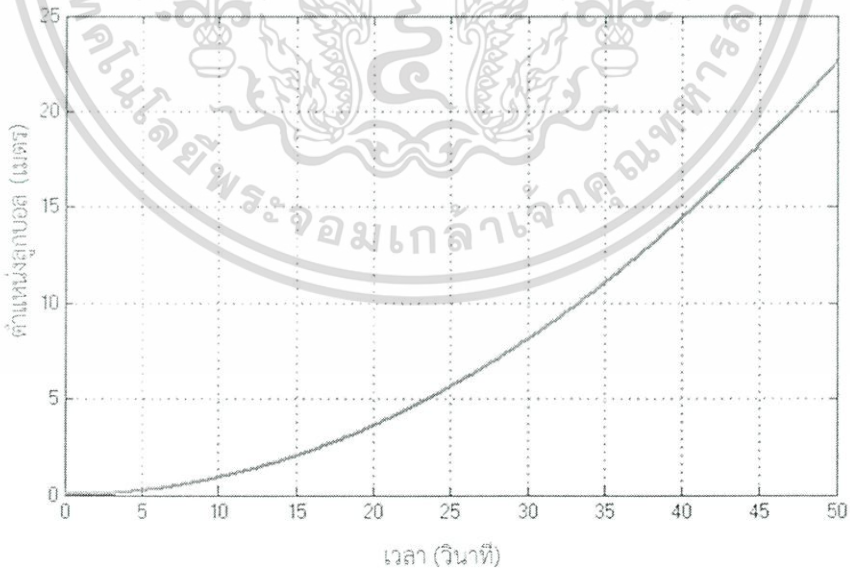
เนื่องจากอุปกรณ์ในระบบนั้นเป็นอุปกรณ์ดิจิทัล ซึ่งทำให้การทำงานของระบบไม่ได้อยู่บนโดเมนเวลาแบบต่อเนื่อง (Continuous Time Domain) แต่เป็นโดเมนเวลาแบบดิสครีต (Discrete Time Domain) ดังนั้นในการออกแบบ และจำลองระบบจำเป็นต้องกระทำบนโดเมนเวลาแบบดิสครีตคือ ต้องมีการพิจารณาถึงคาบเวลาในการซีกตัวอย่าง ซึ่งในที่นี้จะคิดจากเวลาทั้งหมดในการทำงานครบ 1 รอบของระบบ เริ่มจากการทำงานของส่วนโปรแกรมคอมพิวเตอร์ จนกระทั่งเซอร์โวมอเตอร์หมุนไปยังตำแหน่งที่ต้องการ ซึ่งจากการทดลองให้ระบบทำงาน พบว่า ในส่วนของโปรแกรมนั้นมีรอบการทำงานอยู่ที่ประมาณ 0.03 – 0.04 วินาที ส่วนการทำงานของเซอร์โวมอเตอร์นั้นหากคำนวณจากคุณสมบัติของเซอร์โวมอเตอร์ที่กล่าวไว้ในหัวข้อ 3.1.3 โดยพิจารณาที่มุมเคลื่อนขนาดเล็กๆ (เนื่องจากการทำงานจริง ส่วนใหญ่เซอร์โวมอเตอร์จะเคลื่อนที่เป็นขนาดมุมเล็กๆ เท่านั้น จึงพิจารณาที่มุมขนาดเล็กๆ เป็นหลัก) ประมาณไม่เกินหนึ่งองศา รอบการทำงานของเซอร์โวมอเตอร์จะอยู่ที่ประมาณ 0.005 วินาที เมื่อเพื่อเวลาสำหรับการเอกสารนี้เป็นเอกสารที่สงวนไว้สำหรับการใช้งานเพื่อการศึกษาเท่านั้น ไม่อนุญาตให้นำไปใช้ประโยชน์ด้านการค้าไม่ว่ากรณีใดๆ ทั้งสิ้น อีกทั้งห้ามมิให้ดัดแปลงเนื้อหา และต้องอ้างอิงถึงเจ้าของเอกสารทุกครั้งที่มีการนำไปใช้

ติดต่อสื่อสารระหว่างคอมพิวเตอร์กับไมโครคอนโทรลเลอร์แล้ว ได้ว่าควรเลือกใช้คาบเวลาในการซ้กตัวอย่างที่ 0.05 วินาที ซึ่งหมายความว่าระบบสามารถทำงานได้ 20 รอบต่อวินาทีนั่นเอง



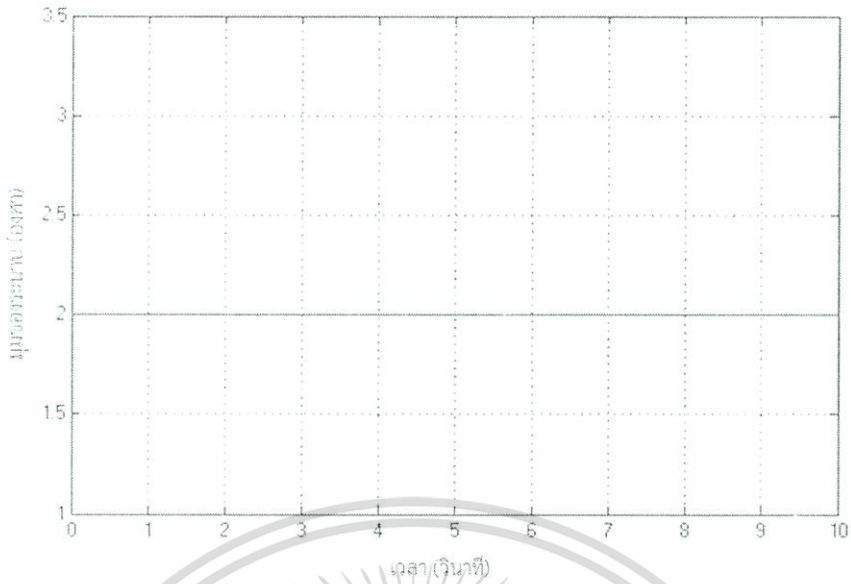
รูปที่ 4.4 แบบจำลองของระบบด้วยโปรแกรม Matlab/Simulink (พิจารณาใน 1 แกน)

เพื่อแสดงให้เห็นว่าระบบควบคุมตำแหน่งลูกบอลบนระนาบนั้น เป็นระบบที่ไม่มีเสถียรภาพหากไม่ควบคุมแบบป้อนกลับ (Feedback Control) จะทำการจำลองการทำงานของระบบดังแบบจำลองตามรูปที่ 4.3 โดยตัดส่วนป้อนกลับออกไป และกำหนดให้ค่า K_p , K_v , K_a เท่ากับ 1, 0 และ 0 ตามลำดับ โดยให้ลูกบอลเคลื่อนที่ไปยังตำแหน่งอ้างอิงที่ 5 เซนติเมตร ได้ผลตอบสนองดังรูปที่ 4.5 และมุมของระนาบในรูปที่ 4.6



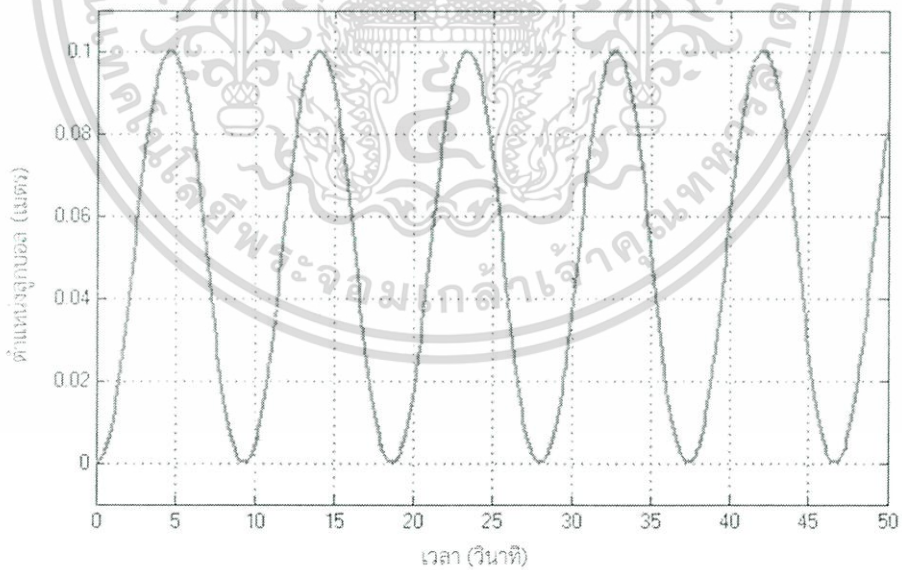
รูปที่ 4.5 ผลตอบสนองของระบบวงเปิด

เอกสารนี้เป็นเอกสารที่สงวนไว้สำหรับการใช้งานเพื่อการศึกษาเท่านั้น ไม่อนุญาตให้นำไปใช้ประโยชน์ด้านการค้าไม่ว่ากรณีใดๆ ทั้งสิ้น อีกทั้งห้ามมิให้ดัดแปลงเนื้อหา และต้องอ้างอิงถึงเจ้าของเอกสารทุกครั้งที่มีการนำไปใช้



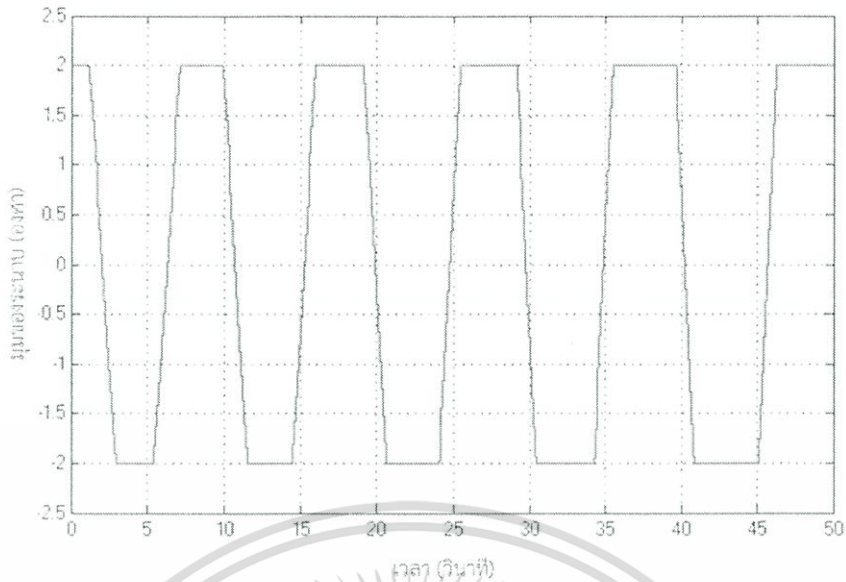
รูปที่ 4.6 มุมของระนาบเมื่อควบคุมด้วยระบบวงเปิด

เมื่อจำลองการทำงานด้วยแบบจำลองเดิม แต่เพิ่มส่วนป้อนกลับเข้าไป พบว่าได้ผลตอบสนองตามรูปที่ 4.7 และมุมของระนาบในรูปที่ 4.8



รูปที่ 4.7 ผลตอบสนองของระบบวงปิด

เอกสารนี้เป็นเอกสารที่สงวนไว้สำหรับการใช้งานเพื่อการศึกษาเท่านั้น ไม่อนุญาตให้นำไปใช้ประโยชน์ด้านการค้า ไม่ว่ากรณีใดๆ ทั้งสิ้น อีกทั้งห้ามมิให้ดัดแปลงเนื้อหา และต้องอ้างอิงถึงเจ้าของเอกสารทุกครั้งที่มีการนำไปใช้

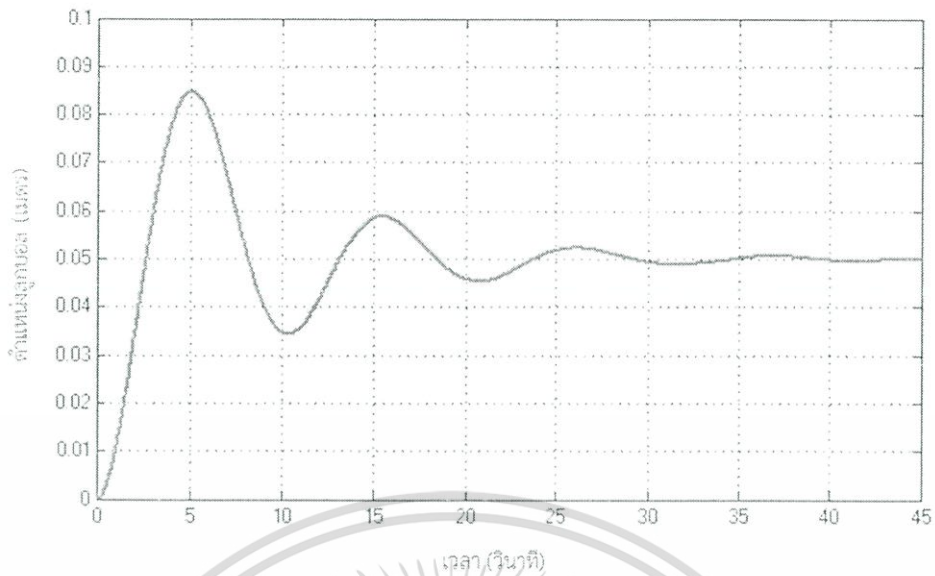


รูปที่ 4.8 มุมของระนาบเมื่อควบคุมด้วยระบบวงปิด

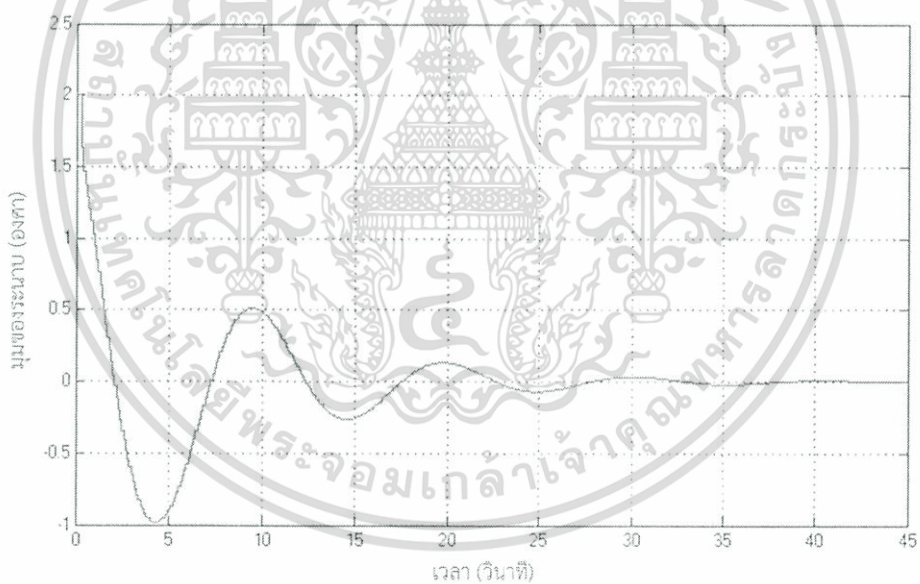
จากกราฟผลตอบสนองของระบบวงปิดพบว่า เมื่อป้อนกลับค่าเอาต์พุตโดยให้เกนมีค่าเท่ากับ 1 จะทำให้ระบบเสถียรวิกฤต ซึ่งการจะทำให้ระบบเสถียรสามารถทำได้โดยการปรับค่าตัวแปรของตัวควบคุมนั่นเอง

4.2.2 ปรับตัวควบคุมด้วยวิธี Ultimate Method

ดังที่ได้อธิบายไว้ในหัวข้อ 3.2.2 สามารถหาขอบเขตของตัวแปร K_p , K_i และ K_d ได้ด้วยวิธี Ultimate Method จากการทดลองก่อนหน้านี้ พบว่าค่า K_u เท่ากับ 1 และค่า P_u เท่ากับ 9.35 วินาที เมื่อแทนค่าตัวแปรทั้งสองลงในตารางที่ 3.1 จะได้ว่าตัวแปร K_p , K_i , K_d มีค่าเท่ากับ 0.6, 0.128 และ 0.701 ตามลำดับ และเมื่อทดลองจำลองการทำงานของระบบด้วยค่าตัวแปรข้างต้น พบว่าได้ผลตอบสนองดังรูปที่ 4.9 และมุมของระนาบในรูปที่ 4.10



รูปที่ 4.9 ผลตอบสนองของระบบที่ใช้ตัวควบคุม PID ที่ปรับแต่งด้วยวิธี Ultimate Method

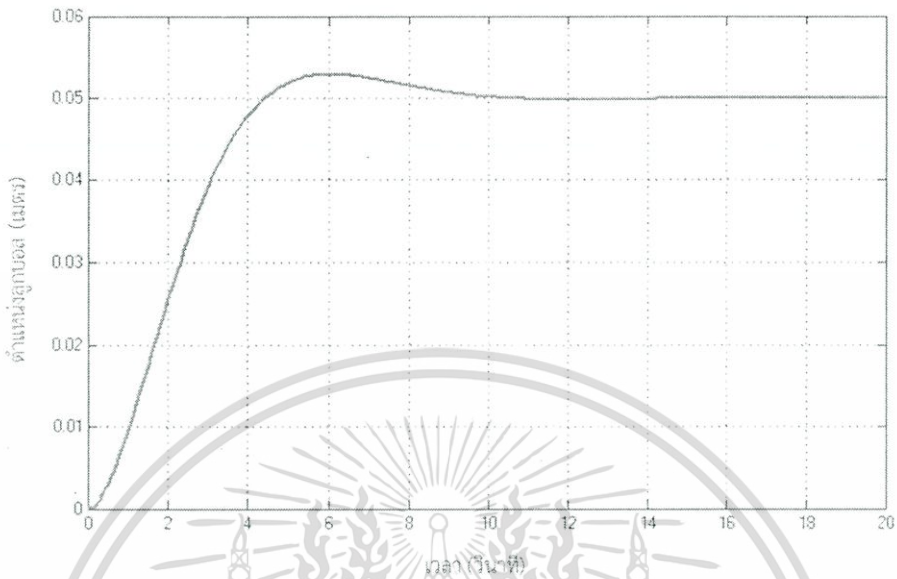


รูปที่ 4.10 มุมของระบบเมื่อใช้ตัวควบคุม PID ที่ปรับแต่งด้วยวิธี Ultimate Method

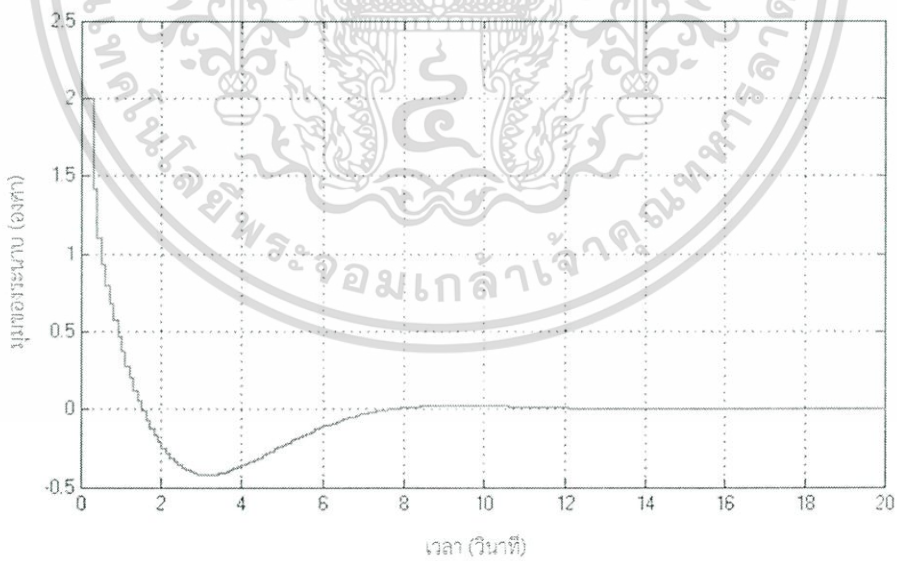
จากกราฟผลตอบสนองของระบบจากการปรับแต่งตัวควบคุม PID ด้วยวิธี Ultimate Method พบว่ามีค่า Rising time ประมาณ 2.6 วินาที ค่า Overshoot ประมาณ 70% และใช้เวลามากกว่า 40 วินาที กว่าที่จะเข้าสู่ค่าเป้าหมาย ซึ่งถือว่าสมรรถนะยังไม่ดีพอ จึงจำเป็นต้องมีการปรับแต่งตัวควบคุม

เอกสารนี้เป็นเอกสารที่สงวนไว้สำหรับการใช้งานเพื่อการศึกษาเท่านั้น ไม่อนุญาตให้นำไปใช้ประโยชน์ด้านการค้า ไม่ว่าจะกรณีใดๆ ทั้งสิ้น อีกทั้งห้ามมิให้ดัดแปลงเนื้อหา และต้องอ้างอิงถึงเจ้าของเอกสารทุกครั้งที่มีการนำไปใช้

เพิ่มเติมเพื่อให้ระบบมีสมรรถนะมากขึ้น ซึ่งจากการทดลองสุ่มปรับค่า พบว่าเมื่อกำหนดให้ K_p , K_i และ K_d มีค่าเท่ากับ 0.6, 0 และ 1.2 ตามลำดับ จะได้ผลตอบสนองดังรูปที่ 4.11 และมุมของระนาบในรูปที่ 4.12



รูปที่ 4.11 ผลตอบสนองของระบบเมื่อทำการปรับตัวควบคุมเพื่อให้ได้สมรรถนะที่ดีที่สุด



รูปที่ 4.12 มุมของระนาบจากผลตอบสนองในรูปที่ 4.10

เอกสารนี้เป็นเอกสารที่สงวนไว้สำหรับการใช้งานเพื่อการศึกษาเท่านั้น ไม่อนุญาตให้นำไปใช้ประโยชน์ด้านการค้า ไม่ว่าจะกรณีใดๆ ทั้งสิ้น อีกทั้งห้ามมิให้ดัดแปลงเนื้อหา และต้องอ้างอิงถึงเจ้าของเอกสารทุกครั้งที่มีการนำไปใช้

ซึ่งจากกราฟผลตอบแทนของระบบในรูปที่ 4.12 จะเห็นว่า ค่า Overshoot ลดลงเหลือเพียง 6% และระบบใช้เวลาเพียง 12 วินาทีในการเข้าสู่ค่าเป้าหมาย แต่ค่า Rising Time สูงขึ้นเพียงเล็กน้อย ซึ่งมีสมรรถนะดีกว่าผลการทดลองครั้งก่อนอย่างมาก

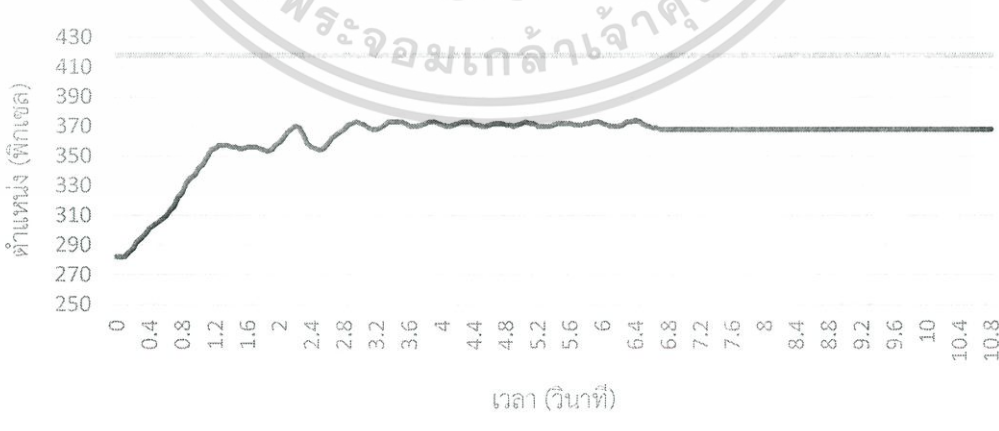
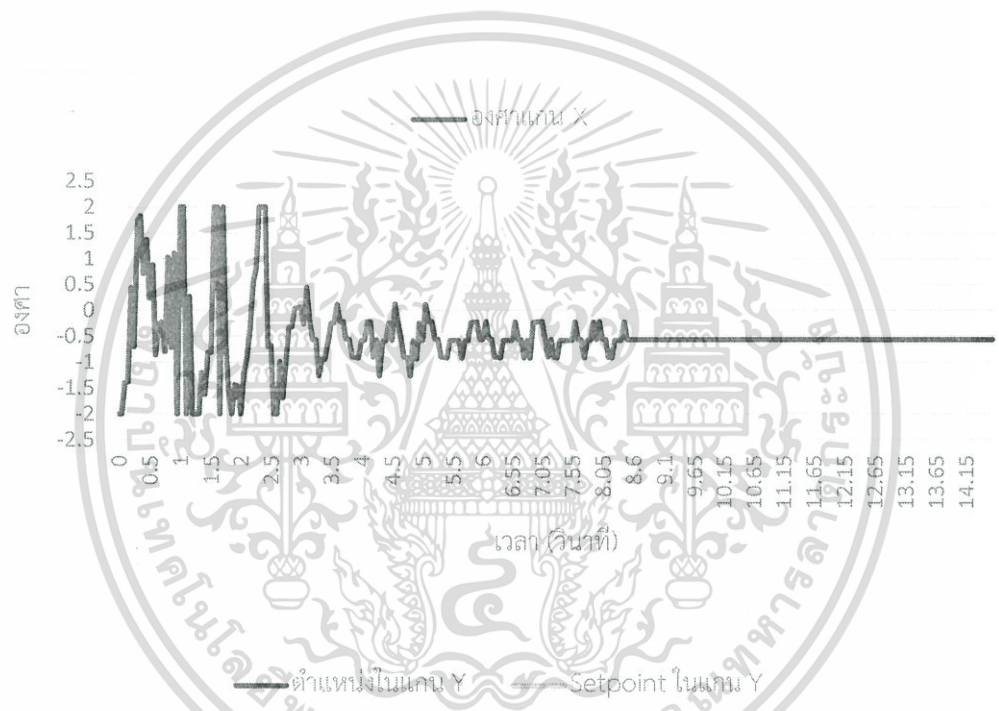
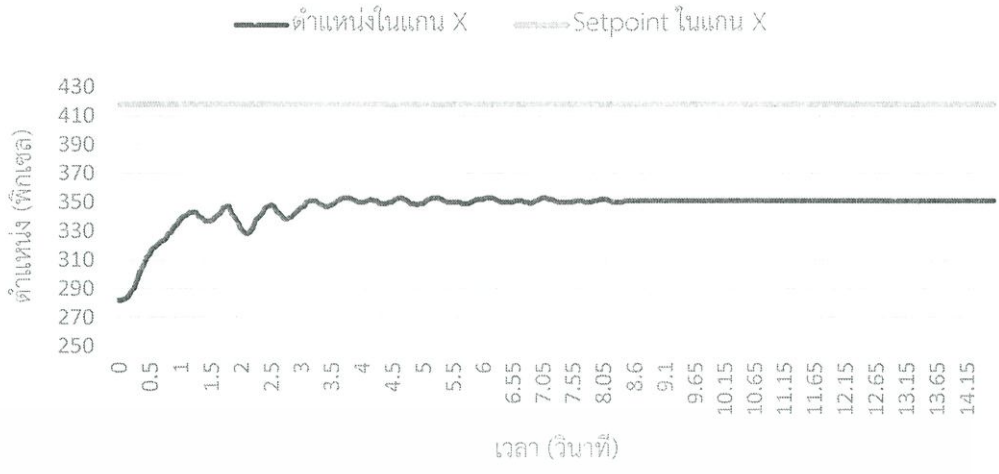
4.2.3 การควบคุมตำแหน่งลูกบอลในระบบจริง

ในส่วนนี้จะเป็นการทดลองกับอุปกรณ์จริง โดยใช้ค่าที่ได้จากการทดลองด้วยการจำลองการเคลื่อน โดย Matlab มาเป็นตัวช่วยในการปรับแต่ง และอ้างอิง โดยการทดลองจะแบ่งเป็นการทดลองแบบแยกแกน X แกน Y การทดลองแบบทั้งสองแกน และการปรับปรุงระบบ

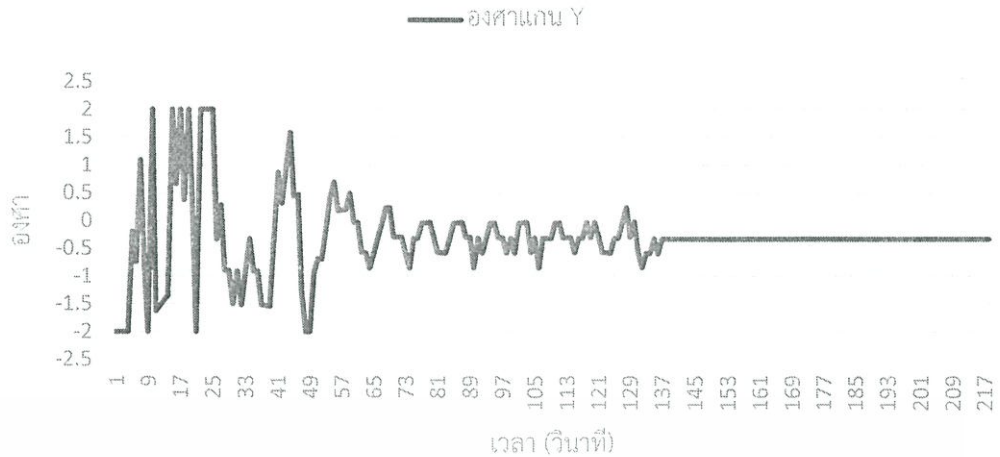
4.2.3.1 การทดลองแบบแยกแกน

การทำงานของระบบควบคุมตำแหน่งลูกบอลบนระนาบนั้น จะประกอบไปด้วยการควบคุมความเอียงของระนาบในสองแนวแกน ซึ่งการทำงานของทั้งสองแนวแกนนั้นจะเป็นอิสระต่อกัน แต่เนื่องจากการประกอบโครงสร้างทางด้านกายภาพอาจมีข้อผิดพลาดหรืออาจไม่ละเอียดมากพอ ที่จะกล่าวได้ว่าการทำงานของทั้งสองแกนนั้นจะเป็นอิสระจากกันโดยสมบูรณ์ ดังนั้นจึงต้องทำการทดลองแบบแยกแกนเพื่อแสดงให้เห็นว่า เมื่อแต่ละแกนทำงานโดยเป็นอิสระจากกันโดยสมบูรณ์จริงๆ แล้ว จะให้ผลตอบแทนออกมาเป็นเช่นไร

เริ่มต้นการทดลองโดยใช้ค่าที่ได้จากการจำลองการเคลื่อนที่ของลูกบอลด้วยโปรแกรม Matlab เป็นค่าเริ่มต้น พบว่าได้ผลตอบแทนในแต่ละแกนตามรูปที่ 4.13 จากผลการทดลองจะเห็นว่า ตำแหน่งสุดท้ายที่ลูกบอลหยุดนิ่งนั้นคลาดเคลื่อนจากตำแหน่งที่ต้องการอยู่มาก ค่าที่ได้จากการจำลองการเคลื่อนที่ของลูกบอลจึงไม่สามารถใช้กับระบบนี้ได้ทันที จึงต้องมีการปรับค่าตัวควบคุมเพื่อให้ระบบมีสมรรถนะตามที่ต้องการ



เอกสารนี้เป็นเอกสารที่สงวนไว้สำหรับการใช้งานเพื่อการศึกษาเท่านั้น ไม่อนุญาตให้นำไปใช้ประโยชน์ด้านการค้า
ไม่ว่ากรณีใดๆ ทั้งสิ้น อีกทั้งห้ามมิให้ดัดแปลงเนื้อหา และต้องอ้างอิงถึงเจ้าของเอกสารทุกครั้งที่มีการนำไปใช้

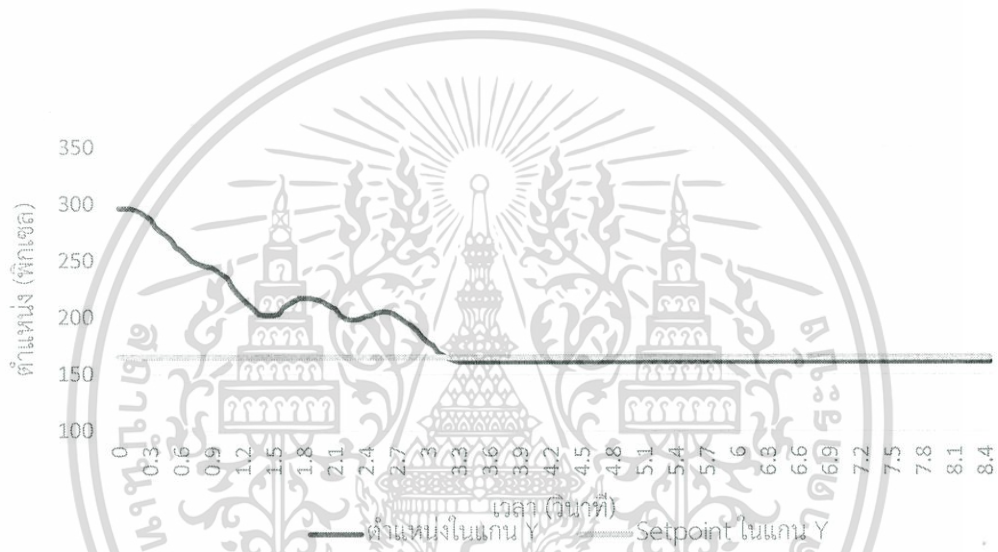
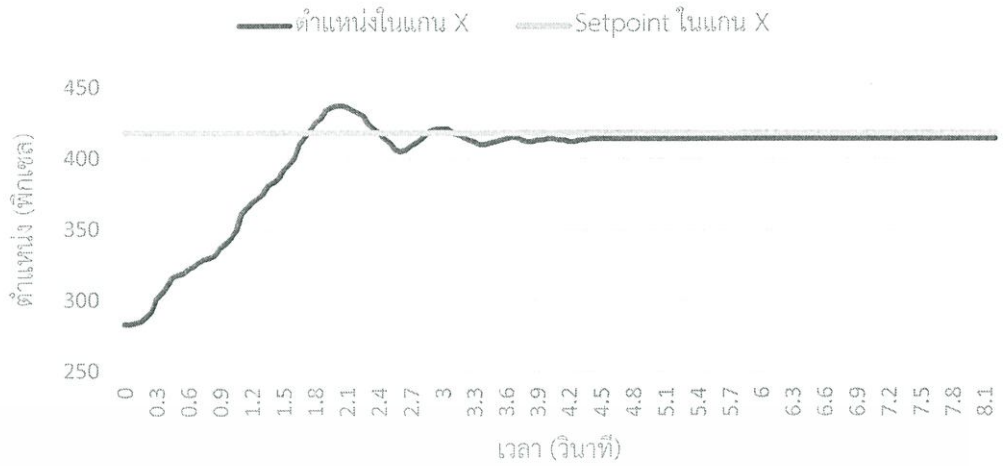


รูปที่ 4.13 ผลตอบสนองของระบบจริงแบบแยกแกนโดยใช้ค่าที่ได้จากการจำลองการเคลื่อนที่โดย

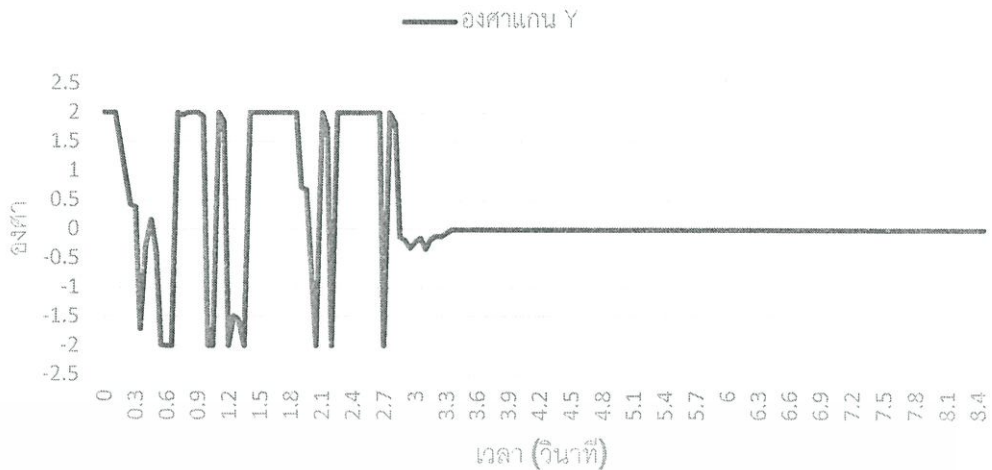
โปรแกรม Matlab

เมื่อทดลองปรับค่าตัวควบคุม PID พร้อมกับสังเกตผลตอบสนองของระบบไปเรื่อยๆ พบว่า ในแกน X เมื่อปรับค่าตัวแปร K_p , K_i , K_d เป็น 1.0, 0 และ 1.3 ตามลำดับ ระบบสามารถควบคุมลูกบอลให้ไปอยู่ในตำแหน่งที่ต้องการได้ โดยมีค่าผิดพลาดประมาณ ไม่เกิน 10% และเช่นเดียวกันในแกน Y เมื่อปรับค่าตัวแปร K_p , K_i , K_d เป็น 0.8, 0 และ 1.3 ตามลำดับ ระบบสามารถควบคุมลูกบอลให้ไปอยู่ในตำแหน่งที่ต้องการได้โดยมีค่าผิดพลาดประมาณ ไม่เกิน 10% เช่นกัน

เอกสารนี้เป็นเอกสารที่สงวนไว้สำหรับการใช้งานเพื่อการศึกษาเท่านั้น ไม่อนุญาตให้นำไปใช้ประโยชน์ด้านการค้าไม่ว่ากรณีใดๆ ทั้งสิ้น อีกทั้งห้ามมิให้ดัดแปลงเนื้อหา และต้องอ้างอิงถึงเจ้าของเอกสารทุกครั้งที่มีการนำไปใช้



เอกสารนี้เป็นเอกสารที่สงวนไว้สำหรับการใช้งานเพื่อการศึกษาเท่านั้น ไม่อนุญาตให้นำไปใช้ประโยชน์ด้านการค้า ไม่ว่าจะกรณีใดๆ ทั้งสิ้น อีกทั้งห้ามมิให้ดัดแปลงเนื้อหา และต้องอ้างอิงถึงเจ้าของเอกสารทุกครั้งที่มีการนำไปใช้

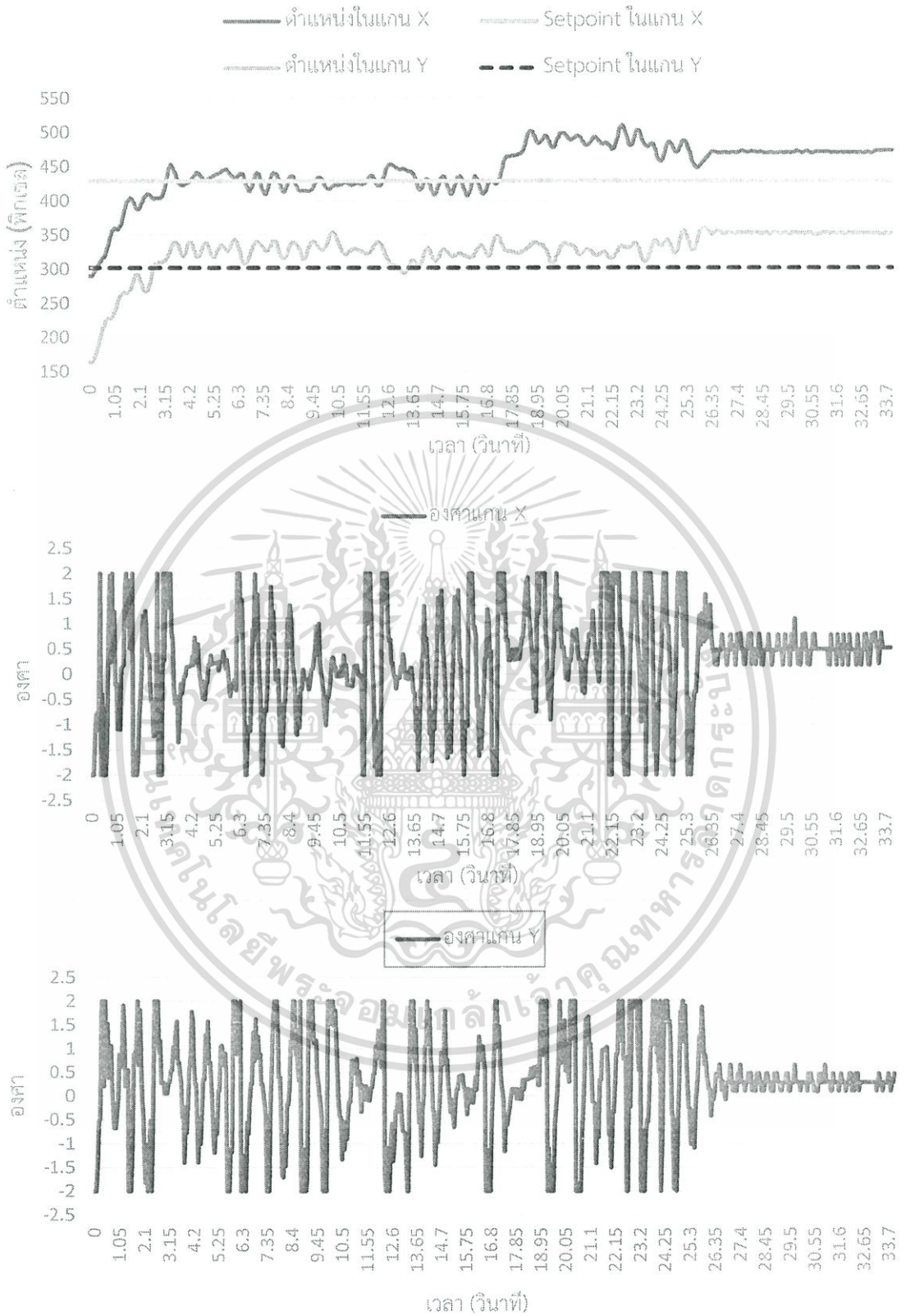


รูปที่ 4.14 ผลตอบสนองของระบบจริงแบบแยกแยะ โดยใช้ค่าที่ได้จากการปรับแต่งเอง

4.2.3.2 การทดลองแบบทั้งสองแกนพร้อมกัน

การทดลองแบบแยกแยะแสดงให้เห็นแล้วว่า เมื่อแต่ละแกนทำงานอิสระจากกันอย่างสมบูรณ์ จะสามารถควบคุมตำแหน่งของลูกในแนวแกนได้ตามที่ต้องการ ดังนั้นเมื่อให้ระบบทำงานพร้อมกันทั้งสองแกน ย่อมสามารถควบคุมตำแหน่งลูกบอลบนระนาบได้เช่นกัน

เมื่อทดลองควบคุมตำแหน่งลูกบอลบนระนาบโดยให้ระบบทำงานพร้อมกันทั้งสองแกน โดยใช้ค่าตัวแปรควบคุมที่ได้จากการทดลองแบบแยกแยะ พบว่าได้ผลตอบสนองตามรูปที่ 4.15 ซึ่งเมื่อพิจารณาจากผลตอบสนองจะเห็นว่า ระบบไม่สามารถควบคุมลูกบอลให้เคลื่อนที่ไปอยู่ในตำแหน่งที่ต้องการไม่ได้ จึงมีโอกาสนำไปได้สูงว่าโครงสร้างทางกายภาพไม่สมบูรณ์ตามเงื่อนไขในการตั้งสมมติฐานการเคลื่อนที่ของลูกบอลระนาบ ทำให้การทำงานของแต่ละแกนไม่เป็นอิสระต่อกันโดยสมบูรณ์



รูปที่ 4.15 ผลตอบสนองของระบบจริงแบบทำงานพร้อมกันทั้งสองแกน

โดยใช้ค่าตัวควบคุมจากการทดลองแบบแยกแกน

เอกสารนี้เป็นเอกสารที่สงวนไว้สำหรับการใช้งานเพื่อการศึกษาเท่านั้น ไม่อนุญาตให้นำไปใช้ประโยชน์ด้านการค้า ไม่ว่าจะกรณีใดๆ ทั้งสิ้น อีกทั้งห้ามมิให้ดัดแปลงเนื้อหา และต้องอ้างอิงถึงเจ้าของเอกสารทุกครั้งที่มีการนำไปใช้

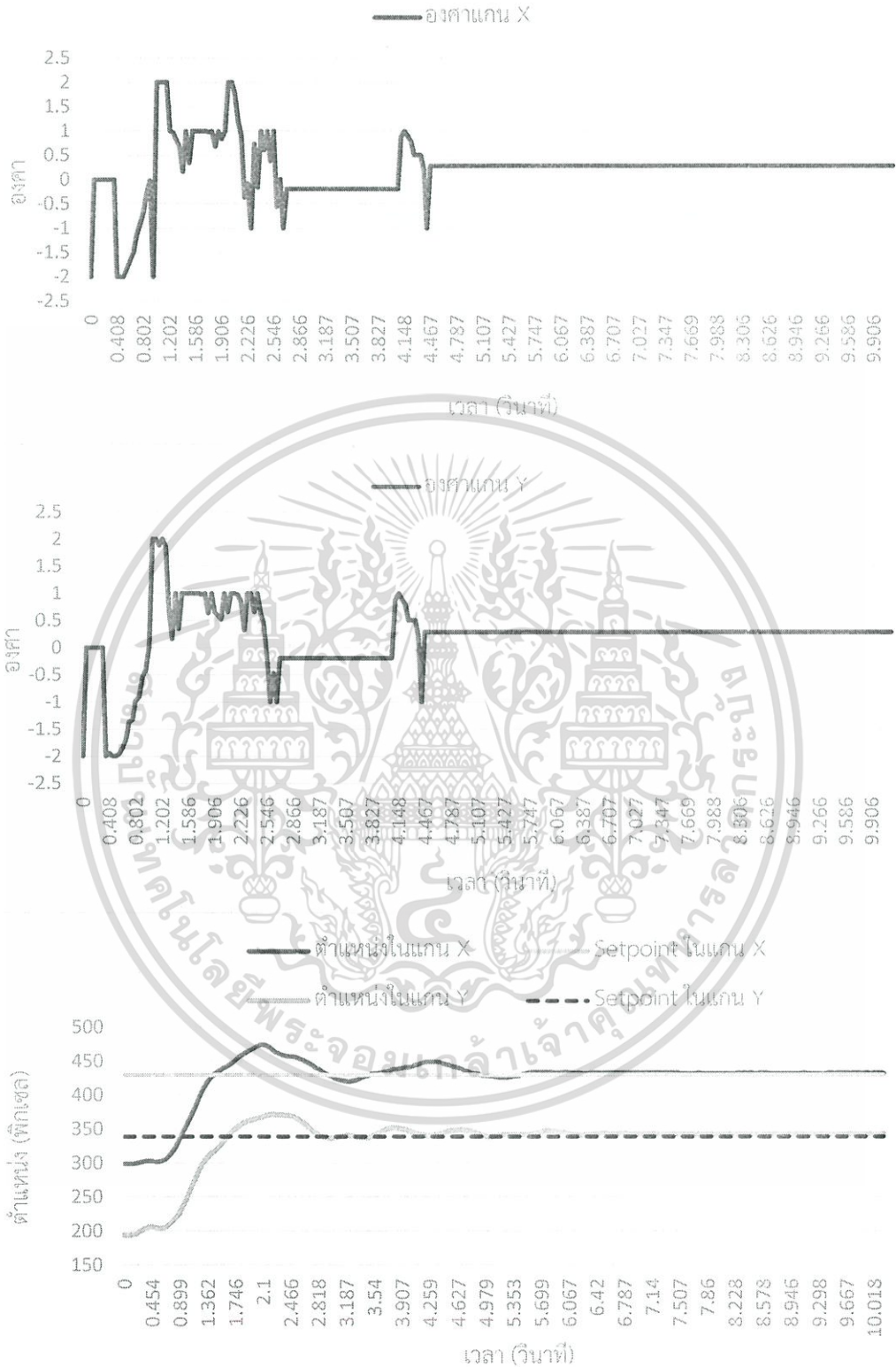
ทั้งนี้ เมื่อลองปรับค่าตัวควบคุมในแต่ละแกน และสังเกตผลตอบสนองไปเรื่อยๆ พบว่าระบบยังคงไม่สามารถควบคุมลูกบอลไปยังตำแหน่งที่ต้องการได้

4.3 การปรับปรุงระบบ

จากการทดลองที่ผ่านมา พบว่าระบบสามารถควบคุมตำแหน่งลูกบอลได้เมื่อทำงานแบบแยกแกน แต่เมื่อทำงานพร้อมกันทั้งสองแกนจะไม่สามารถควบคุมตำแหน่งลูกบอลให้เป็นไปตามที่ต้องการได้ แม้จะปรับค่าตัวควบคุมแล้วก็ตาม ดังนั้นเพื่อให้ระบบสามารถทำงานได้ตามที่ต้องการ จึงจำเป็นต้องมีการปรับแต่งระบบเพิ่มเติม ซึ่งในที่นี้จะปรับแต่งเฉพาะในส่วนของโปรแกรมคอมพิวเตอร์ที่ใช้ในการประมวลผล เนื่องจากสามารถทำได้ง่ายกว่าการปรับปรุงระบบทางกายภาพ อีกทั้งการปรับปรุงระบบทางกายภาพใหม่อาจทำให้ได้ผลตอบสนองที่มีลักษณะต่างออกไป ซึ่งทำให้ย้อนกลับไปปรับแต่งค่าตัวควบคุมใหม่ทั้งหมด

การปรับปรุงในส่วนของโปรแกรมประมวลผล จะยังคงใช้ตัวควบคุมแบบ PID เป็นหลักเหมือนเดิม แต่จะปรับปรุงกระบวนการเก็บค่า และประมวลข้อมูลเพิ่มเติม เพื่อโปรแกรมทำงานได้สอดคล้องกับระบบทางกายภาพมากที่สุด จากการสังเกตค่าองศาของระนาบจากการทดลองแบบสองแกน พบว่าองศาของระนาบมีการเปลี่ยนแปลงองศามากขึ้นไปในเวลาสั้นๆ ซึ่งทำให้เซอร์โวมอเตอร์ตอบสนองไม่ทัน ทำให้ตำแหน่งลูกบอลเกิดการคลาดเคลื่อน ดังนั้นจึงต้องปรับปรุงการปรับเทียบค่า PID กับค่าองศาการหมุนของเซอร์โวมอเตอร์ใหม่

อีกจุดหนึ่งที่ปรับปรุงคือ ใช้ส่วนของช่วงเวลารอกตัวอย่าง โดยแบบเดิมนั้นเมื่อทำงานเสร็จในหนึ่งรอบการทำงาน โปรแกรมจะรอกจนกว่าเวลาในรอบนั้นจะครบ 0.05 วินาทีแล้วจึงเริ่มทำงานรอบใหม่ แต่ในความเป็นจริงนั้นแต่ละรอบการทำงาน (หากไม่คิดในส่วนของเซอร์โวมอเตอร์ที่ใช้เวลาน้อยมากเมื่อเทียบกับเวลาทั้งหมด) ใช้เวลาน้อยกว่า 0.05 วินาที หากตัดส่วนที่ต้องรอนี้ออกไป จะทำให้ระบบสามารถชักตัวอย่างได้มากขึ้น และทำการปรับปรุงระบบตามที่ได้กล่าวไป และทดลองร่วมกับการปรับค่าตัวควบคุมไปเรื่อยๆ พบว่าได้ผลการทดลองตามรูปที่ 4.16



รูปที่ 4.16 ผลตอบสนองของระบบจริงแบบทำงานพร้อมกันทั้งสองแกน หลังจากปรับปรุงระบบแล้ว

เอกสารนี้เป็นเอกสารที่สงวนไว้สำหรับการใช้งานเพื่อการศึกษาเท่านั้น ไม่อนุญาตให้นำไปใช้ประโยชน์ด้านการค้า ไม่ว่าจะกรณีใดๆ ทั้งสิ้น อีกทั้งห้ามมิให้ดัดแปลงเนื้อหา และต้องอ้างอิงถึงเจ้าของเอกสารทุกครั้งที่มีการนำไปใช้

บทที่ 5

วิจารณ์ และสรุปผล

5.1 สรุปผลการทดลอง

จากการทดลองระบบควบคุมตำแหน่งลูกบอลบนระนาบ โดยแบ่งการทดลองออกเป็น 2 ส่วน คือ ส่วนการระบุตำแหน่งลูกบอลด้วยกล้อง และส่วนการควบคุมตำแหน่งลูกบอลด้วยตัวควบคุม PID ได้ผลดังนี้

การทดลองระบุตำแหน่งลูกบอลด้วยกล้องเป็นการทดลองจัดสภาพแวดล้อมเพื่อให้ได้แสง และเงาที่เหมาะสมเพื่อให้ภาพที่ได้มีคุณภาพ จากนั้นเมื่อผ่านกระบวนการขจัดจลรบกวนบนภาพที่ผ่านการแปลงเป็น Gray Scale พบว่าได้ภาพภาพของลูกบอลที่มีความคมชัด และสามารถหาจุดศูนย์กลางของลูกบอลได้อย่างแม่นยำ

ในส่วนการทดลองควบคุมตำแหน่งลูกบอลด้วยตัวควบคุม PID แบ่งการทดลองออกเป็น 2 ส่วน ได้แก่ ส่วนการจำลองการควบคุมตำแหน่งลูกบอลด้วยโปรแกรม Simulation และส่วนของการทดลองควบคุมตำแหน่งลูกบอลในระบบจริง โดยในส่วนแรกนั้นได้จำลองการทำงานของระบบโดยใช้โปรแกรม Matlab และทดลองระบบแบบแแกนเดียว เนื่องจากการทำงานในแต่ละแแกนนั้นเหมือนกัน การทดลองกำหนดให้ลูกบอลเคลื่อนที่เป็นระยะ 5 เซนติเมตร และมุมเอียงของระนาบอยู่ที่ ± 2 องศา และคาบเวลาการชักตัวอย่างเท่ากับ 0.05 วินาที เมื่อทดลองปรับค่าตัวควบคุมด้วยวิธี Ultimate Method พบว่าระบบทำงานได้ตามที่ต้องการ แต่ยังมีสมรรถนะที่ไม่ดีพอ จึงทำการปรับปรุงค่าตัวควบคุมเพิ่มเติม พบว่าเมื่อกำหนดค่า K_p , K_i , K_d มีค่าเท่ากับ 0.6, 0 และ 1.2 ตามลำดับ จะได้ผลตอบสนองที่มีค่า Rising Time ประมาณ 4.5 วินาที ค่า Overshoot ประมาณ 6% และใช้เวลาประมาณ 12 วินาทีในการเข้าสู่ค่าเป้าหมาย ซึ่งถือเป็นสมรรถนะที่น่าพอใจ

ถัดมาในส่วนของการทดลองควบคุมตำแหน่งลูกบอลในระบบจริงนั้น จะแบ่งออกเป็น 3 ส่วน คือการทดลองแบบแยกแแกน การทดลองแบบทั้งสองแแกน และการปรับปรุงระบบ การทดลองแบบแยกแแกนนั้นเริ่มด้วยการนำค่าตัวควบคุมที่ได้จากการจำลองการทำงานของระบบมาใช้ ผลคือตำแหน่งลูกบอลมีความคลาดเคลื่อนจากตำแหน่งที่ต้องการมากเกินไปในทั้งสองแแกน เมื่อทำการปรับค่าตัวควบคุมใหม่โดยกำหนดให้ค่า K_p , K_i , K_d ในแแกน X มีค่าเท่ากับ 1.0, 0 และ 1.3 ตามลำดับ และกำหนดให้ค่า K_p , K_i , K_d ในแแกน Y มีค่าเท่ากับ 0.8, 0 และ 1.3 ตามลำดับ พบว่าระบบสามารถควบคุม

เอกสารนี้เป็นเอกสารที่สงวนไว้สำหรับการใช้งานเพื่อการศึกษาเท่านั้น ไม่อนุญาตให้นำไปใช้ประโยชน์ด้านการค้า ไม่ว่าจะกรณีใดๆ ทั้งสิ้น อีกทั้งห้ามมิให้ดัดแปลงเนื้อหา และต้องอ้างอิงถึงเจ้าของเอกสารทุกครั้งที่มีการนำไปใช้

ลูกบอลไปยังตำแหน่งที่ต้องการได้ โดยมีค่าคลาดเคลื่อนไม่เกิน 10% ซึ่งสรุปได้ว่าเมื่อแต่ละแกนทำงานเป็นอิสระจากกันจะสามารถควบคุมตำแหน่งในแกนได้ตามต้องการ

ถัดมาเป็นการทดลองแบบทั้งสองแกนพร้อมกัน โดยใช้ค่าตัวควบคุมจากการทดลองแบบแยกแกน พบว่า ระบบไม่สามารถควบคุมลูกบอลไปยังตำแหน่งที่ต้องการได้ แม้จะทำการปรับค่าตัวควบคุมแล้วก็ตาม จึงมีความเป็นไปได้ว่าการทำงานของแต่ละแกนนั้นไม่เป็นอิสระจากกัน อาจเนื่องมาจากการออกแบบโครงสร้างทางกายภาพยังไม่ดีพอ

สุดท้ายในส่วนของการปรับปรุงนั้น ได้ทดลองปรับในส่วนของโปรแกรมคอมพิวเตอร์ โดยปรับปรุงของส่วนการเทียบค่า PID กับองศาการหมุนของเซอร์โวมอเตอร์ และคาบเวลาการซิกตัวอย่าง เพื่อให้ระบบสามารถทำงานได้สอดคล้องกับโครงสร้างทางกายภาพมากขึ้น ผลที่ได้คือ ระบบสามารถควบคุมลูกบอลไปยังตำแหน่งที่ต้องการได้สำเร็จ

5.2 ปัญหาที่พบ

ปัญหาหลักที่พบในโครงการนี้คือ ส่วนของโครงสร้างการกายภาพ เนื่องจากชิ้นส่วนทั้งหมดนั้นตัด และประกอบด้วยมือ ทำให้ขนาด และระยะต่างๆ ในการประกอบมีความคลาดเคลื่อน ในส่วนของเซอร์โวมอเตอร์นั้นตอบสนองได้ช้าไป และมักจะไม่ทำงานเมื่อต้องต้องหมุนในองศาที่มีขนาดเล็กมากๆ ทำให้ไม่สามารถควบคุมองศาของระนาบได้ตามที่โปรแกรมประมวลผลได้

ปัญหาต่อมาเป็นส่วนของโปรแกรมคอมพิวเตอร์ เนื่องจากผู้เขียนโปรแกรมไม่มีความชำนาญเฉพาะในด้านการเขียนโปรแกรม จึงทำให้โปรแกรมอาจใช้เวลาในการทำงานแต่ละรอบมากเกินไป รวมถึงอัลกอริทึมในการเทียบค่าองศาของเซอร์โวมอเตอร์กับค่าที่ได้จาก PID ยังไม่ดีพอที่จะทำให้ระบบแสดงประสิทธิภาพได้สูงสุด

5.3 แนวทางการแก้ไข และข้อเสนอแนะ

1. เลือกใช้มอเตอร์ที่สามารถตอบสนองได้เร็ว และละเอียดกว่านี้ อาทิเช่น ดิจิตอลเซอร์โวมอเตอร์

2. ออกแบบโครงสร้างให้การทำงานของแต่ละแกนมีผลต่อกันน้อยลง ควรตัด และประกอบชิ้นงานด้วยอุปกรณ์ที่มีความแม่นยำสูง

3. หากเลือกใช้กล้องที่มีค่าเฟรมเรตสูงขึ้น จะทำให้สามารถประมวลผลได้ละเอียดขึ้น แต่ถึง

กระนั้นก็ต้องลดระยะเวลาในการทำงานของโปรแกรมในแต่ละรอบไปพร้อมกันด้วย เอกสารนี้เป็นเอกสารที่สงวนไว้สำหรับการใช้งานเพื่อการศึกษาเท่านั้น ไม่นิยมนำไปใช้ประโยชน์ด้านการค้า ไม่ว่าจะกรณีใดๆ ทั้งสิ้น อีกทั้งห้ามมิให้ดัดแปลงเนื้อหา และต้องอ้างอิงถึงเจ้าของเอกสารทุกครั้งที่มีการนำไปใช้

เอกสารอ้างอิง

- [1] กิตติ ตีระเศรษฐ์. **พื้นฐานวิศวกรรมระบบควบคุม**. กรุงเทพฯ: สถาบันเทคโนโลยีพระจอมเกล้าเจ้าคุณทหารลาดกระบัง. 2539.
- [2] อรรถพล อยู่แสนสุข, ภิเชก เลิศวรรณการ. “ระบบควบคุมตำแหน่งลูกบอลบนระนาบ.” **ปริญญานิพนธ์ วิศวกรรมศาสตรบัณฑิต สาขาวิศวกรรมระบบควบคุม คณะวิศวกรรมศาสตร์, สถาบันเทคโนโลยีพระจอมเกล้าเจ้าคุณทหารลาดกระบัง**. 2551.
- [3] ชวนากร จรดรัมย์, อีระพันธ์ ศรีแจ่ม. “การศึกษาตัวควบคุมแบบรวมชนิดPIDสำหรับการควบคุมความดันอุณหภูมิและระดับน้ำโดยใช้ตัวควบคุมเชิงตรรกะ รุ่น SIEMENS S7-300.” **ปริญญานิพนธ์วิศวกรรมศาสตรบัณฑิต ภาควิชาวิศวกรรมอุตสาหกรรม คณะวิศวกรรมศาสตร์, มหาวิทยาลัยขอนแก่น**. 2555.
- [4] Arduino Mega 2560 (ออนไลน์). สืบค้นจาก :
<http://www.arduino.cc/en/Main/arduinoBoardMega2560>
- [5] การส่งผ่านข้อมูลแบบอนุกรม (ออนไลน์). สืบค้นจาก :
<http://irrigation.rid.go.th/rid15/ppn/Knowledge/Networks%20Technology/network4.htm>
- [6] ระบบควบคุมแบบป้อนกลับ (ออนไลน์). สืบค้นจาก :
https://app.enit.kku.ac.th/mis/administrator/doc_upload/20110308123427.pdf
- [7] ระบบสี่ (ออนไลน์). สืบค้นจาก :
<http://digi.library.tu.ac.th/thesis/st/0251/03CHAPTER2.pdf>
- [8] ตัวอย่างการควบคุม RC Servo Motor ด้วย Arduino (ออนไลน์). สืบค้นจาก :
<http://www.thaieasyelec.com/article-wiki/review-product-article/บทความตัวอย่างการควบคุม-rc-servo-motor-ด้วย-arduino.html>
- [9] OpenCV (ออนไลน์). สืบค้นจาก : <http://docs.opencv.org/index.html>
- [10] Ball & Beam: System Modeling (ออนไลน์). สืบค้นจาก :
<http://ctms.engin.umich.edu/CTMS/index.php?example=BallBeam§ion=SystemModeling>

เอกสารนี้เป็นเอกสารประมวลผลภาพ (Image processing) (ออนไลน์). สืบค้นจาก : ประโยชน์ด้านการค้า
ไม่ว่ากรณีใดๆ ทั้งสิ้น อีกทั้งห้ามมิให้ดัดแปลงเนื้อหา และต้องอ้างอิงถึงเจ้าของเอกสารทุกครั้งที่มีการนำไปใช้

<https://sillovely.wordpress.com/2013/06/11/เทคโนโลยีการประมวลผลภาพ/>

[12] Image processing (ออนไลน์). สืบค้นจาก :

http://www.nectec.or.th/index.php?option=com_content&view=article&id=289%3Aimage-processing



เอกสารนี้เป็นเอกสารที่สงวนไว้สำหรับการใช้งานเพื่อการศึกษาเท่านั้น ไม่อนุญาตให้นำไปใช้ประโยชน์ด้านการค้า ไม่ว่าจะกรณีใดๆ ทั้งสิ้น อีกทั้งห้ามมิให้ดัดแปลงเนื้อหา และต้องอ้างอิงถึงเจ้าของเอกสารทุกครั้งที่มีการนำไปใช้



เอกสารนี้เป็นเอกสารที่สงวนไว้สำหรับการใช้งานเพื่อการศึกษาเท่านั้น ไม่อนุญาตให้นำไปใช้ประโยชน์ด้านการค้า
ไม่ว่ากรณีใดๆ ทั้งสิ้น อีกทั้งห้ามมิให้ดัดแปลงเนื้อหา และต้องอ้างอิงถึงเจ้าของเอกสารทุกครั้งที่มีการนำไปใช้

ภาคผนวก ก

โปรแกรมการประมวลผล และควบคุมตำแหน่งลูกบอลบนระนาบ

ก.1 โปรแกรมประมวลผลในส่วนของคอมพิวเตอร์

โปรแกรมที่ใช้ในส่วนนี้คือ โปรแกรม Visual Studio 2012 โดยใช้ภาษา C++ ในการเขียน

ก.1.1 โปรแกรมประมวลผลในส่วนของคอมพิวเตอร์ (ก่อนปรับปรุงระบบ)

```

#include<opencv.h>
#include<opencvhighgui.h>
#include<iostream>
#include<stdio.h>
#include<ctime> //for clock count
#include<fstream> //for save to txt

#include<sstream>
#include<string>
#include<stdlib.h>
#include<Windows.h>
#include<math.h>
#definePI 3.14159265

usingnamespace cv;
usingnamespace std;

void morphOps(Mat&);
MatRGB2GrayScale(Mat);
Point Contour_CM_Find_and_Display(Mat, Mat, Mat);
void CallBackFunc(int, int, int, int, void*);
void CallBackFunc(intevent, int, int, int, void*);
int Servo_angle(double, double);
void Serial2(int, int);

int iLastX = -1;
int iLastY = -1;
bool Target_Set = FALSE;
Point Setpoint = Point(-1,-1);
double saveBall_position [10000][9]; // Time : Xposition : Yposition
HANDLE hSerial = CreateFile(L"COM1", GENERIC_WRITE, FILE_SHARE_READ | FILE_SHARE_WRITE, 0, OPEN_EXISTING, FILE_ATTRIBUTE_NORMAL, 0); // for serial
communication
DWORD btsIO;
int hue = 55;
int Max_angle = 200;
int Zero_angle = 1500;
double P_ang_max = 2*PI/180;
double P_ang_zero = 0;
double P_ang = 0;

int main(){

////////////////////// Initial Parameters ////////////////////////

Mat img, gray_img; // for video capture
Mat imgLines = Mat::zeros(Size(640,480), CV_8UC3); // for draw ball path
Point Ball_Position;

//***** for PID *****/
double xoutput;
double youtput;

```

เอกสารนี้เป็นเอกสารที่สงวนไว้สำหรับการใช้งานเพื่อการศึกษาเท่านั้น ไม่อนุญาตให้นำไปใช้ประโยชน์ด้านการค้า
ไม่ว่ากรณีใดๆ ทั้งสิ้น อีกทั้งห้ามมิให้ดัดแปลงเนื้อหา และต้องอ้างอิงถึงเจ้าของเอกสารทุกครั้งที่มีการนำไปใช้

```

double pre_xoutput = 0;           double pre_youtput = 0;
double Max_error_x = 0;          double Max_error_y = 0;
double xerr;                      double yerr;
double xpre_error = 0;           double ypre_error = 0;
double xinte = 0;                double yinte = 0;
double xDiff = 0;                double yDiff = 0;
double dt = 0.05; //sec
double Kpx = 1.0;                double Kpy = 0.8;
double Kix = 0;                  double Kiy = 0;
double Kdx = 1.3;                double Kdy = 1.3;
//*****//

int X_angle = 1500;              int Y_angle = 1500;

clock_t T_present=0, T_start=0, Time=0; // for time loop check

////////////////////////////////////
///// Setup serial port connection and needed variables. /////
if (hSerial != INVALID_HANDLE_VALUE)
{
printf("Port opened!\n");

DCB dcbSerialParams;
GetCommState(hSerial,&dcbSerialParams);

dcbSerialParams.BaudRate = CBR_9600;
dcbSerialParams.ByteSize = 8;
dcbSerialParams.Parity = NOPARITY;
dcbSerialParams.StopBits = ONESTOPBIT;

SetCommState(hSerial, &dcbSerialParams);
}
else
{
if (GetLastError() == ERROR_FILE_NOT_FOUND)
printf("Serial port doesn't exist!\n");
}

printf("Error while setting up serial port!\n");
}

////////////////////////////////////

/// Video Capture ///
VideoCapture cap;
cap.open(1);
namedWindow("Result window",1);
////////////////////////////////////

Serial2(Zero_angle,Zero_angle);
waitKey(500);
Serial2(Zero_angle+Max_angle,Zero_angle+Max_angle);
waitKey(500);
Serial2(Zero_angle-Max_angle,Zero_angle+Max_angle);
waitKey(500);
Serial2(Zero_angle+Max_angle,Zero_angle-Max_angle);
waitKey(500);
Serial2(Zero_angle-Max_angle,Zero_angle-Max_angle);
waitKey(500);
Serial2(Zero_angle,Zero_angle);
waitKey(500);

```

เอกสารนี้เป็นเอกสารที่สงวนไว้สำหรับการใช้งานเพื่อการศึกษาเท่านั้น ไม่อนุญาตให้นำไปใช้ประโยชน์ด้านการค้า ไม่ว่าจะกรณีใดๆ ทั้งสิ้น อีกทั้งห้ามมิให้ดัดแปลงเนื้อหา และต้องอ้างอิงถึงเจ้าของเอกสารทุกครั้งที่มีการนำไปใช้

```

for(int a=0; a<10000; a++)
    for(int b=0; b<9; b++)
        saveBall_position[a][b] = -1;

namedWindow("Result window",1);
namedWindow("Parameters");
createTrackbar("Hue","Parameters",&hue,255);

//----- MAIN PROGRAMME -----//
while(!)

    cap>>img;
    gray_img = RGB2GrayScale(img);
    Ball_Position = Contour_CM_Find_and_Display(gray_img,img,imgLines);
    setMouseCallback("Result window", CallBackFunc, NULL);

    if(Target_Set)
        // open clock
        T_start = clock();
        double tmp = 0;
        for(int i = 0; Target_Set ; i++){
            cap>>img;
            gray_img = RGB2GrayScale(img);
            Ball_Position = Contour_CM_Find_and_Display(gray_img,img,imgLines);
            saveBall_position[i][1] = Ball_Position.x;
            saveBall_position[i][2] = Setpoint.x;
            saveBall_position[i][3] = Ball_Position.y;
            saveBall_position[i][4] = Setpoint.y;

            // Cal PID for x-axis
            xerr = (Setpoint.x - Ball_Position.x)*(-1);
            xinte = xinte + (xerr * dt);
            xDiff = (xerr - xpre_error)/dt;
            xoutput = (Kpx * xerr) + (Kix * xinte) + (Kdx * xDiff);
            if((abs(pre_xoutput)/abs(xoutput) > 10)){
                Max_error_x = abs(xoutput);
                xpre_error = xerr;
                pre_xoutput = xoutput;
            }
            else if( abs(xoutput) > Max_error_x ){
                Max_error_x = abs(xoutput);
                //xpre_error = 0;
                xpre_error = xerr;
                pre_xoutput = xoutput;
            }
            else{
                xpre_error = xerr;
                pre_xoutput = xoutput;
            }

            X_angle = Servo_angle(xoutput, Max_error_x);
            saveBall_position[i][5] = xoutput;
            saveBall_position[i][6] = P_ang*180/PI;

            // Cal PID for y-axis
            yerr = (Setpoint.y - Ball_Position.y)*(-1);
            yinte = yinte + (yerr * dt);

```

เอกสารนี้เป็นเอกสารที่สงวนไว้สำหรับการใช้งานเพื่อการศึกษาเท่านั้น ไม่อนุญาตให้นำไปใช้ประโยชน์ด้านการค้า
ไม่ว่ากรณีใดๆ ทั้งสิ้น อีกทั้งห้ามมิให้ดัดแปลงเนื้อหา และต้องอ้างอิงถึงเจ้าของเอกสารทุกครั้งที่มีการนำไปใช้

```

yDff = (yerr - ypre_error)/dt;
youtput = (Kpy * yerr) + (Kiy * yinte) + (kcy * yDff);

if((abs(pre_youtput)/abs(youtput) > 10))
    Max_error_y = abs(youtput);
    ypre_error = yerr;
    pre_youtput = youtput;
}
elseif( abs(youtput) > Max_error_y )
    Max_error_y = abs(youtput);
    //ypre_error = 0;
    ypre_error = yerr;
    pre_youtput = youtput;
}
elseif
    ypre_error = yerr;
    pre_youtput = youtput;
}

Y_angle = Servo_angle(youtput, Max_error_y);
saveBall_position[i][7] = youtput;
saveBall_position[i][8] = P_ang*180/PI;

// Send parameter to arduino
Serial2(X_angle,Y_angle);

// loop time check
do{
    T_present = clock();
    Time = T_present - T_start;
}while(Time%50 != 0);
saveBall_position [i][0] = (static_cast<double>(Time)/CLOCKS_PER_SEC)*0.05;
tmp = Time;
waitKey(1);
setMouseCallback("Result window", CallbackFunc, NULL);
}
// reset Target
Setpoint = Point(0,1);
Target_Set = FALSE;

// save ball's path
ofstream save_path("Ball_path.txt",ios::out);
for(int k=0; saveBall_position[k][0] > -1; k++){
    for(int j=0; j<9; j++){
        save_path << saveBall_position[k][j];
        if(j==8)
            save_path << "\n";
    }
    else save_path << "\t" ;
}

}

// pause programe
waitKey(50);
Serial2(Zero_angle,Zero_angle);
waitKey(50);
CloseHandle(hSerial);
}
waitKey(10);
}
//-----//
}

```

เอกสารนี้เป็นเอกสารที่สงวนไว้สำหรับการใช้งานเพื่อการศึกษาเท่านั้น ไม่อนุญาตให้นำไปใช้ประโยชน์ด้านการค้า
ไม่ว่ากรณีใดๆ ทั้งสิ้น อีกทั้งห้ามมิให้ดัดแปลงเนื้อหา และต้องอ้างอิงถึงเจ้าของเอกสารทุกครั้งที่มีการนำไปใช้

```

////// Modify image function
void morphOps(Mat&thresh){

    Mat erodeElement = getStructuringElement(MORPH_RECT,Size(3,3));
    Mat dilateElement = getStructuringElement(MORPH_RECT,Size(3,3));

    erode(thresh,thresh,erodeElement);
    erode(thresh,thresh,erodeElement);

    dilate(thresh,thresh,dilateElement);
    dilate(thresh,thresh,dilateElement);

}

////// Convert to Gray Scale & Modify function
MatRGB2GrayScale(Matimg){

    Mat gray;
    cvtColor(img,gray,CV_BGR2GRAY);
    inRange(gray,0,hue,gray);
    morphOps(gray);

    return gray;

}

////// Find&Display Contour&Center of mass
Point Contour_CM_Find_and_Display(Matinputimg,Matdisplayimg,MatBallpath_img){

    int Xposition = -1;
    int Yposition = -1;
    int Ballarea = 800;
    //imshow("Gray Scale", inputimg);

    // Find contours
    vector<vector<Point>> contours;
    vector<Vec4i> hierarchy;
    RNG rng(12345);
    findContours(inputimg, contours, hierarchy, CV_RETR_TREE, CV_CHAIN_APPROX_SIMPLE, Point(0, 0));

    if(contours.size() > 0){
        double tmp=0;
        double MaxArea=0;
        for(int j = 0; j < contours.size(); j++){
            if(contourArea(contours[j]) > tmp){
                tmp = contourArea(contours[j]);
                MaxArea = j;
            }
        }

        Moments mu;
        mu = moments(contours[MaxArea]);
        //Mass center
        if (mu.m00 > Ballarea){
            //calculate the position of the ball
            Xposition = mu.m10 / mu.m00;
            Yposition = mu.m01 / mu.m00;
            iLastX = Xposition;
            iLastY = Yposition;
        }

        // Draw contours
        Mat drawing = Mat::zeros(inputimg.size(), CV_BUC3 );
        if(contourArea(contours[MaxArea]) > Ballarea){
            drawContours(displayimg, contours, MaxArea, Scalar(0,0,255), 2, 8, hierarchy, 0, Point() );
            circle(displayimg, Point(Xposition,Yposition), 4, Scalar(0,255,0), -1, 8, 0 );
            //draw target box
            if(Setpoint.x > 0 && Setpoint.y > 0){
                circle(displayimg, Setpoint, 4, Scalar(0,0,255), -1, 8, 0 );
            }
        }
    }
}

```

เอกสารนี้เป็นเอกสารที่สงวนไว้สำหรับการใช้งานเพื่อการศึกษาเท่านั้น ไม่นอญญาติให้นำไปใช้ประโยชน์ด้านการค้า
ไม่ว่ากรณีใดๆ ทั้งสิ้น อีกทั้งห้ามมิให้ดัดแปลงเนื้อหา และต้องอ้างอิงถึงเจ้าของเอกสารทุกครั้งที่มีการนำไปใช้

```

line(displayimg, Point(Setpoint.x-20,Setpoint.y-20), Point(Setpoint.x+20,Setpoint.y-20), Scalar(0,255,255), 2);
line(displayimg, Point(Setpoint.x+20,Setpoint.y-20), Point(Setpoint.x+20,Setpoint.y+20), Scalar(0,255,255), 2);
line(displayimg, Point(Setpoint.x+20,Setpoint.y+20), Point(Setpoint.x-20,Setpoint.y+20), Scalar(0,255,255), 2);
line(displayimg, Point(Setpoint.x-20,Setpoint.y+20), Point(Setpoint.x-20,Setpoint.y-20), Scalar(0,255,255), 2);
}

string poX = to_string(Xposition);
string poY = to_string(Yposition);
string Area = to_string(mu.m00);

putText(displayimg,"Position X : " + poX,Point(20,20),FONT_HERSHEY_SIMPLEX,0.5,Scalar(0,0,255),1,15,false);
putText(displayimg,"Position Y : " + poY,Point(20,40),FONT_HERSHEY_SIMPLEX,0.5,Scalar(0,0,255),1,15,false);
putText(displayimg,"Area : " + Area,Point(20,60),FONT_HERSHEY_SIMPLEX,0.5,Scalar(0,0,255),1,15,false);
poX = to_string(Setpoint.x);
poY = to_string(Setpoint.y);
putText(displayimg," (" + poX + "," + poY + ")",Setpoint,FONT_HERSHEY_SIMPLEX,0.5,Scalar(0,0,255),1,15,false);
}

}

imshow("Result window", displayimg+Ballpath_img);

returnPoint(Xposition,Yposition);

}

///// Call back function for Get Mouse click position
void CallBackFunc(intevent, intx, inty, intflags, void* userdata)
{
if (event == EVENT_LBUTTONDOWN )
{
Setpoint.x = x;
Setpoint.y = y;
Target_Set = TRUE;
}
elseif ( event == EVENT_RBUTTONDOWN )
{
Target_Set = FALSE;
}
}

int Servo_angle(doublepid, doubleMax_error)

int Servo_angle = Zero_angle;
P_ang = 0;

P_ang = (pid/Max_error)*(P_ang_max);

if(P_ang > P_ang_zero + P_ang_max)
P_ang = P_ang_zero + P_ang_max;
elseif(P_ang < P_ang_zero - P_ang_max)
P_ang = P_ang_zero - P_ang_max;

Servo_angle = Zero_angle + (int)(asin((145/15)*(sin(P_ang))))*180/PI/0.10345);

return Servo_angle;

}

void Serial2(intXangle, intYangle){

char outputChars[10];
for(int i = 4; i >= 0; i--){
if(i == 4){
outputChars[i] = '\n';
}
elseif
outputChars[i] = (Xangle % 10)+'0';
}
}

```

เอกสารนี้เป็นเอกสารที่สงวนไว้สำหรับการใช้งานเพื่อการศึกษาเท่านั้น ไม่อนุญาตให้นำไปใช้ประโยชน์ด้านการค้า
ไม่ว่ากรณีใดๆ ทั้งสิ้น อีกทั้งห้ามมิให้ดัดแปลงเนื้อหา และต้องอ้างอิงถึงเจ้าของเอกสารทุกครั้งที่มีการนำไปใช้

```

        Xangle /= 10;
    }
}
for(int j = 9; j >= 5; j--){
    if(j == 9){
        outputChars[j] = "";
    }
    else{
        outputChars[j] = (Yangle % 10)+'0';
        Yangle /= 10;
    }
}
cout<< outputChars << endl;
WriteFile(hSerial, outputChars, strlen(outputChars), &ftsIO, NULL);
fill_n(outputChars, 10, '\0');
}
}

```

ก.1.2 โปรแกรมประมวลผลในส่วนของคอมพิวเตอร์ (หลังปรับปรุงระบบ)

```

#include<opencv\cv.h>
#include<opencv\highgui.h>
#include<iostream>
#include<stdio.h>
#include<ctime>
#include<fstream>

#include<sstream>
#include<string>
#include<stdlib.h>
#include<Windows.h>
#include<math.h>
#definePI 3.14159265

usingnamespace cv;
usingnamespace std;

void morphOps(Mat&);
MatRGB2GrayScale(Mat);
Point Contour_CM_Find_and_Display(Mat, Mat, Mat);
void CallBackFunc(int, int, int, int, void*);
void CallBackFunc(intevent, int, int, int, void*);
int Servo_angle(double, double);
void Serial2(int, int);

int iLastX = -1;
int iLastY = -1;
bool Target_Set = FALSE;
Point Setpoint = Point(-1,-1);
double saveBall_position [10000][9]; // Time : Xposition : Yposition
HANDLE hSerial = CreateFile(L"COM1", GENERIC_WRITE, FILE_SHARE_READ | FILE_SHARE_WRITE, 0, OPEN_EXISTING, FILE_ATTRIBUTE_NORMAL, 0); // for serial
communication
DWORD btsIO;
int hue = 55;
double Max_error_x = 0, Max_error_y = 0;
double MEX = 0, MEY = 0;
int Max_angle = 200;
int Zero_angle = 1500;
double P_ang_max = 2*PI/180;
double P_ang_zero = 0;
double P_ang = 0;

int main()

```

เอกสารนี้เป็นเอกสารที่สงวนไว้สำหรับการใช้งานเพื่อการศึกษาเท่านั้น ไม่อนุญาตให้นำไปใช้ประโยชน์ด้านการค้า
ไม่ว่ากรณีใดๆ ทั้งสิ้น อีกทั้งห้ามมิให้ดัดแปลงเนื้อหา และต้องอ้างอิงถึงเจ้าของเอกสารทุกครั้งที่มีการนำไปใช้

```

////////////////////////////////////// Initial Parameters ////////////////////////////////////////

Mat img_gray_img; // for video capture
Mat imgLines = Mat::zeros(Size(640,460), CV_8UC3); // for draw ball path
Point Ball_Position;

//***** for PID *****//
double xoutput; // double youtput;
double xerr; // double yerr;
double prex = 0; // double prey = 0;
double xpre_error = 0; // double ypre_error = 0;
double xinte = 0; // double yinte = 0;
double xDiff = 0; // double yDiff = 0;
double dt = 0.001; //sec
double Kp = 0.8;
double Ki = 0;
double Kd = 400;
//*****//

int X_angle = 1500 ; // int Y_angle = 1500;

clock_t T_present=0, T_start=0, Time=0; // for time loop check

//////////////////////////////////////
///// Setup serial port connection and needed variables. ////////////////////////////////////////
if (hSerial != INVALID_HANDLE_VALUE)
{
printf("Port opened! \n");

DCB dcbSerialParams;
GetCommState(hSerial,&dcbSerialParams);

dcbSerialParams.BaudRate = CBR_9600;
dcbSerialParams.ByteSize = 8;
dcbSerialParams.Parity = NOPARITY;
dcbSerialParams.StopBits = ONESTOPBIT;

SetCommState(hSerial, &dcbSerialParams);
}
else
{
if (GetLastError() == ERROR_FILE_NOT_FOUND)
{
printf("Serial port doesn't exist! \n");
}

printf("Error while setting up serial port! \n");
}

//////////////////////////////////////

/// Video Capture ///
VideoCapture cap;
cap.open(1);
namedWindow("Result window",1);
//////////////////////////////////////

Serial2(Zero_angle,Zero_angle);
waitKey(500);
Serial2(Zero_angle+Max_angle,Zero_angle+Max_angle);
waitKey(500);
Serial2(Zero_angle-Max_angle,Zero_angle+Max_angle);

```

เอกสารนี้เป็นเอกสารที่สงวนไว้สำหรับการใช้งานเพื่อการศึกษาเท่านั้น ไม่อนุญาตให้นำไปใช้ประโยชน์ด้านการค้า
ไม่ว่ากรณีใดๆ ทั้งสิ้น อีกทั้งห้ามมิให้ดัดแปลงเนื้อหา และต้องอ้างอิงถึงเจ้าของเอกสารทุกครั้งที่มีการนำไปใช้

```

waitKey(500);
Serial2(Zero_angle+Max_angle,Zero_angle-Max_angle);
waitKey(500);
Serial2(Zero_angle-Max_angle,Zero_angle+Max_angle);
waitKey(500);
Serial2(Zero_angle,Zero_angle);
waitKey(500);

for(int a=0; a<10000; a++)
    for(int b=0; b<9; b++)
        saveBall_position[a][b] = -1;

namedWindow("Result window",1);
namedWindow("Parameters");
createTrackbar("Hue","Parameters",&hue,255);

//----- MAIN PROGRAMME -----//
while(1){

cap>>img;
gray_img = RGB2Grayscale(img);
Ball_Position = Contour_CM_Find_and_Display(gray_img,img,imgLines);
setMouseCallback("Result window", CallBackFunc, NULL);

if(Target_Set){
    // open clock
    T_start = clock(); double tmp = 0;
    MEX = abs(Setpoint.x - Ball_Position.x);
    MEY = abs(Setpoint.y - Ball_Position.y);
    for(int i = 0; Target_Set ; i++){
        cap>>img;
        gray_img = RGB2Grayscale(img);
        Ball_Position = Contour_CM_Find_and_Display(gray_img,img,imgLines);
        saveBall_position[i][1] = Ball_Position.x;
        saveBall_position[i][3] = Ball_Position.y;
        saveBall_position[i][2] = Setpoint.x;
        saveBall_position[i][4] = Setpoint.y;

        // Cal PID for x-axis
        xerr = (Setpoint.x - Ball_Position.x)*(-1);
        xinte = xinte + (xerr * dt);
        xDiff = (xerr - xpre_error)/dt;

        xoutput = (Kp * xerr) + (Ki * xinte) + (Kd * xDiff);
        xpre_error = xerr;
        if(abs(xoutput) > abs(prex)){
            Max_error_x = abs(xoutput);
        }
        prex = xoutput;
        if(abs(xerr) < 40)
            P_ang_max = 1*PI/180;
        else
            P_ang_max = 2*PI/180;

        if(abs(xerr) < 15)
            X_angle = Zero_angle;
        else
            X_angle = Servo_ang[4](xoutput, Max_error_x);
        saveBall_position[i][5] = xoutput;
        saveBall_position[i][6] = P_ang_max*180/PI;
    }
}
}

```

เอกสารนี้เป็นเอกสารที่สงวนไว้สำหรับการใช้งานเพื่อการศึกษาเท่านั้น ไม่อนุญาตให้นำไปใช้ประโยชน์ด้านการค้า ไม่ว่าจะกรณีใดๆ ทั้งสิ้น อีกทั้งห้ามมิให้ดัดแปลงเนื้อหา และต้องอ้างอิงถึงเจ้าของเอกสารทุกครั้งที่มีการนำไปใช้

```

    /// Cal PID for y-axis
    yerr = (Setpoint.y - Ball_Position.y)*(-1);
    yinte = yinte + (yerr * dt);
    yDiff = (yerr - ypre_error)/dt;
    youtput = (Kp * yerr) + (Ki * yinte) + (Kd * yDiff);

    ypre_error = yerr;
    if(abs(youtput) > abs(ppy))
        Max_error_y = abs(youtput);
    }
    prey = youtput;
    if(abs(yerr) < 40)
        P_ang_max = 1*PI/180;
    else
        P_ang_max = 2*PI/180;

    if(abs(yerr) < 15)
        Y_angle = Zero_angle;
    else
        Y_angle = Servo_angle(youtput, Max_error_y);
    saveBall_position[1][1] = youtput;
    saveBall_position[1][8] = P_ang*180/PI;

    /// Send parameter to arduino
    Serial2(X_angle, Y_angle);

    /// loop time check
    T_present = clock();
    Time = T_present - T_start;
    saveBall_position [1][0] = (static_cast<double>(Time)/CLOCKS_PER_SEC);
    dt = Time - tmp;
    tmp = Time;
    waitKey(1);
    setMouseCallback("Result window", CallBackFunc, NULL);
}
/// reset Target
Setpoint = Point(1,1);
Target_Set = FALSE;

/// save ball's path
ofstream save_path("Ball_path.txt", ios::out);
for(int k=0; saveBall_position[k][0] > -1; k++){
    for(int j=0; j<9; j++){
        save_path << saveBall_position[k][j];
        if(j==8)
            save_path << "\n";
    }
    else save_path << "\t" ;
}

}

/// pause programe
waitKey(50);
Serial2(Zero_angle, Zero_angle);
waitKey(50);
CloseHandle(hSerial);
}
waitKey(10);
}
//-----//
}

```

////// Modify image function:

เอกสารนี้เป็นเอกสารที่สงวนไว้สำหรับการใช้งานเพื่อการศึกษาเท่านั้น ไม่อนุญาตให้นำไปใช้ประโยชน์ด้านการค้า ไม่ว่าจะกรณีใดๆ ทั้งสิ้น อีกทั้งห้ามมิให้ดัดแปลงเนื้อหา และต้องอ้างอิงถึงเจ้าของเอกสารทุกครั้งที่มีการนำไปใช้

```

void morphOps(Mat&thresh){

    Mat erodeElement = getStructuringElement(MORPH_RECT,Size(3,3));
    Mat dilateElement = getStructuringElement(MORPH_RECT,Size(3,3));

    erode(thresh,thresh,erodeElement);
    erode(thresh,thresh,erodeElement);

    dilate(thresh,thresh,dilateElement);
    dilate(thresh,thresh,dilateElement);

}

///// Convert to Gray Scale & Modify function
MatRGB2GrayScale(Matimg){
    Mat gray;
    cvtColor(img,gray,CV_BGR2GRAY);
    inRange(gray,0,hue,gray);
    morphOps(gray);

    return gray;
}

///// Find&Display Contour&Center of mass
Point Contour_CM_Find_and_Display(Matinputimg,Matdisplayimg,MatBall(path_img))

int Xposition = -1;
int Yposition = -1;
int Ballarea = 800;
//imshow("Gray Scale", inputimg);

/// Find contours
vector<vector<Point>> contours;
vector<Vec4i> hierarchy;
RNGrng(12345);
findContours(inputimg, contours, hierarchy, CV_RETR_TREE, CV_CHAIN_APPROX_SIMPLE, Point(0, 0));

if(contours.size() > 0){
    double tmp=0;
    double MaxArea=0;
    for(int j = 0; j < contours.size(); j++){
        if(contourArea(contours[j]) > tmp){
            tmp = contourArea(contours[j]);
            MaxArea = j;
        }
    }
    Moments mu;
    mu = moments(contours[MaxArea]);
    //Mass center
    if (mu.m00 > Ballarea){
        //calculate the position of the ball
        Xposition = mu.m10 / mu.m00;
        Yposition = mu.m01 / mu.m00;
        iLastX = Xposition;
        iLastY = Yposition;
    }
    /// Draw contours
    Mat drawing = Mat::zeros(inputimg.size(), CV_8UC3 );
    if(contourArea(contours[MaxArea]) > Ballarea){
        drawContours(displayimg, contours, MaxArea, Scalar(0,0,255), 2, 8, hierarchy, 0, Point() );
        circle(displayimg, Point(Xposition,Yposition), 4, Scalar(0,255,0), -1, 8, 0 );
        //draw target box
        if(Setpoint.x > 0 && Setpoint.y > 0){
            circle(displayimg, Setpoint, 4, Scalar(0,0,255), -1, 8, 0 );
            line(displayimg, Point(Setpoint.x-20,Setpoint.y-20), Point(Setpoint.x+20,Setpoint.y-20), Scalar(0,255,255), 2);

```

เอกสารนี้เป็นเอกสารที่สงวนไว้สำหรับการใช้งานเพื่อการศึกษาเท่านั้น ไม่นอญญาติให้นำไปใช้ประโยชน์ด้านการค้า
ไม่ว่ากรณีใดๆ ทั้งสิ้น อีกทั้งห้ามมิให้ดัดแปลงเนื้อหา และต้องอ้างอิงถึงเจ้าของเอกสารทุกครั้งที่มีการนำไปใช้

```

line(displayimg, Point(Setpoint.x+20,Setpoint.y-20), Point(Setpoint.x+20,Setpoint.y+20), Scalar(0.255,255, 2);
line(displayimg, Point(Setpoint.x+20,Setpoint.y+20), Point(Setpoint.x-20,Setpoint.y+20), Scalar(0.255,255), 2);
line(displayimg, Point(Setpoint.x-20,Setpoint.y+20), Point(Setpoint.x-20,Setpoint.y-20), Scalar(0.255,255), 2);
}
string poX = to_string(Xposition);
string poY = to_string(Yposition);
string Area = to_string(mu.m00);
putText(displayimg,"Position X : " + poX,Point(20,20),FONT_HERSHEY_SIMPLEX,0.5,Scalar(0,0,255),1,15,false);
putText(displayimg,"Position Y : " + poY,Point(20,40),FONT_HERSHEY_SIMPLEX,0.5,Scalar(0,0,255),1,15,false);
putText(displayimg,"Area : " + Area,Point(20,60),FONT_HERSHEY_SIMPLEX,0.5,Scalar(0,0,255),1,15,false);
poX = to_string(Setpoint.x);
poY = to_string(Setpoint.y);
putText(displayimg," (" + poX + "," + poY + ")",Setpoint,Font_HERSHEY_SIMPLEX,0.5,Scalar(0,0,255),1,15,false);
}
}

imshow("Result window", displayimg+Ballpath_img);

returnPoint(Xposition,Yposition);
}

///// Call back function for Get Mouse click position
void CalBackFunc(intevent, intx, inty, intflags, void* userdata)
{
if (event == EVENT_LBUTTONDOWN )
{
Setpoint.x = x;
Setpoint.y = y;
Target_Set = TRUE;
}
elseif (event == EVENT_RBUTTONDOWN )
{
Target_Set = FALSE;
}
}

int Servo_angle(doublepid, doubleMax_error)

int Servo_angle = Zero_angle;
P_ang = 0;

P_ang = (pid/Max_error)*(P_ang_max);

if(P_ang > P_ang_zero + P_ang_max)
P_ang = P_ang_zero + P_ang_max;
elseif(P_ang < P_ang_zero - P_ang_max)
P_ang = P_ang_zero - P_ang_max;

Servo_angle = Zero_angle + ((asin((145/15)*(sin(P_ang))))*180/PI)/0.10345);

return Servo_angle;
}

void Serial2(intXangle, intYangle)

char outputChars[10];
for(int i = 4; i >= 0; i--)
{
if(i == 4)
outputChars[i] = '\n';
}
elseif
outputChars[i] = (Xangle % 10)+'0';
Xangle /= 10;
}
}

```

เอกสารนี้เป็นเอกสารที่สงวนไว้สำหรับการใช้งานเพื่อการศึกษาเท่านั้น ไม่อนุญาตให้นำไปใช้ประโยชน์ด้านการค้า ไม่ว่าจะกรณีใดๆ ทั้งสิ้น อีกทั้งห้ามมิให้ดัดแปลงเนื้อหา และต้องอ้างอิงถึงเจ้าของเอกสารทุกครั้งที่มีการนำไปใช้

```

        }
    }
    for(int j = 9; j >= 5; j--)
        if(j == 9){
            outputChars[j] = "";
        }
        else{
            outputChars[j] = (Yangle % 10)+'0';
            Yangle /= 10;
        }
    }
    cout<< outputChars << endl;
    WriteFile(hSerial, outputChars, strlen(outputChars), &btstIO, NULL);
    fill_n(outputChars, 10, '0');
}

```

ก.2 โปรแกรมสั่งการเซอร์โวมอเตอร์ในส่วนของไมโครคอนโทรลเลอร์

โปรแกรมที่ใช้ในส่วนนี้คือ โปรแกรม Arduino IDE 1.5.8 ซึ่งเป็นโปรแกรมที่ใช้ร่วมกับบอร์ด Arduino Mega 2560 และบอร์ด Arduino รุ่นอื่นๆ ได้โปรแกรมมีดังต่อไปนี้

```

#include <Servo.h>

Servo Xservo, Yservo;
int Xangle = 1500;
int Yangle = 1500;
String inString = "";

void setup() {
    Serial.begin(9600);
    Xservo.attach(8);
    Yservo.attach(12);
}

void loop() {
    while (Serial.available() >0) {
        int inChar = Serial.read();
        if (isDigit(inChar)) {
            inString += (char)inChar;
        }
        if (inChar == '-') {
            Xangle = inString.toInt();
            Xservo.writeMicroseconds(Xangle);

```

เอกสารนี้เป็นเอกสารที่สงวนไว้สำหรับการใช้งานเพื่อการศึกษาเท่านั้น ไม่อนุญาตให้นำไปใช้ประโยชน์ด้านการค้า ไม่ว่าจะกรณีใดๆ ทั้งสิ้น อีกทั้งห้ามมิให้ดัดแปลงเนื้อหา และต้องอ้างอิงถึงเจ้าของเอกสารทุกครั้งที่มีการนำไปใช้

```

inString = "";
}
if (inChar == "*") {
    Yangle = inString.toInt();
    Yservo.writeMicroseconds(Yangle);
    inString = "";
}
}
}
}

```



เอกสารนี้เป็นเอกสารที่สงวนไว้สำหรับการใช้งานเพื่อการศึกษาเท่านั้น ไม่อนุญาตให้นำไปใช้ประโยชน์ด้านการค้า ไม่ว่าจะกรณีใดๆ ทั้งสิ้น อีกทั้งห้ามมิให้ดัดแปลงเนื้อหา และต้องอ้างอิงถึงเจ้าของเอกสารทุกครั้งที่มีการนำไปใช้

ภาคผนวก ข

รายละเอียดการใช้งานคำสั่งต่างๆ ของไลบรารี OpenCV

ที่ใช้ในโปรแกรมประมวลผล

ในส่วนนี้จะอธิบายถึงฟังก์ชันต่างๆ ของ OpenCV ที่ใช้ในส่วนของการประมวลผลภาพ มีรายละเอียดดังนี้

VideoCapture::open

Open video file or a capturing device for video capturing

C++: `bool VideoCapture::open(const string& filename)`

C++: `bool VideoCapture::open(int device)`

Parameters:

- `filename` – name of the opened video file (eg. `video.avi`) or image sequence (eg. `img_%02d.jpg`, which will read samples like `img_00.jpg`, `img_01.jpg`, `img_02.jpg`, ...)
- `device` – id of the opened video capturing device (i.e. a camera index).

waitKey

Waits for a pressed key.

C++: `int waitKey(int delay=0)`

Parameters: `delay` – Delay in milliseconds. 0 is the special value that means “forever”.

namedWindow

Creates a window.

C++: `void namedWindow(const string& winname, int flags=WINDOW_AUTOSIZE)`

Parameters:

- `name` – Name of the window in the window caption that may be used as a window identifier.
- `flags` –Flags of the window. The supported flags are:

o `WINDOW_NORMAL` If this is set, the user can resize the window

เอกสารนี้เป็นเอกสารที่สงวนไว้สำหรับการใช้งานเพื่อการศึกษาเท่านั้น ไม่นิยมนำไปเผยแพร่ขายหรือการค้า
ไม่ว่ากรณีใดๆ ทั้งสิ้น อีกทั้งห้ามมิให้ดัดแปลงเนื้อหา และต้องอ้างอิงถึงเจ้าของเอกสารทุกครั้งที่มีการนำไปใช้

(no constraint).

- `WINDOW_AUTOSIZE` If this is set, the window size is automatically adjusted to fit the displayed image (see `imshow()`), and you cannot change the window size manually.
- `WINDOW_OPENGL` If this is set, the window will be created with OpenGL support.

createTrackbar

Creates a trackbar and attaches it to the specified window.

C++: `int createTrackbar(const string& trackbarname, const string& winname, int* value, int count, TrackbarCallback onChange=0, void* userdata=0)`

C: `int cvCreateTrackbar(const char* trackbar_name, const char* window_name, int* value, int count, CvTrackbarCallback on_change=NULL)`

Python: `cv.CreateTrackbar(trackbarName, windowName, value, count, onChange) → None`

Parameters

- `trackbarname` – Name of the created trackbar.
- `winname` – Name of the window that will be used as a parent of the created trackbar.
- `value` – Optional pointer to an integer variable whose value reflects the position of the slider. Upon creation, the slider position is defined by this variable.
- `count` – Maximal position of the slider. The minimal position is always 0.
- `onChange` – Pointer to the function to be called every time the slider changes position. This function should be prototyped as `void Foo(int,void*);`, where the first parameter is the trackbar position and the second parameter is the user data (see the next parameter). If the

callback is the NULL pointer, no callbacks are called, but only value is

เอกสารนี้เป็นเอกสารที่สงวนไว้สำหรับการใช้งานเพื่อการศึกษาเท่านั้น ไม่อนุญาตให้นำไปใช้ประโยชน์ด้านการค้า ไม่ว่ากรณีใดๆ ทั้งสิ้น อีกทั้งห้ามมิให้ดัดแปลงเนื้อหา และต้องอ้างอิงถึงเจ้าของเอกสารทุกครั้งที่มีการนำไปใช้

updated.

- `userdata` – User data that is passed as is to the callback. It can be used to handle trackbar events without using global variables.

cvtColor

Converts an image from one color space to another.

C++: `void cvtColor(InputArray src, OutputArray dst, int code, int dstCn=0)`

Parameters:

- `src` – input image: 8-bit unsigned, 16-bit unsigned (`CV_16UC...`), or single-precision floating-point.
- `dst` – output image of the same size and depth as `src`.
- `code` – color space conversion code (see the description below).
- `dstCn` – number of channels in the destination image; if the parameter is 0, the number of the channels is derived automatically from `src` and `code`.

erode

Erodes an image by using a specific structuring element.

C++: `void erode(InputArray src, OutputArray dst, InputArray kernel, Point anchor=Point(-1,-1), int iterations=1, int borderType=BORDER_CONSTANT, const Scalar&borderValue=morphologyDefaultBorderValue())`

Parameters:

- `src` – input image; the number of channels can be arbitrary, but the depth should be one of `CV_8U`, `CV_16U`, `CV_16S`, `CV_32F` or `CV_64F`.
- `dst` – output image of the same size and type as `src`.
- `element` – structuring element used for erosion; if `element=Mat()`, a 3 x 3 rectangular structuring element is used.
- `anchor` – position of the anchor within the element; default value (-1, -1) means that the anchor is at the element center.

เอกสารนี้เป็นเอกสารที่สงวนไว้สำหรับการใช้งานเพื่อการศึกษาเท่านั้น ไม่อนุญาตให้นำไปใช้ประโยชน์ด้านการค้า ไม่ว่ากรณีใดๆ ทั้งสิ้น อีกทั้งห้ามมิให้ดัดแปลงเนื้อหา และต้องอ้างอิงถึงเจ้าของเอกสารทุกครั้งที่มีการนำไปใช้

- iterations – number of times erosion is applied.
- borderType – pixel extrapolation method (see [borderInterpolate\(\)](#) for details).
- borderValue – border value in case of a constant border (see [createMorphologyFilter\(\)](#) for details).

dilate

Dilates an image by using a specific structuring element.

```
C++: void dilate(InputArray src, OutputArray dst, InputArray kernel,
Point anchor=Point(-1,-1),
int iterations=1, int borderType=BORDER_CONSTANT, const
Scalar&borderValue=morphologyDefaultBorderValue() )
```

Parameters:

- src – input image; the number of channels can be arbitrary, but the depth should be one of CV_8U, CV_16U, CV_16S, CV_32F or CV_64F.
- dst – output image of the same size and type as src.
- element – structuring element used for dilation; if element=Mat(), a 3 x 3 rectangular structuring element is used.
- anchor – position of the anchor within the element; default value (-1, -1) means that the anchor is at the element center.
- iterations – number of times dilation is applied.
- borderType – pixel extrapolation method (see [borderInterpolate\(\)](#) for details).
- borderValue – border value in case of a constant border (see [createMorphologyFilter\(\)](#) for details).

inRange

Checks if array elements lie between the elements of two other arrays.

เอกสารนี้เป็นเอกสารที่สงวนไว้สำหรับการใช้งานเพื่อการศึกษาเท่านั้น ไม่อนุญาตให้นำไปใช้ประโยชน์ด้านการค้า ไม่ว่ากรณีใดๆ ทั้งสิ้น อีกทั้งห้ามมิให้ดัดแปลงเนื้อหา และต้องอ้างอิงถึงเจ้าของเอกสารทุกครั้งที่มีการนำไปใช้

C++: void `inRange`(InputArray src, InputArray lowerb, InputArray upperb, OutputArray dst)

Parameters:

- `src` – first input array.
- `lowerb` – inclusive lower boundary array or a scalar.
- `upperb` – inclusive upper boundary array or a scalar.
- `dst` – output array of the same size as `src` and `CV_8U` ty

findContours

Finds contours in a binary image.

C++: void `findContours`(InputOutputArray image, OutputArrayOfArrays contours, OutputArray hierarchy, int mode, int method, Point offset=Point())

C++: void `findContours`(InputOutputArray image, OutputArrayOfArrays contours, int mode, int method, Point offset=Point())

Parameters:

- `image` – Source, an 8-bit single-channel image. Non-zero pixels are treated as 1's. Zero pixels remain 0's, so the image is treated as binary. You can use `compare()`, `inRange()`, `threshold()`, `adaptiveThreshold()`, `Canny()`, and others to create a binary image out of a grayscale or color one. The function modifies the image while extracting the contours. If mode equals to `CV_RETR_CCOMP` or `CV_RETR_FLOODFILL`, the input can also be a 32-bit integer image of labels (`CV_32SC1`).
- `contours` – Detected contours. Each contour is stored as a vector of points.
- `hierarchy` – Optional output vector, containing information about the image topology. It has as many elements as the number of contours. For each i -th contour `contours[i]`, the elements `hierarchy[i][0]`, `hierarchy[i][1]`, `hierarchy[i][2]`,

เอกสารนี้เป็นเอกสารที่สงวนไว้สำหรับการใช้งานเพื่อการศึกษาเท่านั้น ไม่อนุญาตให้นำไปใช้ประโยชน์ด้านการค้า ไม่ว่ากรณีใดๆ ทั้งสิ้น อีกทั้งห้ามมิให้ดัดแปลงเนื้อหา และต้องอ้างอิงถึงเจ้าของเอกสารทุกครั้งที่มีการนำไปใช้

and `hierarchy[i][3]` are set to 0-based indices in contours of the next and previous contours at the same hierarchical level, the first child contour and the parent contour, respectively. If for the contour `i` there are no next, previous, parent, or nested contours, the corresponding elements of `hierarchy[i]` will be negative.

- **mode** –Contour retrieval mode (if you use Python see also a note below).
 - `CV_RETR_EXTERNAL` retrieves only the extreme outer contours. It sets `hierarchy[i][2]=hierarchy[i][3]=-1` for all the contours.
 - `CV_RETR_LIST` retrieves all of the contours without establishing any hierarchical relationships.
 - `CV_RETR_CCOMP` retrieves all of the contours and organizes them into a two-level hierarchy. At the top level, there are external boundaries of the components. At the second level, there are boundaries of the holes. If there is another contour inside a hole of a connected component, it is still put at the top level.
 - `CV_RETR_TREE` retrieves all of the contours and reconstructs a full hierarchy of nested contours. This full hierarchy is built and shown in the `OpenCV contours.cdemo`.
- **method** –Contour approximation method (if you use Python see also a note below).
 - `CV_CHAIN_APPROX_NONE` stores absolutely all the contour points. That is, any 2 subsequent points (x_1, y_1) and (x_2, y_2) of the contour will be either horizontal, vertical or diagonal neighbors, that is, $\max(\text{abs}(x_1 - x_2), \text{abs}(y_2 - y_1)) = 1$.
 - `CV_CHAIN_APPROX_SIMPLE` compresses horizontal, vertical, and diagonal segments and leaves only their end points. For example, an up-right rectangular contour is encoded with 4 points.
 - `CV_CHAIN_APPROX_TC89_L1`, `CV_CHAIN_APPROX_TC89_KCOS` applies one of the flavors of the Teh-Chin chain approximation algorithm. See [\[TehChin89\]](#) for details.

- `offset` – Optional offset by which every contour point is shifted. This is useful if the contours are extracted from the image ROI and then they should be analyzed in the whole image context.

moments

Calculates all of the moments up to the third order of a polygon or rasterized shape.

C++: `Moments moments(InputArray array, bool binaryImage=false)`

Parameters:

- `array` – Raster image (single-channel, 8-bit or floating-point 2D array) or an array (`1xN` or `Nx1`) of 2D points (`Point` or `Point2f`).
- `binaryImage` – If it is true, all non-zero image pixels are treated as 1's. The parameter is used for images only.
- `moments` – Output moments.

drawContours

Draws contours outlines or filled contours.

C++: `void drawContours(InputOutputArray image, InputArrayOfArrays contours, int contourIdx, const Scalar& color, int thickness=1, int lineType=8, InputArray hierarchy=noArray(), int maxLevel=INT_MAX, Point offset=Point())`

Parameters:

- `image` – Destination image.
- `contours` – All the input contours. Each contour is stored as a point vector.
- `contourIdx` – Parameter indicating a contour to draw. If it is negative, all the contours are drawn.
- `color` – Color of the contours.
- `thickness` – Thickness of lines the contours are drawn with. If it is negative (for example, `thickness=CV_FILLED`), the contour interiors are drawn.
- `lineType` – Line connectivity. See `line()` for details.

เอกสารนี้เป็นเอกสารที่สงวนไว้สำหรับการใช้งานเพื่อการศึกษาเท่านั้น ไม่อนุญาตให้นำไปใช้ประโยชน์ด้านการค้า ไม่ว่ากรณีใดๆ ทั้งสิ้น อีกทั้งห้ามมิให้ดัดแปลงเนื้อหา และต้องอ้างอิงถึงเจ้าของเอกสารทุกครั้งที่มีการนำไปใช้

- `hierarchy` – Optional information about hierarchy. It is only needed if you want to draw only some of the contours (see `maxLevel`).
- `maxLevel` – Maximal level for drawn contours. If it is 0, only the specified contour is drawn. If it is 1, the function draws the contour(s) and all the nested contours. If it is 2, the function draws the contours, all the nested contours, all the nested-to-nested contours, and so on. This parameter is only taken into account when there is `hierarchy` available.
- `offset` – Optional contour shift parameter. Shift all the drawn contours by the specified offset = (dx, dy) .
- `contour` – Pointer to the first contour.
- `externalColor` – Color of external contours.
- `holeColor` – Color of internal contours (holes).

circle

Draws a circle.

C++: `void circle(Mat& img, Point center, int radius, const Scalar& color, int thickness=1, int lineType=8, int shift=0)`

Parameters:

- `img` – Image where the circle is drawn.
- `center` – Center of the circle.
- `radius` – Radius of the circle.
- `color` – Circle color.
- `thickness` – Thickness of the circle outline, if positive. Negative thickness means that a filled circle is to be drawn.
- `lineType` – Type of the circle boundary. See the `line()` description.
- `shift` – Number of fractional bits in the coordinates of the center and in the radius value.

เอกสารนี้เป็นเอกสารที่สงวนไว้สำหรับการใช้งานเพื่อการศึกษาเท่านั้น ไม่อนุญาตให้นำไปใช้ประโยชน์ด้านการค้า ไม่ว่าจะกรณีใดๆ ทั้งสิ้น อีกทั้งห้ามมิให้ดัดแปลงเนื้อหา และต้องอ้างอิงถึงเจ้าของเอกสารทุกครั้งที่มีการนำไปใช้

line

Draws a line segment connecting two points.

```
C++: void line(Mat& img, Point pt1, Point pt2, const Scalar& color, int thickness=1,
int lineType=8, int shift=0)
```

Parameters:

- `img` – Image.
- `pt1` – First point of the line segment.
- `pt2` – Second point of the line segment.
- `color` – Line color.
- `thickness` – Line thickness.
- `lineType` – Type of the line:
 - 8 (or omitted) - 8-connected line.
 - 4 - 4-connected line.
 - `CV_AA` - antialiased line.
- `shift` – Number of fractional bits in the point coordinates.

putText

Draws a text string.

```
C++: void putText(Mat& img, const string& text, Point org, int fontFace,
double fontScale, Scalar color, int thickness=1, int lineType=8,
bool bottomLeftOrigin=false )
```

Parameters:

- `img` – Image.
- `text` – Text string to be drawn.
- `org` – Bottom-left corner of the text string in the image.
- `font` – `CvFont` structure initialized using `InitFont()`.
- `fontFace` – Font type. One of `FONT_HERSHEY_SIMPLEX`, `FONT_HERSHEY_PLAIN`, `FONT_HERSHEY_DUPL`

เอกสารนี้เป็นเอกสารที่สงวนไว้สำหรับการใช้งานเพื่อการศึกษาเท่านั้น ไม่อนุญาตให้นำไปใช้ประโยชน์ด้านการค้า ไม่ว่าจะกรณีใดๆ ทั้งสิ้น อีกทั้งห้ามมิให้ดัดแปลงเนื้อหา และต้องอ้างอิงถึงเจ้าของเอกสารทุกครั้งที่มีการนำไปใช้

EX, FONT_HERSHEY_COMPLEX, FONT_HERSHEY_TRIPLEX, FONT_HERSHEY_COMPLEX_SMALL, FONT_HERSHEY_SCRIPT_SIMPLEX, or FONT_HERSHEY_SCRIPT_COMPLEX, where each of the font ID's can be combined with FONT_ITALIC to get the slanted letters.

- `fontScale` – Font scale factor that is multiplied by the font-specific base size.
- `color` – Text color.
- `thickness` – Thickness of the lines used to draw a text.
- `lineType` – Line type. See the line for details.
- `bottomLeftOrigin` – When true, the image data origin is at the bottom-left corner. Otherwise, it is at the top-left corner.

`imshow`

Displays an image in the specified window.

C++: `void imshow(const string& winname, InputArray mat)`

Parameters:

- `winname` – Name of the window.
- `image` – Image to be shown.

เอกสารนี้เป็นเอกสารที่สงวนไว้สำหรับการใช้งานเพื่อการศึกษาเท่านั้น ไม่อนุญาตให้นำไปใช้ประโยชน์ด้านการค้า ไม่ว่ากรณีใดๆ ทั้งสิ้น อีกทั้งห้ามมิให้ดัดแปลงเนื้อหา และต้องอ้างอิงถึงเจ้าของเอกสารทุกครั้งที่มีการนำไปใช้

ภาคผนวก ค

เอกสารคู่มืออุปกรณ์ต่างๆ

ค.1 กล้องเว็บแคม



Specifications	
Product Code	95000721
Category	Webcam
OS Support (at release)	Windows XP x32, Windows XP x64, Windows Vista x32, Windows Vista x64, Windows 7 x32, Windows 7 x64
Connection Type	USB
USB Type	USB 2.0
USB VID_PID	081A
UVC Support	Yes
Microphone	Yes
Microphone Type	Mono
Lens and Sensor Type	Plastic
Focus Type	Auto
Optical Resolution	2MP, True, 8MP Software enhanced
Diagonal Field of View (FOV)	69°
Focal Length	N/A
Image Capture (4:3 SD)	320, 240, 640, 480, 2MP, 8.0MP
Image Capture (16:9 W)	360p, 480p, 720p
Video Capture (4:3 SD)	320, 240, 640, 480, 2MP
Video Capture (16:9 W)	360p, 480p, 720p, 720p
Frame Rate (max)	30fps @ 640x480
Right Light	Yes
Video Effects (VFX)	Avatars, Fun Filters, Masks
Buttons	N/A
Indicator Lights (LED)	Yes
Privacy Shade	No
Tripod Mounting Option	No
Universal Clip Adjustability (range)	48-94mm
Cable Length	6 Feet, 183 CM
Width	40.4mm
Depth/Length	68.5mm
Height	31.75mm
Weight	88g

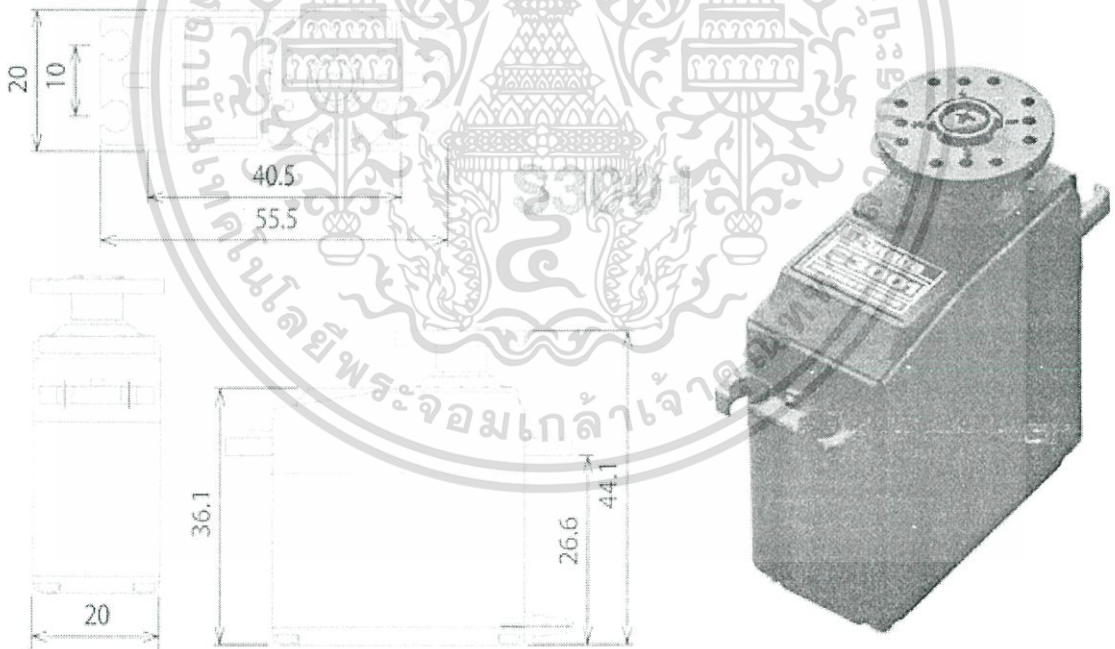
©2014 ComXpert International CC

เอกสารนี้เป็นเอกสารที่สงวนไว้สำหรับการใช้งานเพื่อการศึกษาเท่านั้น ไม่อนุญาตให้นำไปใช้ประโยชน์ด้านการค้า ไม่ว่าจะกรณีใดๆ ทั้งสิ้น อีกทั้งห้ามมิให้ดัดแปลงเนื้อหา และต้องอ้างอิงถึงเจ้าของเอกสารทุกครั้งที่มีการนำไปใช้

ค.2 เซอร์โวมอเตอร์ Futaba S3001

Basic Information

Modulation:	Analog
Torque:	4.8V: 33.0 oz-in (2.38 kg-cm) 6.0V: 42.0 oz-in (3.02 kg-cm)
Speed:	4.8V: 0.28 sec/60° 6.0V: 0.22 sec/60°
Weight:	1.59 oz (45.0 g)
Dimensions:	Length: 1.57 in (39.9 mm) Width: 0.79 in (20.1 mm) Height: 1.42 in (36.1 mm)
Motor Type:	3-pole
Gear Type:	Plastic
Rotation/Support:	Single Bearing



เอกสารนี้เป็นเอกสารที่สงวนไว้สำหรับการใช้งานเพื่อการศึกษาเท่านั้น ไม่อนุญาตให้นำไปใช้ประโยชน์ด้านการค้าไม่ว่ากรณีใดๆ ทั้งสิ้น อีกทั้งห้ามมิให้ดัดแปลงเนื้อหา และต้องอ้างอิงถึงเจ้าของเอกสารทุกครั้งที่มีการนำไปใช้

ภาคผนวก ง
ตารางรหัสแอสกี

ASCII TABLE

Decimal	Hexadecimal	Binary	Octal	Char	Decimal	Hexadecimal	Binary	Octal	Char	Decimal	Hexadecimal	Binary	Octal	Char
0	0	0	0	[NULL]	48	30	110000	60	0	96	60	110000	140	.
1	1	1	1	[START OF HEADING]	49	31	110001	61	1	97	61	110001	141	a
2	2	10	2	[START OF TEXT]	50	32	110010	62	2	98	62	110010	142	b
3	3	11	3	[END OF TEXT]	51	33	110011	63	3	99	63	110011	143	c
4	4	100	4	[END OF TRANSMISSION]	52	34	110100	64	4	100	64	110100	144	d
5	5	101	5	[ENQUIRY]	53	35	110101	65	5	101	65	110101	145	e
6	6	110	6	[ACKNOWLEDGE]	54	36	110110	66	6	102	66	110110	146	f
7	7	111	7	[BELL]	55	37	110111	67	7	103	67	110111	147	g
8	8	1000	10	[BACKSPACE]	56	38	111000	70	8	104	68	110100	150	h
9	9	1001	11	[REVERSE LINE FEED]	57	39	111001	71	9	105	69	110101	151	i
10	A	1010	12	[LINE FEED]	58	3A	111010	72		106	6A	110110	152	j
11	B	1011	13	[VERTICAL TAB]	59	3B	111011	73		107	6B	110111	153	k
12	C	1100	14	[FORM FEED]	60	3C	111100	74		108	6C	110100	154	l
13	D	1101	15	[CARRIAGE RETURN]	61	3D	111101	75	=	109	6D	110101	155	m
14	E	1110	16	[SHIFT OUT]	62	3E	111110	76	>	110	6E	110110	156	n
15	F	1111	17	[SHIFT IN]	63	3F	111111	77	?	111	6F	110111	157	o
16	10	10000	20	[DATA LINK ESCAPE]	64	40	1000000	100	@	112	70	1110000	160	p
17	11	10001	21	[DEVICE CONTROL 1]	65	41	1000001	101	A	113	71	1110001	161	q
18	12	10010	22	[DEVICE CONTROL 2]	66	42	1000010	102	B	114	72	1110010	162	r
19	13	10011	23	[DEVICE CONTROL 3]	67	43	1000011	103	C	115	73	1110011	163	s
20	14	10100	24	[DEVICE CONTROL 4]	68	44	1000100	104	D	116	74	1110100	164	t
21	15	10101	25	[NEGATIVE LINE FEED]	69	45	1000101	105	E	117	75	1110101	165	u
22	16	10110	26	[SYNCHRONOUS IDLE]	70	46	1000110	106	F	118	76	1110110	166	v
23	17	10111	27	[END OF TRANSmission]	71	47	1000111	107	G	119	77	1110111	167	w
24	18	11000	30	[CANCEL]	72	48	1001000	110	H	120	78	1111000	170	x
25	19	11001	31	[END OF MEDIUM]	73	49	1001001	111	I	121	79	1111001	171	y
26	1A	11010	32	[SUBSTITUTE]	74	4A	1001010	112	J	122	7A	1111010	172	z
27	1B	11011	33	[Escape]	75	4B	1001011	113	K	123	7B	1111011	173	{
28	1C	11100	34	[FILE SEPARATOR]	76	4C	1001100	114	L	124	7C	1111100	174	
29	1D	11101	35	[GROUP SEPARATOR]	77	4D	1001101	115	M	125	7D	1111101	175	}
30	1E	11110	36	[REGIO SEPARATOR]	78	4E	1001110	116	N	126	7E	1111110	176	~
31	1F	11111	37	[UNIT SEPARATOR]	79	4F	1001111	117	O	127	7F	1111111	177	[DEL]
32	20	100000	40	[SPACE]	80	50	1010000	120	R					
33	21	100001	41	!	81	51	1010001	121	Q					
34	22	100010	42	@	82	52	1010010	122	R					
35	23	100011	43	#	83	53	1010011	123	S					
36	24	100100	44	\$	84	54	1010100	124	T					
37	25	100101	45	%	85	55	1010101	125	U					
38	26	100110	46	&	86	56	1010110	126	V					
39	27	100111	47	'	87	57	1010111	127	W					
40	28	101000	50	(88	58	1011000	130	X					
41	29	101001	51)	89	59	1011001	131	Y					
42	2A	101010	52	*	90	5A	1011010	132	Z					
43	2B	101011	53	+	91	5B	1011011	133	[
44	2C	101100	54	,	92	5C	1011100	134	\					
45	2D	101101	55	-	93	5D	1011101	135	^					
46	2E	101110	56	.	94	5E	1011110	136	_					
47	2F	101111	57	/	95	5F	1011111	137	`					

เอกสารนี้เป็นเอกสารที่สงวนไว้สำหรับการใช้งานเพื่อการศึกษาเท่านั้น ไม่อนุญาตให้นำไปใช้ประโยชน์ด้านการค้า
ไม่ว่ากรณีใดๆ ทั้งสิ้น อีกทั้งห้ามมิให้ตัดแปลงเนื้อหา และต้องอ้างอิงถึงเจ้าของเอกสารทุกครั้งที่มีการนำไปใช้